



UNIVERSITAS INDONESIA

**ANALISIS TERMAL STRES PADA KEBOCORAN PIPA  
ELBOW LOW PRESSURE EVAPORATOR HRSG**

**TESIS**

**ULIL AZMI  
0706173143**

**FAKULTAS TEKNIK  
PROGRAM PASCA SARJANA BIDANG ILMU TEKNIK  
DEPOK  
JUNI 2009**

**PERPUSTAKAAN  
UNIVERSITAS INDONESIA**



**ANALISIS TERMAL STRES PADA KEBOCORAN PIPA  
ELBOW LOW PRESSURE EVAPORATOR HRSG**

**TESIS**

**Diajukan Sebagai Syarat  
Untuk Memperoleh Gelar Magister Teknik**

**ULIL AZMI  
0706173143**

**FAKULTAS TEKNIK  
PROGRAM PASCA SARJANA BIDANG ILMU TEKNIK  
DEPOK  
JUNI 2009**

## **HALAMAN PERNYATAAN ORISINALITAS**

**Tesis ini adalah hasil karya saya sendiri,  
dan semua sumber baik yang dikutip maupun direjuk  
telah saya nyatakan dengan benar.**

**Nama : Ulil Azmi**

**NPM : 0706173143**

**Tanda Tangan : **

**Tanggal : Juni 2009**

## HALAMAN PENGESAHAN

Tesis ini diajukan oleh :  
Nama : Ulil Azmi  
NPM : 070173143  
Program Studi : Teknik Mesin  
Judul Tesis : Analisis Tegangan Termal Pada Pipa Elbow Evaporator Tekanan Rendah HRSG

Telah berhasil dipertahankan di hadapan Dewan Penguji dan diterima sebagai bagian persyaratan yang diperlukan untuk memperoleh gelar Magister Teknik pada Program Studi Teknik Mesin Fakultas Teknik, Universitas Indonesia.

### DEWAN PENGUJI

Pembimbing : DR. Ir. Ahmad Indra Siswantara

Pembimbing : Ir. Ahmad Taufik Yogaswara, M.Sc

Penguji : Prof. DR. Ir. Budiarso

Penguji : DR. Ir. Warjito, MEng

Ditetapkan di : Depok

Tanggal : Juni 2009

## KATA PENGANTAR/UCAPAN TERIMA KASIH

Puji syukur saya panjatkan kepada Tuhan Yang Maha Esa, karena atas berkat dan rahmat-Nya, saya dapat menyelesaikan tesis ini. Penulisan tesis ini dilakukan dalam rangka memenuhi salah satu syarat untuk mencapai gelar Magister Teknik Program Studi Teknik Mesin pada Fakultas Teknik Universitas Indonesia. Saya menyadari bahwa, tanpa bantuan dan bimbingan dari berbagai pihak, dari masa perkuliahan sampai pada penyusunan tesis ini, sangatlah sulit bagi saya untuk menyelesaikan tesis ini. Oleh karena itu, saya menyampaikan ucapan terima kasih kepada:

- (1) DR. Ir. Ahmad Indra Siswantara, selaku dosen pembimbing I yang telah menyediakan waktu, tenaga, dan pikiran untuk mengarahkan saya dalam penyusunan tesis ini;
- (2) Ir. Ahmad Taufik Yogaswara, M.Sc , selaku dosen pembimbing II yang telah menyediakan waktu, tenaga, dan pikiran dalam mengarahkan saya dalam penyusunan tesis ini;
- (3) Orang tua dan keluarga saya yang telah memberikan bantuan dukungan material dan moral; dan
- (4) Rekan-rekan Teknik Mesin khususnya mahasiswa/i pasca sarjana 2007 yang telah berbagi dukungan moril maupun sumber informasi kepada saya dalam menyelesaikan tesis ini.

Akhir kata, saya berharap Tuhan Yang Maha Esa berkenan membalaq segala kebaikan semua pihak yang telah membantu. Semoga tesis ini membawa manfaat bagi pengembangan ilmu.

Depok, 26 Juni 2009

Penulis

## HALAMAN PERNYATAAN PERSETUJUAN PUBLIKASI

### TESIS UNTUK KEPENTINGAN AKADEMIS

Sebagai sivitas akademik Universitas Indonesia, saya yang bertanda tangan di bawah ini:

Nama : Ulil Azmi  
NPM : 0706173143  
Program Studi : Konversi Energi  
Departemen : Teknik Mesin  
Fakultas : Teknik  
Jenis karya : Tesis

demi pengembangan ilmu pengetahuan, menyetujui untuk memberikan kepada Universitas Indonesia **Hak Bebas Royalti Noneksklusif (Non-exclusive Royalty-Free Right)** atas karya ilmiah saya yang berjudul :

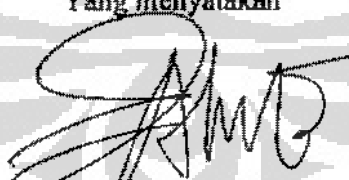
Analisis Tegangan Termal Pada Pipa Elbow Evaporator Tekanan Rendah HRSG

beserta perangkat yang ada (jika diperlukan). Dengan Hak Bebas Royalti Noneksklusif ini Universitas Indonesia berhak menyimpan, mengalihmedia/formatkan, mengelola dalam bentuk pangkalan data (*database*), merawat, dan mempublikasikan tesis saya selama tetap mencantumkan nama saya sebagai penulis/pencipta dan sebagai pemilik Hak Cipta.

Demikian pernyataan ini saya buat dengan sebenarnya.

Dibuat di : Depok  
Pada tanggal : Juni 2009

Yang menyatakan



(Ulil Azmi )

## Abstrak

Nama : Ulil Azmi  
Program Studi : Teknik Mesin  
Judul : Analisis Tegangan Termal Pada Pipa Elbow Evaporator Tekanan Rendah HRSG

HRSG merupakan peralatan yang berfungsi untuk mengubah air menjadi uap pada temperatur dan tekanan tertentu. Peralatan ini terdapat pada PLTGU yang menggunakan siklus kombinasi. Pada HRSG terdapat daerah LP evaporator, yang merupakan alat dengan fungsi untuk menaikkan temperatur air ke titik didih. Daerah LP evaporator ini terdiri dari susunan pipa-pipa yang bekerja pada temperatur dan tekanan yang cukup tinggi. Hal ini mengakibatkan seringnya terjadi kebocoran khususnya pada daerah elbow. Kebocoran ini dapat dianalisa dengan menggunakan simulasi CFD. Dari analisis didapatkan kesimpulan bahwa kebocoran tersebut disebabkan oleh kavitas. Kavitas menyebabkan terjadinya tumbukan oleh gelembung uap yang pecah pada daerah yang memiliki tekanan lebih besar daripada tekanan uap jenuh cairan. Tumbukan tersebut terjadi berulang-ulang dan mengakibatkan terbentuknya lubang-lubang kecil pada dinding elbow.

Kata kunci:

Evaporator, Kavitasi

## **Abstract**

Name :Ull Azmi

Study Program:Mechanical Engineering

Title :Analysis of Thermal Stresses of Leakage at Low Pressure Elbow  
Evaporator Pipe in Heat Recovery Steam Generator

HRSG is the component of combined cycle power plant which produces steam. The HRSG have low pressure evaporator area to increase water temperature until it reaches it's boiling point. In low pressure evaporator, the tubes always work at a moderately high temperature and pressure. This condition causes leakage especially in the elbow area. The leakage can be analyzed with CFD simulation. Base on the analysis of the CFD simulation result, the leakage were caused by cavitation. Cavitation cause crush at the tube wall by the breaking steam bubbles which have higher pressure than the pressure of vapor saturated fluid. The crush occurs continually and causes damage in elbow's wall.

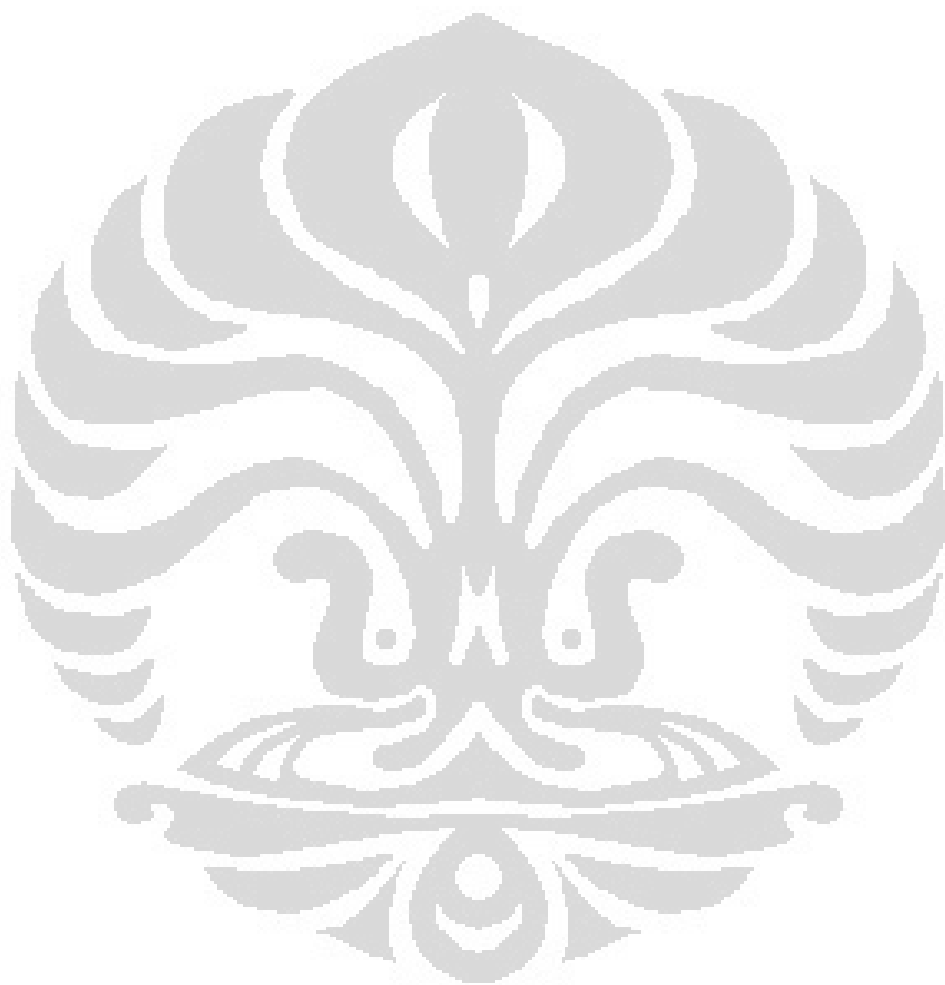
**Key words:**

Evaporator, Cavitation

## DAFTAR ISI

|   | Halaman |
|---|---------|
| <b>Bab 1. Pendahuluan</b>   |         |
| 1.1. Latar Belakang   | 1       |
| 1.2. Tujuan   | 3       |
| 1.3. Batasan Permasalahan   | 3       |
| 1.4. Metode Penelitian  | 4       |
| <b>Bab 2. Landasan Teori</b>  |         |
| 2.1 Siklus Air dan Uap Dalam HRSG                                     | 5       |
| 2.2. Teori Dasar Evaporator   | 8       |
| 2.3. Prinsip-Prinsip Perpindahan Panas                                | 9       |
| 2.4. ASME B31.1 Power Piping Code                                     | 11      |
| 2.5. Analisa Tegangan   | 13      |
| 2.6. Teori Kegagalan  | 20      |
| 2.7. Kavitasasi   | 22      |
| 2.8. Teori Sekilas Tentang CFD ( <i>Computational Fluid Dynamic</i> ) | 24      |
| <b>Bab 3. Simulasi Numeris</b>  |         |
| 3.1. Spesifikasi LP Evaporator  | 28      |
| 3.2. Proses Simulasi  | 30      |
| <b>Bab 4. Analisa Hasil Simulasi</b>                                  |         |
| 4.1 Hasil Simulasi EFD  | 32      |
| 4.1.1. Hasil Simulasi Sisi Inlet                                      | 32      |
| 4.1.2. Hasil Simulasi Pipa Spiral                                     | 32      |
| 4.1.3. Hasil Simulasi Sisi Outlet                                     | 33      |
| 4.2. Hasil Simulasi AutoPIPE  | 35      |

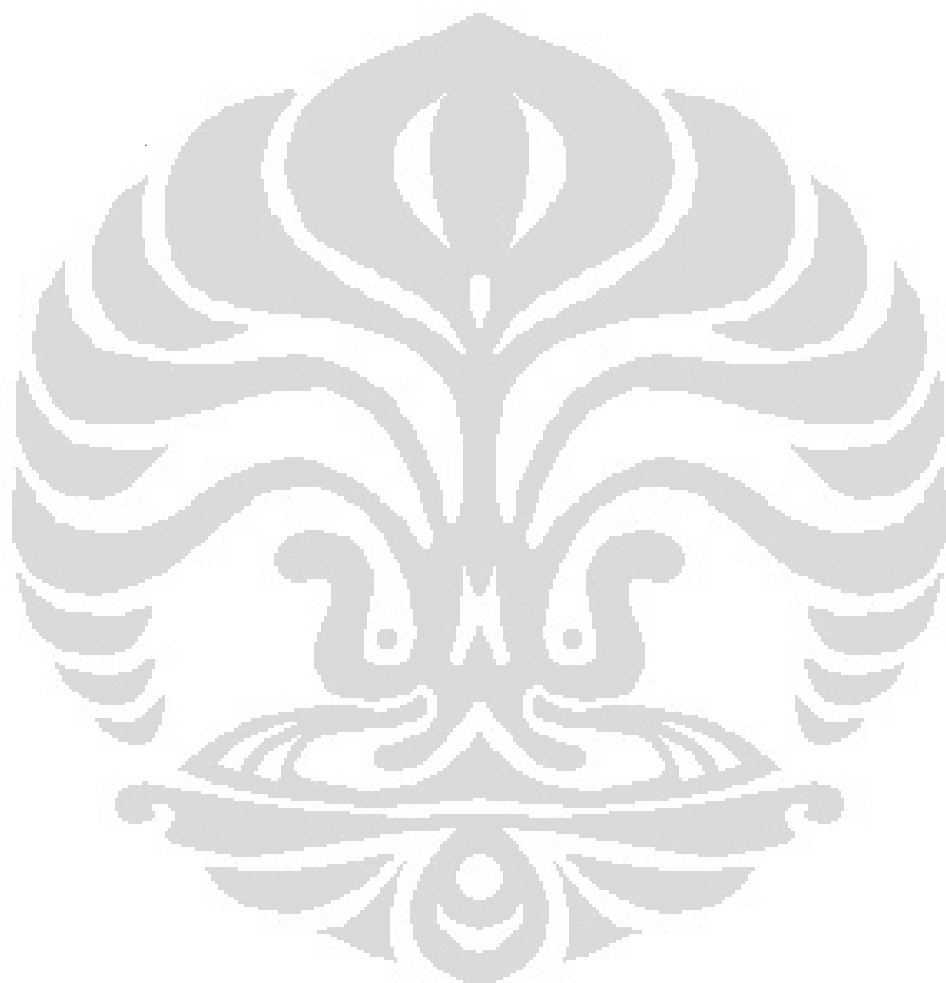
|                                    |           |
|------------------------------------|-----------|
| <b>4.3. Analisis Kavitas</b>       | <b>39</b> |
| <b>Bab 5. Kesimpulan dan Saran</b> | <b>45</b> |
| <b>Bab 6. Daftar Pustaka</b>       | <b>46</b> |
| <b>Lampiran</b>                    |           |



## DAFTAR GAMBAR

|  |    |
|--|----|
| Gambar 1.1. Instalasi dan Sambungan Elbow Tube Dengan Outlet Header LP Evaporator HRSG-2 UP Muara Karang ..... | 1  |
| Gambar 1.2. Lubang Yang Terbentuk Pada Elbow Dengan Sudut Penyambungan 90° Terhadap Outlet Header .....        | 2  |
| Gambar 2.1. Pusat Listrik Tenaga Gas dan Uap (PLTGU) .....   | 5  |
| Gambar 2.2. Tingkatan Dalam HRSG .....   | 6  |
| Gambar 2.3. Diagram T – h Perubahan Air Menjadi Uap .....  | 9  |
| Gambar 2.4. Tegangan Longitudinal .....  | 15 |
| Gambar 2.5. Tegangan Longitudinal Akibat Tekanan Internal .....  | 15 |
| Gambar 2.6. Tegangan Hoop .....  | 16 |
| Gambar 2.7. Tegangan Radial .....  | 18 |
| Gambar 2.8. Tegangan Geser .....   | 18 |
| Gambar 2.9 Tegangan Geser Akibat Beban Torsi .....   | 19 |
| Gambar 2.10. Uji Tegangan Tarik .....  | 20 |
| Gambar 2.11. Cavitation Guide Curve .....  | 24 |
| Gambar 3.1. LP Evaporator .....  | 28 |
| Gambar 3.2. Dimensi Inlet Evaporator .....   | 28 |
| Gambar 3.3 Dimensi Pipa Spiral .....   | 29 |
| Gambar 3.4. Dimensi Outlet Evaporator .....  | 29 |
| Gambar 3.5. Pemodelan utoPIPE .....  | 31 |
| Gambar 4.1. Temperatur Sisi Inlet .....  | 32 |
| Gambar 4.2 Temperatur Pipa Spiral .....  | 32 |
| Gambar 4.3 Kecepatan Arah Z .....  | 33 |
| Gambar 4.4 Grafik Perubahan Tekanan Sepanjang Elbow .....  | 33 |
| Gambar 4.5 Grafik Perubahan Y-Kecepatan Sepanjang Elbow .....  | 34 |
| Gambar 4.6 Nilai Gaya dan Momen Sistem .....   | 36 |
| Gambar 4.7 Code Stress Hasil Perhitungan .....   | 37 |
| Gambar 4.8 Nilai Gaya dan Momen Akibat Termal .....  | 38 |

|  |    |
|--|----|
| Gambar 4.9. Diagram Mollier.....   | 39 |
| Gambar 4.10. Distribusi Temperatur Fluida .....  | 40 |
| Gambar 4.11. Distribusi Densitas Fluida Kerja .....  | 41 |
| Gambar 4.12. Distribusi Volume Fraksi Uap .....  | 41 |
| Gambar 4.13. Lokasi Kebocoran .....  | 42 |
| Gambar 4.14. Permukaan Bagian Dalam dan Bagian Luar Potongan Elbow Tube Yang Telah Dibelah ..... | 43 |



## DAFTAR SINGKATAN

|         |   |
|---------|---|
| HRSG    | : Heat Recovery Steam Generator         |
| HSD     | : High Speed Diesel                     |
| LP-Eco  | : Low Pressure Economizer               |
| LP-Evap | : Low Pressure Evaporator               |
| LP-Drum | : Low Pressure Drum                     |
| HP-Eco  | : High Pressure Economizer              |
| LP-SH   | : Low Pressure Super heater             |
| HP-Eva  | : High Pressure Evaporator              |
| HP Drum | : High Pressure Drum                    |
| HP-SH1  | : High Pressure Superheater 1           |
| HP-SH2  | : High Pressure Superheater 2           |
| EFD     | : Engineering Fluid Dynamics            |
| CFD     | : Computational Fluid Dynamics          |
| CWP     | : Circulating Water Pump                |
| PLTGU   | : Pembangkit Listrik Tenaga Gas dan Uap |

## DAFTAR SIMBOL

| Notasi                | Keterangan Notasi                                 | Satuan                           |
|-----------------------|---|----------------------------------|
| $\dot{m}$             | Laju aliran massa                                 | T/H                              |
| $Q_{\text{konduksi}}$ | Besar laju perpindahan panas konduksi             | W                                |
| $k$                   | Konduktivitas termal dari benda                   | W/m.°C                           |
| A                     | Luas penampang dari benda                         | m                                |
| $\Delta T$            | Perbedaan temperatur                              | °C                               |
| $\Delta x$            | Tebal medium yang dilalui proses                  | m                                |
| $Q_{\text{konveksi}}$ | Besar perpindahan panas konveksi                  | W                                |
| h                     | Koefisien konveksi                                | W/m <sup>2</sup>                 |
| $T_s$                 | Temperatur permukaan                              | °C                               |
| $T_f$                 | Temperatur fluida                                 | °C                               |
| $Q_{\text{radiasi}}$  | Besar perpindahan panas radiasi                   | W                                |
| $\sigma$              | Konstanta Stefan-Boltzman                         | W/m <sup>2</sup> .K <sup>4</sup> |
| $\sigma_T$            | Termal stres                                      | Pa                               |
| $\alpha$              | Thermal coefficient                               | 1/°C                             |
| E                     | Elastic modulus                                   | Pa                               |
| $S_L$                 | Sustained loads                                   | Psi                              |
| P                     | Tekanan desain                                    | Psi                              |
| $D_o$                 | Diameter luar pipa                                | in                               |
| t                     | Tebal pipa  | in                               |
| Z                     | Section modulus pipa                              | in <sup>3</sup>                  |
| $M_A$                 | Momen akibat berat dan beban kontinyu             | in.lb                            |
| i                     | Stress intensification faktor                     |                                  |
| $M_C$                 | Momen resultan akibat thermal ekspansion          | in.lb                            |
| $S_A$                 | Tegangan diijinkan untuk expansion streses        | Psi                              |
| f                     | Stress range reduction factor                     |                                  |
| $S_h$                 | Tegangan material diijinkan pada temperatur tetap | Psi                              |

## BAB I

### PENDAHULUAN

#### I.1. LATAR BELAKANG

Header LP Evaporator HRSG UP Muara Karang dalam beberapa tahun terakhir ini dilaporkan seringkali mengalami kebocoran terutama pada HRSG unit-1 dan HRSG unit-2. Jenis kerusakan dan faktor penyebab terjadinya kebocoran pada elbow tube outlet header LP Evaporator tersebut sejauh ini belum pernah ditentukan secara pasti sehingga usaha penanggulangan yang dilakukan selama ini belum membawa hasil yang memuaskan.

Lokasi LP Evaporator terletak pada tingkat kedua dari atas (*stack*) HRSG setelah LP Economizer. Seperti terlihat pada Gambar 1, sistem evaporator tube HRSG tersebut terdiri dari elbow tube berikut dengan bagian plain tubenya yang lurus dan fin tube (tidak terlihat pada Gambar).



Gambar 1.1. Instalasi dan Sambungan Elbow Tube Dengan Outlet Header LP Evaporator HRSG-2 UP Muara Karang

Diambil dari HRSG 1.3 PT PJB Muara Karang

Elbow tube dengan sudut penyambungan  $90^\circ$  terhadap outlet header diketahui telah memperlihatkan adanya lubang kebocoran di sekitar dinding bagian kurvatur atau radius luar dari belokan (lihat Gambar 2). Sedangkan pada elbow tube lainnya yang memiliki sudut penyambungan kurang dari  $90^\circ$  terhadap outlet header tidak diketemukan adanya pembentukan lubang kebocoran.



Gambar 1.2. Lubang Yang Terbentuk Pada Elbow Dengan Sudut Penyambungan  $90^\circ$  Terhadap Outlet Header

Diambil dari HRSG 1.3 PT PJB Muara Karang

Dalam perencanaan suatu sistem aliran, sulit dihindari adanya suatu belokan (*elbow*). Adanya *elbow* dalam suatu saluran akan menyebabkan terjadinya kerugian tekanan pada aliran. Hal tersebut dikarenakan oleh perubahan arah aliran fluida yang melalui saluran tersebut. Besar kecilnya kerugian tekanan yang terjadi pada aliran yang melalui *elbow* tersebut dipengaruhi oleh besarnya jari-jari kelengkungan dan sudut belok dari *elbow* itu sendiri. Adanya *elbow* dalam suatu saluran akan menyebabkan terjadinya kerugian tekanan pada aliran. Hal tersebut dikarenakan oleh perubahan arah aliran fluida yang melalui saluran tersebut. Besar kecilnya kerugian tekanan yang terjadi pada aliran yang melalui *elbow* tersebut dipengaruhi oleh besarnya jari-jari kelengkungan dan sudut belok dari *elbow* itu sendiri. Selain adanya kerugian tekanan pada *elbow*, *thermal stress* juga memiliki peranan besar akan terjadinya kebocoran pada *elbow* pipa evaporator. Pada tahun 2008 telah dilakukan penelitian terhadap kebocoran pada *elbow* pipa evaporator. Pada tahun 2008 telah dilakukan survei terhadap instalasi dan konstruksi serta susunan *elbow* tube terhadap outlet header LP evaporator. Dari penelitian yang dilakukan oleh PT. EMPU AGUNG SAKTI tersebut, didapatkan kesimpulan bahwa penyebab kebocoran bukan disebabkan dari faktor instalasi maupun material yang digunakan, melainkan dikarenakan terjadinya kavitas pada pipa *elbow* LP evaporator. Hal ini dikarenakan setelah dilakukan beberapa uji material didapatkan hasil bahwa material yang digunakan telah sesuai dengan kondisi operasi dan tidak ada indikasi sebagai penyebab terjadinya kebocoran. Untuk mengetahui secara aktual tentang terjadinya kebocoran pada *elbow* tube outlet header LP Evaporator, maka penulis akan melakukan analisis aliran pada

elbow pipa evaporator dengan menggunakan program EFD. Dari simulasi EFD didapatkan parameter tekanan dan temperatur operasi aktual pada daerah elbow LP evaporator. Kedua parameter tersebut digunakan sebagai input untuk menganalisa instalasi dan konstruksi pipa LP evaporator dengan menggunakan program AutoPIPE. AutoPIPE berfungsi untuk menganalisa tegangan-tegangan yang terjadi pada konstruksi pipa LP evaporator dan memastikan bahwa tegangan yang terjadi tidak melebihi dari tegangan material yang diijinkan. Bila tegangan-tegangan yang terjadi pada konstruksi pipa LP evaporator masih dibawah tegangan material yang diijinkan, maka dipastikan bahwa kebocoran bukan diakibatkan oleh instalasi dan konstruksi pipa LP evaporator. Analisis dilanjutkan menggunakan simulasi EFD dengan memasukkan flow karakteristik kavitas pada general setting. Sehingga dengan menggunakan simulasi EFD tersebut dapat diketahui bahwa penyebab terjadinya kebocoran dikarenakan adanya kavitas seperti kesimpulan yang diperoleh PT. EMPU AGUNG SAKTI.

## I.2. TUJUAN

Tujuan dari analisa kerusakan ini adalah untuk menentukan penyebab seringnya terjadi kebocoran pada elbow tube outlet header LP Evaporator HRSG UP Muara Karang. Dari hasil analisa kerusakan yang diperoleh diharapkan akan dapat dilakukan langkah-langkah pencegahan agar kerusakan yang serupa tidak terjadi lagi atau minimal agar dapat memperpanjang umur operasi elbow tube tersebut secara ekonomis dan handal.

## I.3. BATASAN MASALAH

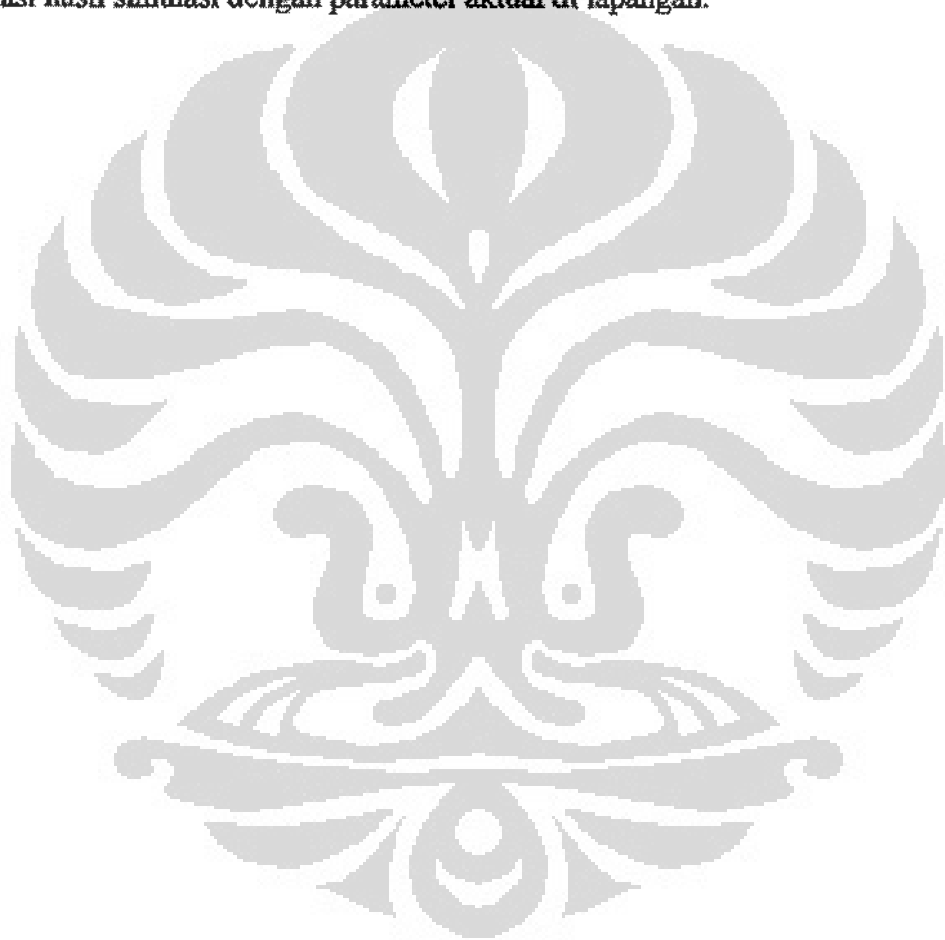
- Gas buang dari mesin turbin gas berasal dari bahan bakar gas alam.
- Fluida yang mengalir dalam pipa evaporator adalah air.
- Temperatur gas keluar turbin sebesar  $540^{\circ}\text{C}$ , aliran massa ( $m = 1404 \text{ T/H}$ ).
- Temperatur air dalam inlet header evaporator sebesar  $160^{\circ}\text{C}$  dan tekanan 10 bar.
- Analisa hanya pada daerah elbow evaporator.

#### I.4. METODE PENELITIAN

- Bimbingan dan konsultasi dengan dosen pembimbing.
- Studi literatur.
- Studi dan pengamatan lapangan di PLTGU Muara Karang.
- Pembuatan model

Model digunakan untuk kegiatan simulasi menggunakan software CFD dan AutoPIPE

- Analisa numeris dengan menggunakan software CFD dan AutoPIPE.
- Validasi hasil simulasi dengan parameter aktual di lapangan.

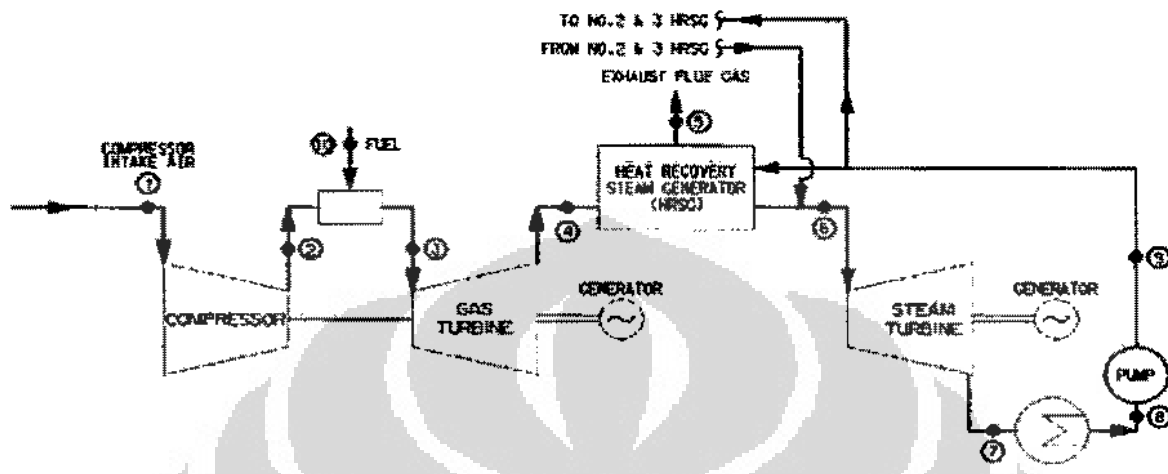


Universitas Indonesia

## BAB II

### DASAR TEORI

#### II.1 Siklus Air dan Uap Dalam HRSG



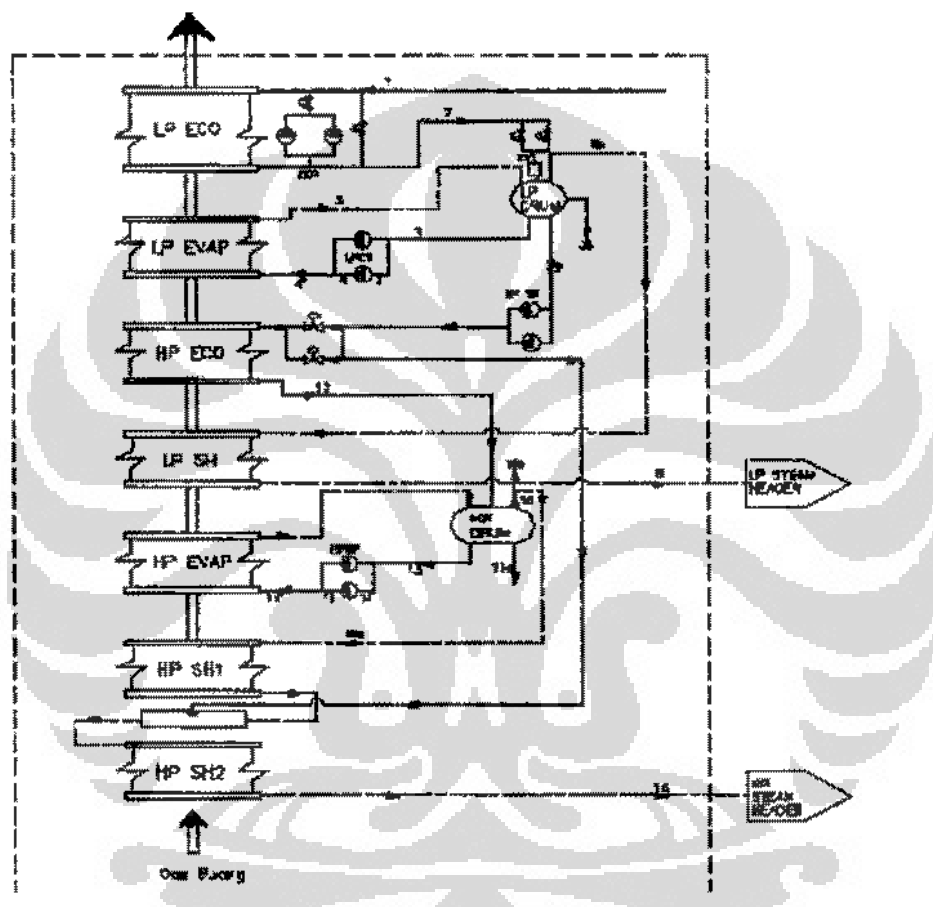
Gambar 2.1 Pusat Listrik Tenaga Gas dan Uap (PLTGU)

Diambil dari manual book gas turbine General Electric

HRSG singkatan dari *Heat Recovery Steam Generator*, adalah ketel uap atau boiler yang memanfaatkan energi panas sisa gas buang suatu unit turbin gas untuk memanaskan air dan mengubahnya menjadi uap, dan kemudian uap tersebut dipergunakan untuk menggerakkan turbin uap. Pada umumnya, boiler HRSG tidak dilengkapi pembakar (*burner*) dan tidak mengkonsumsi bahan bakar, sehingga tidak terjadi proses perpindahan/penyerapan panas radiasi. Proses perpindahan/penyerapan yang terjadi hanyalah proses konveksi dari gas buang turbin gas kedalam air dan/atau uap melalui elemen-elemen pemanas didalam ruang boiler HRSG. Jumlah flow gas buang gas turbin yang masuk ke HRSG tergantung dari kondisi kerja/beban gas turbin. Untuk kasus di PLTGU Muara Karang ini tipe HRSG adalah tipe horizontal. Artinya flow gas buang dari gas turbin memiliki arah dari bawah keatas. Sehingga temperatur gas buang akan mengalami penurunan sebanding dengan ketinggian yang telah dicapai. Dalam HRSG terdapat beberapa tingkatan heat exchanger yang memiliki fungsi yang berbeda-beda, yaitu ;

1. Low Pressure Economizer

2. Low Pressure Evaporator
3. High Pressure Economizer
4. Low Pressure Superheater
5. High Pressure Evaporator
6. High Pressure Superheater 1
7. High Pressure Superheater 2



Gambar 2.2 Tingkatan Dalam HRSG

Diambil dari manual book gas turbine General Electric

Selain gas buang yang berfungsi sebagai sumber kalor dalam mengubah air baku menjadi uap kering, air pengisi sangat berperan penting pada siklus PLTGU. Hal ini dikarenakan air pengisi merupakan bahan baku dalam memproduksi uap kering sebagai tenaga penggerak turbin uap. Sebagai air pengisi HRSG digunakan air make up, air yang sudah mengalami proses demineralisasi, dengan cara dipompa menggunakan pompa kondensat. Pompa kondensat harus memompakan aliran tetap yang diperlukan untuk mengganti air didalam boiler yang telah diubah menjadi uap. Sistem air pengisi dimulai dari bawah tangki air pengisi (*Hotwell*). Air mengalir dari bawah tangki menuju sisi masuk (*suction*) pompa kondensat; tangki dipasang cukup tinggi sebagai NPSH pompa. Pompa mengalirkan air pengisi ke setiap boiler HRSG yang ada pada satu blok PLTGU melalui pemanas dan katup kontrol air pengisinya masing-masing, kemudian dipanaskan di ekonomiser dan diisikan kedalam *low pressure drum*. Dari lp drum air dipompakan oleh *LP Circulation Pump*, menuju LP Evaporator. Temperatur dan tekanan air saat dipompakan adalah sebesar 160 °C dan 10 bar. Setelah keluar dari header outlet lp evaporator, air yang bercampur uap masuk kedalam lp drum yang mengakibatkan temperatur dalam lp drum naik. Air yang berada pada bagian dasar LP Drum dialirkan menuju ke HP Drum dengan menggunakan HP Transfer Pump. Pada bagian atas lp Drum yang sudah berbentuk uap LP Superheater dialirkan menuju ke HP Turbin uap tingkat terakhir dengan temperatur dan tekanan sebesar 297 °C dan 5,8 bar. Air pada bagian dasar HP Drum disirkulasikan ke HP Evaporator menggunakan pompa HP Circulation. Pada bagian atas HP Drum, uap dialirkan menuju Super Heater 1 (SH 1) sehingga temperatur uap menjadi 480 °C. Untuk menurunkan temperatur uap, sebelum uap masuk ke Super Heater 2, uap didinginkan (*spray*) dengan air yang berasal dari LP Drum sehingga temperatur uap menjadi 464 °C. Temperatur dan tekanan uap kering setelah keluar dari header outlet HP Super Heater 2 menjadi 520 °C dan 67 bar. Kemudian uap kering ini akan masuk ke *high pressure turbin*. Setelah itu uap ini akan bergabung dengan uap dari LP Super Heater pada turbin tingkat terakhir. Uap dari turbin tekanan tinggi kemudian masuk ke turbin tekanan rendah (*low pressure*). Akibat energi gerak yang ditimbulkan dari kerja uap, generator yang terkopel dengan turbin akan bergerak dan menghasilkan energi listrik. Uap yang telah menggerakkan turbin akan masuk kedalam kondenser. Uap ini akan didinginkan oleh air laut yang dipompakan menuju kondenser

menggunakan CWP (*Circulating Water Pump*) dan mengalami proses kondensasi untuk mengubah uap menjadi air baku. Air baku ini kemudian dipompakan ke HRSG menggunakan pompa kondensat untuk menggantikan air yang telah diubah menjadi uap dalam HRSG.

## II.2. Teori Dasar Evaporator

HRSG merupakan ketel uap yang mengalami pertukaran kalor secara konveksi antara gas buang dengan permukaan pipa-pipa bersirip (*fin tube*) yang dilewati air di dalam pipa – pipa tersebut. Keluaran HRSG berupa uap kering yang digunakan sebagai fluida kerja penggerak turbin.

Tiga (3) komponen utama HRSG, yaitu :

### 1. Evaporator

Merupakan bagian yang paling penting. Evaporator terdiri dari coil-coil. Coil-coil ini terisi oleh air, yang melewati tabung yang dipanaskan sampai dengan *saturation point*.

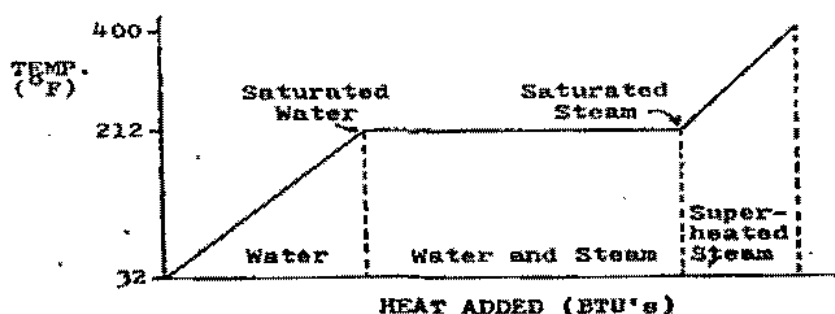
### 2. Superheater

Superheater digunakan untuk memanaskan uap jenuh yang terpisah didalam drum uap. Dalam beberapa bagian uap tersebut hanya dipanaskan sedikit diatas titik saturasi dimana dalam bagian yang lain mungkin dipanaskan sampai temperatur yang signifikan untuk penambahan penyimpanan energi. Bagian superheater ini normalnya diletakkan dalam aliran gas yang lebih panas, di depan evaporator.

### 3. Economizer

Economizer digunakan untuk pemanasan awal *feedwater* sebelum uap dipindahkan melalui superheater atau steam outlet dan air keluar melalui *blowdown*. Pada umumnya economizer diletakkan didalam gas yang lebih dingin pada bagian bawah (*down stream*) evaporator.

Evaporator merupakan bagian pada HRSG yang berfungsi menaikkan temperatur air mencapai titik didih. Pada evaporator terjadi peristiwa perubahan fase dari cair menjadi uap. Hal ini dapat terlihat pada diagram T – h perubahan air menjadi uap dibawah ini :



Gambar 2.3. Diagram T – h Perubahan Air Menjadi Uap

Diamond dari handbook pelatihan pegoperasian HRSG oleh PLN

Keterangan :

- 1 – 2 : Zat cair bila diberi panas temperaturnya akan naik sampai mencapai titik didih.
- 2 – 3: Pada saat benda tersebut mencapai titik didihnya, suhunya tetap. Panas yang diterima, digunakan untuk merubah wujud dari cair menjadi uap, panas tersebut dinamakan panas laten.
- 3 – 4: Uap jenuh bila dipanaskan terus akan menjadi uap panas lanjut (superheat) dan panas yang digunakan disebut panas Superheat.

Dari gambar 4 diatas terlihat bahwa pada evaporator terjadi perubahan fasa dari fluida cair (air) menjadi fluida gas (uap). Hal ini terjadi dikarenakan air yang diberi panas Temperaturnya akan naik sampai mencapai titik didih. Jika pada air yang mendidih terus diberikan panas, maka air akan berubah fasa menjadi uap. Selama proses perubahan fasa, penambahan panas tidak menaikkan temperatur air. Panas yang diberikan untuk menubah fasa (wujud) dari air menjadi uap disebut panas latent. Panas latent atau panas pendidihan dalam tabel uap diberi simbol huruf  $h_{fg}$ . Sedangkan jumlah panas sensibel ( $h_t$ ) dan panas latent ( $h_{fg}$ ) disebut panas total uap jenuh yang diberi simbol  $h_g$ .

### II.3. Prinsip-Prinsip Perpindahan Panas

Menurut Frank Kreith (1997), perpindahan panas merupakan ilmu yang mempelajari mengenai perpindahan energi dalam bentuk panas yang terjadi akibat adanya perbedaan temperatur. Secara umum perpindahan panas dapat dibagi menjadi 3, yaitu :

1. Perpindahan panas secara konduksi
2. Perpindahan panas secara konveksi

### 3. Perpindahan panas secara radiasi

#### II.3.1. Perpindahan Panas Secara Konduksi

Konduksi adalah proses mengalirnya panas dari daerah yang memiliki temperatur lebih tinggi ke daerah dengan temperatur lebih rendah didalam suatu medium (padat, cair, gas) atau antara medium-medium yang berlainan yang bersinggungan secara langsung. Dalam aliran konduksi, perpindahan energi terjadi karena hubungan molekul secara langsung tanpa adanya perpindahan molekul yang cukup besar. Besar dari perpindahan panas secara konduksi tergantung bentuk dari medium, ketebalan medium dan bahan dari medium tersebut. Selain itu juga sangat tergantung dari perbedaan temperatur yang ada. Perpindahan panas tersebut akan terus berlangsung sampai dicapai suatu kesetimbangan energi dari daerah yang memiliki perbedaan energi. Secara matematis besar perpindahan panas yang terjadi dapat dihitung dengan menggunakan hukum Fourier's yang dirumuskan sebagai berikut :

$$Q_{\text{konduksi}} = -kA \frac{\Delta T}{\Delta x} \quad (1)$$

dengan,

|                       |   |
|-----------------------|---|
| $Q_{\text{konduksi}}$ | = Besar laju perpindahan panas konduksi (W) |
| $k$                   | = Konduktivitas termal dari benda (W/m.°C)  |
| $A$                   | = Luas penampang dari benda (m)             |
| $\Delta T$            | = Perbedaan temperatur (°C)                 |
| $\Delta x$            | = Tebal medium yang dilalui proses (m)      |

#### II.3.2. Perpindahan Panas Secara Konveksi

Perpindahan panas konveksi merupakan perpindahan energi antara permukaan padat dengan aliran fluida baik gas maupun cair. Pada perpindahan panas ini melibatkan efek konduksi dan pergerakan dari fluida. Semakin cepat aliran fluida yang terjadi maka semakin besar perpindahan panas yang terjadi. Perpindahan panas konveksi dapat dirumuskan sebagai berikut :

$$Q_{\text{konveksi}} = hA(T_s - T_\infty) \quad (2)$$

dengan,

|                       |  |
|-----------------------|--|
| $Q_{\text{konveksi}}$ | = Besar perpindahan panas konveksi (W)   |
| $h$                   | = Koefisien konveksi (W/m <sup>2</sup> ) |

|                |                           |                   |
|----------------|---------------------------|-------------------|
| A              | = Luas permukaan konveksi | (m <sup>2</sup> ) |
| T <sub>s</sub> | = Temperatur permukaan    | (°C)              |
| T <sub>f</sub> | = Temperatur fluida       | (°C)              |

### II.3.3. Perpindahan Panas Secara Radiasi

Perpindahan panas secara radiasi adalah perpindahan panas yang terjadi dalam bentuk gelombang elektromagnetik. Berbeda dengan perpindahan panas secara konduksi dan konveksi, pada perpindahan panas radiasi tidak diperlukan adanya media perantara untuk mengalirkan energi. Perpindahan panas secara radiasi dirumuskan oleh Stefan-Boltzman sebagai berikut :

$$Q_{\text{radiasi}} = \sigma \cdot A \cdot T_s^4 \quad (3)$$

dengan,

|                      |                                   |  |
|----------------------|-----------------------------------|--|
| Q <sub>radiasi</sub> | = Besar perpindahan panas radiasi | (W)  |
| $\sigma$             | = Konstanta Stefan-Boltzman       | ( $5,67 \times 10^{-8} \text{ W/m}^2 \cdot \text{K}^4$ ) |
| T <sub>s</sub>       | = Temperatur benda                | (K)  |

### II.4. ASME B31.1 Power Piping Code

Dalam mendesain suatu peralatan mekanis, terutama sistem perpipaan, ada beberapa hal yang harus diperhatikan agar peralatan mekanis tersebut dapat beroperasi sesuai dengan desain waktu. Artinya sistem perpipaan tidak mengalami kegagalan (*failure*) yang diakibatkan beban-beban selama operasi. Untuk mencapai hal tersebut sistem perpipaan tersebut harus mampu mengantisipasi adanya tegangan-tegangan yang mungkin terjadi pada sistem tersebut. Menurut Basavaraju, tegangan yang mungkin terjadi pada sistem perpipaan tersebut antara lain :

1. Tegangan yang disebabkan oleh beban kontinyu (*sustained loads*). Beban – beban yang bersifat kontinyu antara lain ;
  - Tekanan kerja fluida
  - Berat pipa
  - Berat fluida kerja

Efek dari beban-beban tersebut harus memenuhi persyaratan dari persamaan berikut ini

$$S_L = \frac{P \cdot D_o}{4t} + \frac{0,75 i M_A}{Z} \leq 1,0 S_h \quad (4)$$

dimana;

|       |   |                    |
|-------|---|--------------------|
| $S_L$ | : Sustained loads                       | (Psi)              |
| $P$   | : Tekanan desain                        | (Psi)              |
| $D_o$ | : Diameter luar pipa                    | (in)               |
| $t$   | : Tebal pipa                            | (in)               |
| $Z$   | : Section modulus pipa                  | (in <sup>3</sup> ) |
| $M_A$ | : Momen akibat berat dan beban kontinyu | (in.lb)            |
| $i$   | : Stress intensification faktor         |                    |

2. Tegangan akibat *occasional loads*

3. Tegangan akibat adanya *thermal ekspansion*

Tegangan temperatur (*thermal stress*) timbul jika terjadi pemuaian ataupun penyusutan termis. Artinya, jika sebuah batang yang ujung-ujungnya dijaga (misal; dilas) dan mengalami kenaikan temperatur yang seragam  $T$ , maka disepanjang batang tersebut akan terjadi tegangan langsung sebesar ;

$$\sigma_T = - E \cdot \alpha \cdot \Delta T \quad (5)$$

dimana;

|            |                               |        |
|------------|-------------------------------|--------|
| $\sigma_T$ | : Tegangan termal             | (MPa)  |
| $E$        | : Modulus elastisitas         | (MPa)  |
| $\alpha$   | : Koefisien termal ekspansion | (1/°C) |
| $\Delta T$ | : Perubahan temperatur        | (°C)   |

Begitu juga jika batang tersebut didinginkan, maka batang tersebut juga akan mengalami tegangan yang sama dengan persamaan diatas. Hanya yang membedakannya adalah jika batang mengalami pemuaian, batang tersebut mengalami tegangan tarik (positif). Namun bila batang tersebut mengalami penyusutan, maka batang tersebut dikenai tegangan tekan (negatif).

Efek dari ekspansi termal ini harus memenuhi persyaratan berikut ini.

$$\frac{i M_C}{Z} \leq S_A + f(S_h - S_L) \quad (6)$$

dimana;

$M_C$  : Momen resultan akibat thermal ekspansion (in.lb)

$S_A$  : Tegangan diijinkan untuk expansion streses

$$S_A = f(1,25 S_C + 0,25 S_h), \text{ Psi} \quad (7)$$

$f$  : Stress range reduction factor

$S_h$  : Tegangan material diijinkan pada temperatur tetap (Psi)

Jika sistem perpipaan telah memenuhi persyaratan tersebut diatas, maka diharapkan sistem tersebut dapat bertahan lama sesuai umur desain.

## II.5. Analisa Tegangan

Dalam mendesain sistem perpipaan secara tepat, para insinyur harus memahami perilaku sistem perpipaan yang dibebani beban potensial dan hal itu harus sesuai dengan persyaratan yang diperbolehkan untuk dibebankan pada sistem tersebut menurut *governing codes*. Perilaku pada sistem dapat diukur melalui penjumlahan nilai parameter fisik, seperti; percepatan, kecepatan, pemuaian, gaya-gaya dalam dan momen, tegangan, serta reaksi-reaksi luar yang terjadi yang dikarenakan adanya beban-beban. Nilai yang diijinkan untuk tiap parameter tersebut diatas ditentukan setelah melakukan tinjauan terhadap criteria kegagalan untuk sistem yang akan dibangun. Kriteria kegagalan sistem bergantung pada tipe pembebahan yang mana dapat diklasifikasikan berdasarkan variasi-variasi pembebahan seperti; *primary vs secondary, sustained vs occasionally*, atau statis vs dinamik.

ASME/ANSI B31.1 *piping power code* adalah hasil dari kerja kira-kira selama 8 dekade oleh *the American Society of Mechanical Engineers* dan *the American National Standards Institute* yang ditujukan untuk pengkodean dari desain dan standar engineering untuk sistem perpipaan. Pengkodean tekanan pipa B31 yang menentukan kondisi minimum desain, material, fabrikasi, assembly, tes, dan persyaratan inspeksi dari sistem perpipaan baik untuk *power plant, petrochemical/refinery, fuel gas, gas transmission, and nuclear applications*.

Menurut ASME B31.1 piping power code, ada beberapa alasan dalam kegiatan analisis tegangan pada sistem perpipaan, antara lain:

1. Untuk menjaga tegangan yang terjadi pada pipa dalam level yang diijinkan *code*.
2. Untuk menjaga beban pada nozel yang menyatu pada peralatan dalam standar manufaktur yang diijinkan.

3. Untuk menjaga tegangan vesel pada persambungan pipa dalam level yang diijinkan ASME bagian VIII
4. Untuk menghitung beban-beban desain pada bagian *supports* dan *restraints*.
5. Untuk menghitung pemuaian pipa.
6. Untuk menyelesaikan masalah dinamik pada pipa, seperti getaran yang disebabkan oleh faktor mekanis, getaran akustik, hantaman fluida kerja (*fluid hammer*), *pulsation*, dan aliran transien.
7. Untuk membantu dalam mengoptimasi desain perpipaan.

Tegangan-tegangan yang hitung adalah bukanlah tegangan yang sesungguhnya, tetapi lebih kearah tegangan "code". Perhitungan tegangan "code" didasarkan pada persamaan yang spesifik, yang mana merupakan hasil kompromi dan penyederhanaan selama 8 dekade. Perhitungan didasarkan pada :

- a. Beban-beban masuk dan keluar pada pipa, berdasarkan ketepatan perhitungan.
- b. Tipe pembebaan.
- c. *Magnification*, dikarenakan konfigurasi fitting lokal, dimana mungkin yang menggambarkan penurunan besar kelelahan (*fatigue strength*) daripada peningkatan tegangan aktual.

### **II.5.1. Teori dan Pengembangan dari Persyaratan Tegangan Pada Pipa**

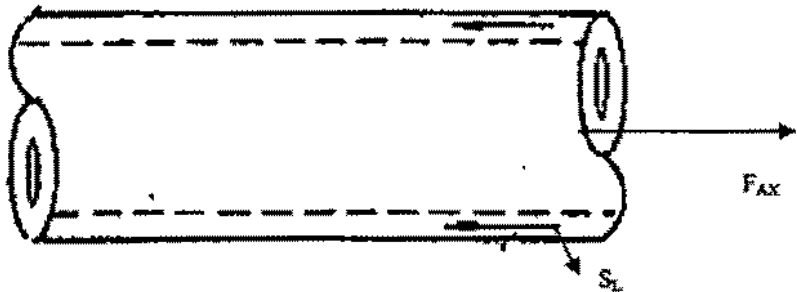
#### **II.5.1.1. Konsep Dasar Tegangan**

##### **1. Tegangan Normal**

Tegangan normal bekerja pada arah normal terhadap permukaan material. Tegangan normal mungkin terjadi lebih dari satu arah dan dibangun dari beberapa tipe beban yang berbeda.

##### **2. Tegangan Longitudinal**

Tegangan longitudinal, ataupun aksial, adalah tegangan normal yang bekerja paralel terhadap sumbu longitudinal dari pipa. Tegangan ini disebabkan oleh gaya internal yang bekerja secara aksial dalam pipa. Menurut Basavaraju, tegangan longitudinal dapat dihitung dengan menggunakan rumus;



Gambar 2.4. Tegangan Longitudinal

dimana,

$$S_L = \frac{F_{AX}}{A_m} \quad (8)$$

dimana,

$S_L$  = Tegangan longitudinal (Psi)

$F_{AX}$  = Internal axial force (lb)

$A_m$  = Luas penampang pipa ( $\text{in}^2$ )

$$= \frac{\pi(d_o^2 - d_i^2)}{4}$$

$$= \pi.d_m.t$$

$d_o$  = Diameter luar (in)

$d_i$  = Diameter dalam (in)

$d_m$  = Diameter rata-rata (in)

$$= \frac{(d_o - d_i)}{2}$$

Kasus khusus dari tegangan longitudinal adalah tegangan yang disebabkan oleh tekanan internal, yaitu ;



Gambar 2.5. Tegangan Longitudinal Akibat Tekanan Internal

$$S_L = \frac{P A_i}{A_m} \quad (9)$$

dimana,

$P$  = tekanan desain internal (Psi)

$A_i$  = Luas internal pipa ( $\text{in}^2$ )

$$= \frac{\pi d_i^2}{4}$$

Sehingga,

$$S_L = \frac{P d_i^2}{(d_o^2 - d_i^2)} \quad (10)$$

Atau

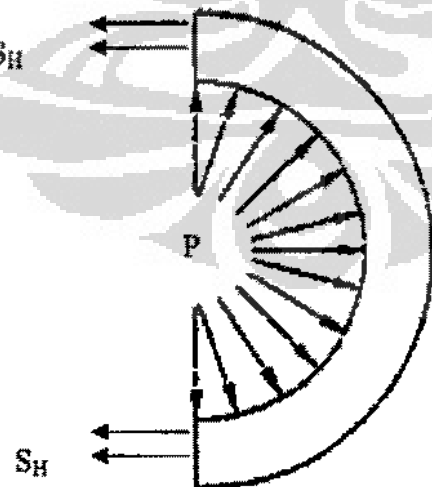
$$S_L = \frac{P d_i^2}{4 d_o t} \quad (11)$$

Atau bila disederhanakan menjadi,

$$S_L = \frac{P d_o}{4 t} \quad (12)$$

### 3. Tegangan Hoop/Circumferensial

Merupakan bagian dari tegangan normal pada pipa, bekerja pada arah ortogonal terhadap arah aksial. Tegangan hoop disebabkan karena tekanan internal. Tegangan ini bekerja pada arah pararel terhadap keliling pipa.



Gambar 2.6. Tegangan Hoop

Nilai dari tegangan Hoop dapat dihitung dengan menggunakan persamaan Lame's :

$$S_H = \frac{P(r_i^2 + \frac{r_i^2 r_o^2}{r^2})}{(r_o^2 - r_i^2)} \quad (13)$$

dimana,

$S_H$  = Tegangan Hoop disebabkan oleh tekanan (Psi)

$r_i$  = Jari-jari dalam pipa (in)

$r_o$  = Jari-jari luar pipa (in)

$r$  = Posisi radial dimana terjadi tegangan (in)

Tegangan Hoop dapat didekati dengan menggunakan tebal silinder (pipa), dengan mengasumsikan bahwa gaya tekanan, dikenakan pada panjang pipa yang berubah-ubah,  $I$  ( $F = P.d.l$ ), adalah ditahan seragam oleh dinding pipa pada panjang yang sama. ( $A_m = 2.t.l$ ), atau dapat dituliskan;

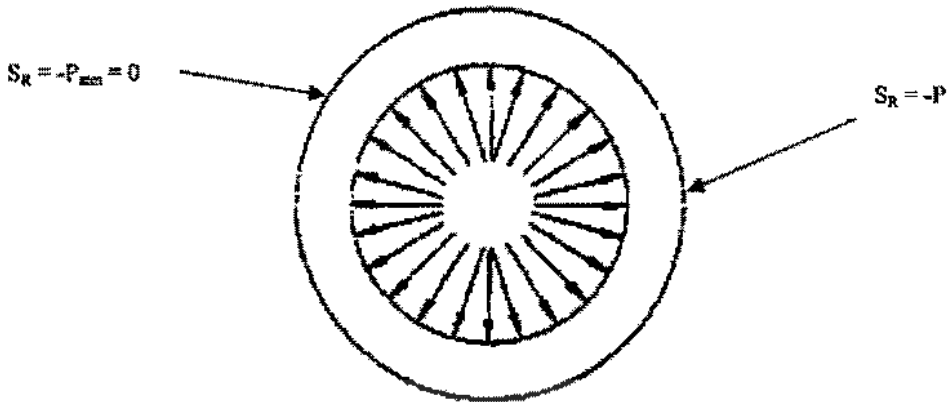
$$\begin{aligned} S_H &= \frac{Pd_l I}{2\pi t} \\ &= \frac{pd_l}{2t} \end{aligned} \quad (14)$$

Atau secara konservatif dapat dituliskan

$$S_H = \frac{pd_o}{2t} \quad (15)$$

#### 4. Tegangan Radial

Merupakan salah satu dari tegangan normal yang terjadi pada dinding pipa. Tegangan ini bekerja pada arah ortogonal, pararel terhadap radius pipa. Dengan mengasumsikan tidak ada tekanan external, tegangan radial dapat dihitung sebagai berikut ;



Gambar 2.7. Tegangan Radial

$$S_R = \frac{P \cdot (r_i^2 - \frac{r_i^2 r_o^2}{r^2})}{(r_o^2 - r_i^2)} \quad (16)$$

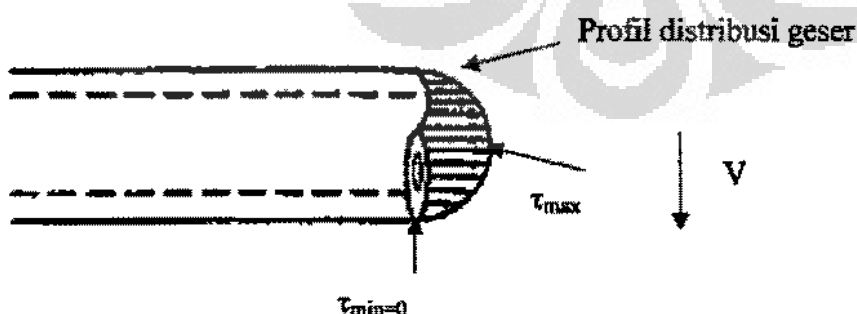
dimana,

$S_R$  = Tegangan radial disebabkan oleh tekanan (Psi)

Tegangan radial adalah "nol" pada radius luar pipa, dimana tegangan bending mencapai maksimum. Oleh karena alasan itulah, tegangan ini diabaikan selama perhitungan tegangan.

### 5. Tegangan Geser

Tegangan geser bekerja pada arah pararel terhadap bidang permukaan material dan cenderung menyebabkan bidang yang berdekatan/berbatasan mengalami 'slip' satu dengan yang lain. Tegangan geser mungkin disebabkan oleh lebih dari satu jenis beban. Sebagai contoh, tegangan geser disebabkan oleh gaya geser arah melintang.



Gambar 2.8. Tegangan Geser

$$\tau_{\max} = \frac{V \cdot Q}{A_m} \quad (17)$$

dimana,

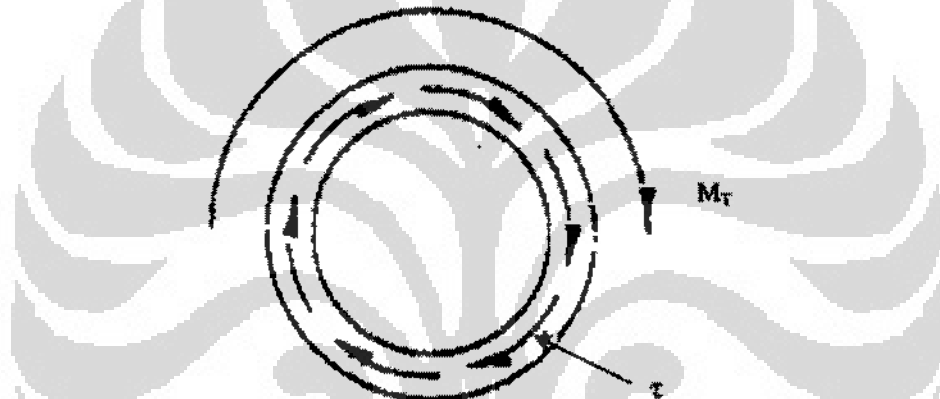
$\tau_{\max}$  = Tegangan geser maksimum (Psi)

V = Gaya geser (lb)

Q = Faktor geser bentuk (1,333 untuk *solid circular section*)

Tegangan geser ini terdistribusi maksimum pada sumbu netral pipa dan nol pada jarak maksimum dari sumbu netral. Oleh karena alasan inilah, tegangan geser yang disebabkan oleh gaya biasanya diabaikan selama analisis tegangan pipa.

Tegangan geser juga dapat disebabkan oleh beban torsi,



Gambar 2.9 Tegangan Geser Akibat Beban Torsi

$$\tau_{\max} = \frac{M_T \cdot c}{R} \quad (18)$$

dimana,

$M_T$  = Momen torsi internal yang bekerja pada arah melintang (in-lb)

c = Jarak dari pusat torsi (titik potong sumbu nerlal) (in)

R = *Torsional resistance* ( $\text{in}^4$ )

=  $2J$

$$= \frac{\pi(d_o^4 - d_i^4)}{32}$$

Tegangan torsi maksimum terjadi jika  $c$  maksimum atau dapat dikatakan bahwa tegangan torsi maksimum pada radius luar pipa :

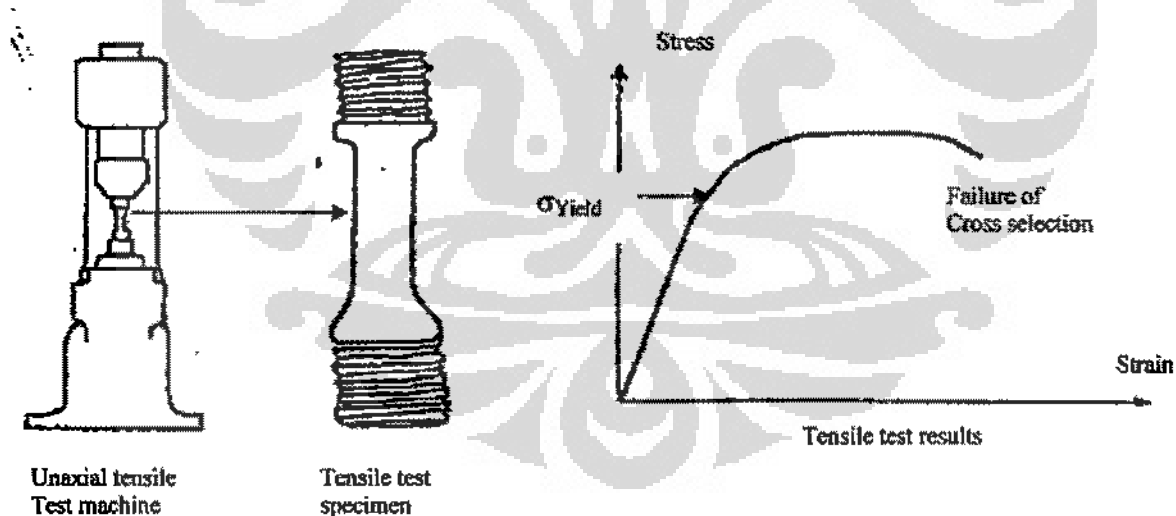
$$\begin{aligned}\tau_{\max} &= \frac{M_T R_o}{2J} \\ &= \frac{M_T}{2Z}\end{aligned}\quad (19)$$

Dengan menjumlahkan komponen-komponen tegangan geser, tegangan geser maksimum pada pipa adalah sebagai berikut :

$$\tau_{\max} = \frac{VQ}{A_w} + \frac{M_T}{2Z} \quad (20)$$

## II.6. Teori Kegagalan

Agar mempunyai kegunaan/arti, perhitungan tegangan-tegangan harus diperbandingkan dengan tegangan material yang diijinkan oleh yang digunakan. Tegangan-tegangan material yang diijinkan didasarkan pada kekuatan material yang ditentukan melalui *unaxial tensile test*. Oleh karena itu tegangan-tegangan yang diberitahukan harus dibandingkan dengan hasil tes tersebut.



Gambar 2.10. Uji Tegangan Tarik

Diamond dari Pipe Stress Analysis Seminar COADE (1988)

Menurut Pipe Stress Analysis Seminar COADE (1988), secara umum ada 3 teori yang digunakan untuk memprediksi secara awal dari kelulohan (*yield*) suatu material, yaitu ;

1. *Oktahedral Shear* atau Von Mises teori
2. *Maximum Shear* atau Tresca teori
3. *Maximum Stress* atau Rankine teori

#### A. Oktahedral Shear - Von Mises Teori

Kegagalan terjadi dalam suatu benda adalah sama dengan tegangan geser octahedral pada keluluan (*yield*) dalam *unaxial tension test*.

tegangan geser oktahedral dihitung dengan persamaan ;

$$\tau_{\text{oct}} = \frac{1}{3[(S_1 - S_2)^2 + (S_2 - S_3)^2 + (S_3 - S_1)^2]^{1/2}} \quad (21)$$

Pada *unaxial tensile test specimen* pada titik luluh;

$$S_1 = S_{\text{yield}}, S_2 = S_3 = 0$$

Oleh karena itu tegangan geser oktahedral pada *unaxial tensile test specimen* pada bagian yang mengalami kegagalan (*failure*) dapat dihitung dengan persamaan;

$$\begin{aligned} \tau_{\text{oct}} &= \frac{1}{3[(S_{\text{yield}} - 0)^2 + (0 - 0)^2 + (0 - S_{\text{yield}})^2]^{1/2}} \\ &= \frac{2^{1/2} S_{\text{yield}}}{3} \end{aligned} \quad (22)$$

Sehingga, teori Von Mises dapat ditulis sebagai berikut :

Deformasi plastis terjadi jika octahedral shear melebihi  $\frac{2^{1/2} S_{\text{yield}}}{3}$

#### B. Maximum Shear stress-Tresca Teori

Kegagalan terjadi ketika tegangan geser maksimum dalam sebuah benda sama dengan tegangan geser maksimum apda keluluan (*yield*) pada suatu *unaxial tension test*.

Tegangan geser maksimum dihitung dengan persamaan;

$$\tau_{\text{max}} = \frac{(S_1 - S_3)}{2} \quad (23)$$

dengan,

$$S_1 = S_{\text{yield}} ; S_2 = S_3 = 0$$

Sehingga,

$$\begin{aligned}\tau_{\max} &= \frac{(S_{yield} - 0)}{2} \\ &= \frac{S_{yield}}{2}\end{aligned}\quad (24)$$

Sehingga, teori Tresca dapat ditulis sebagai berikut :

Deformasi plastis terjadi jika tegangan shear melebihi  $\frac{S_{yield}}{2}$

### C. Maximum Stress atau Rankine teori

Kegagalan terjadi ketika tegangan geser maksimum dalam sebuah benda sama dengan tegangan geser maksimum pada kelulohan (*yield*) pada suatu *unaxial tension test*.

Tegangan tarik maksimum adalah yang terbesar, tegangan positif,  $S_1$  ( $S_1$  selalu sebagai tegangan terbesar).

Dalam suatu *unaxial tensile test specimen*, pada titik luluh;

$$S_1 = S_{yield}; S_2 = S_3 = 0 \quad (25)$$

Sehingga, teori Rankine dapat ditulis sebagai berikut :

Deformasi plastis terjadi jika oktahedral shear melebihi  $S_{yield}$

### II.7. Kavitas

Kavitas adalah peristiwa terbentuknya gelembung-gelembung uap didalam cairan yang dipompa akibat turunnya tekanan cairan sampai di bawah tekanan uap jenuh cairan pada suhu operasi pompa. Gelembung uap yang terbentuk dalam proses ini mempunyai siklus yang sangat singkat. Knapp (Karassik dkk, 1976) menemukan bahwa mulai terbentuknya gelembung sampai gelembung pecah hanya memerlukan waktu sekitar 0,003 detik. Gelembung ini akan terbawa aliran fluida sampai akhirnya berada pada daerah yang mempunyai tekanan lebih besar daripada tekanan uap jenuh cairan. Pada daerah tersebut gelembung tersebut akan pecah dan akan menyebabkan *shock* pada

dinding di dekatnya. Cairan akan masuk secara tiba-tiba ke ruangan yang terbentuk akibat pecahnya gelembung uap tadi sehingga mengakibatkan tumbukan. Peristiwa ini akan menyebabkan terjadinya kerusakan mekanis pada pompa.

Satu gelembung memang hanya akan mengakibatkan bekas kecil pada dinding namun bila hal itu terjadi berulang-ulang maka bisa mengakibatkan terbentuknya lubang-lubang kecil pada dinding. Bahkan semua material bisa rusak oleh kavitas i bila dibiarkan terjadi dalam jangka waktu yang lama. Adanya benda asing yang masuk ke dalam pompa akan lebih memperparah kerusakan sebab akan menyebabkan erosi pada dinding impeler. Bagian dari pompa sentrifugal yang paling rawan terkena kavitas i adalah sisi impeler dekat sisi isap yang bertekanan rendah juga tutup impeler bagian depan yang berhubungan dengan sisi isap. Hammit (Karassik dkk, 1976) menemukan hubungan yang rumit antara kecepatan aliran dengan kerusakan pada pompa akibat kavitas i. Kerusakan tersebut akan meningkat seiring dengan kenaikan kecepatan aliran.

### **II.7.1. Pengaruh Kavitas i**

Akibat yang ditimbulkan oleh peristiwa kavitas i sangatlah merugikan. Hal-hal yang diakibatkan oleh kavitas i antara lain :

1. Terjadinya suara berisik dan getaran (*noise and vibration*).
2. Terbentuknya lubang-lubang kecil pada dinding pipa.

### **II.7.2. Indeks Kavitas i**

Salah satu indikator yang menggambarkan terjadinya kavitas i adalah kavitas i indeks (cavitation index). Menurut James G. Peck (1963) indeks kavitas i dapat dihitung menggunakan rumus sebagai berikut :

$$\sigma = \frac{P_2 - P_v}{P_1 - P_2} \quad (26)$$

dimana,

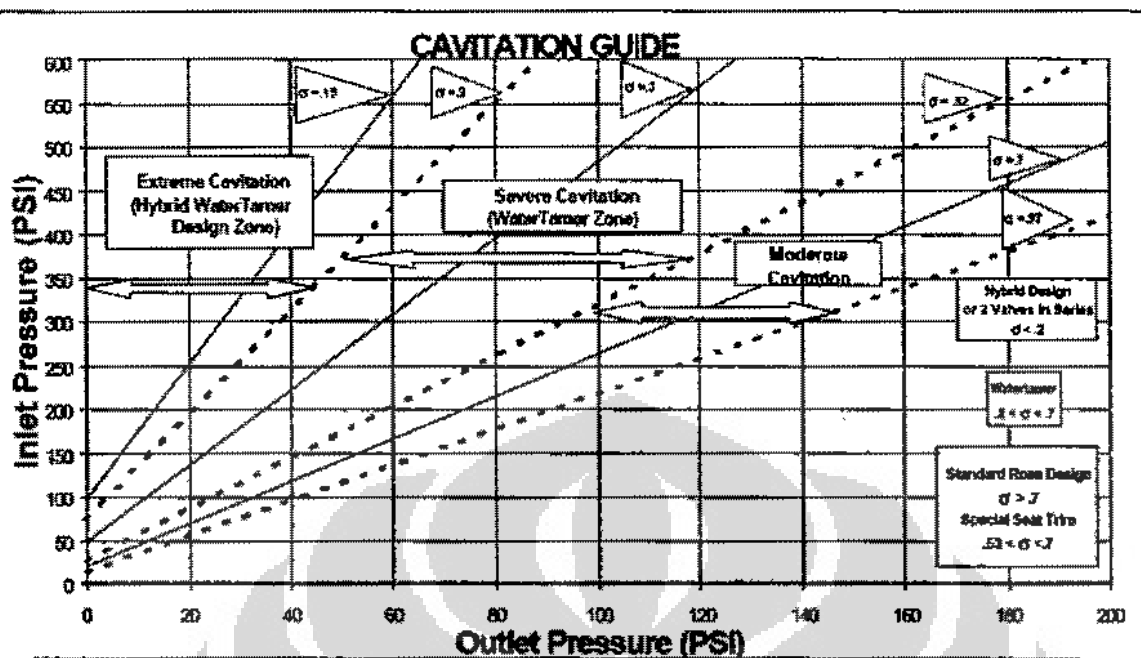
$\sigma$  = indeks kavitas i (cavitation index)

$P_1$  = Inlet pressure (psi)

$P_2$  = Outlet pressure (psi)

$P_v$  = Vapor pressure (psi)

Indeks kavitas i yang diperoleh kemudian dimasukkan kedalam cavitation guide curve dibawah ini,



Gambar 2.11. Cavitation Guide Curve

Diambil dari <http://www.google.co.id/cavitation index/>

## II.8. Teori Sekilas Tentang CFD (*Computational Fluid Dynamic*)

### II.7.1. Sekilas Tentang CFD

Menurut Versteeg and Malalasekera *computational fluid dynamic* (CFD) merupakan metode analisa numerik dengan memanfaatkan komputer untuk menghasilkan informasi (prediksi) pola aliran fluida pada kondisi waktu dan ruang tertentu. Dengan menggunakan CFD, prediksi aliran fluida di berbagai sistem (*design*) dapat dilakukan dengan lebih efektif dan efisien dibandingkan bila design tersebut langsung diaplikasikan dengan metode eksperimen. Hasil prediksi aliran fluida menggunakan CFD juga lebih lengkap dibandingkan metode eksperimen yang terbatas masalah biaya, ketersedian, kepresisan, keakurasiannya alat ukur, dan metode yang benar.

CFD mencakup berbagai disiplin ilmu termasuk matematika, ilmu komputer fisika, dan teknik. Untuk membuat CFD dibutuhkan suatu pemahaman tentang dinamika fluida. Karena kompleksnya permasalahan aliran fluida, maka untuk memahami pergerakan fluida terlebih dahulu harus memahami sifat-sifat aliran fluida tersebut. Didalam literatur mekanika fluida umumnya aliran fluida dikategorikan sebagai berikut :

- Aliran *Viskos* dan *Inviscid*
- Aliran *Compressible* dan *Incompressible*
- Aliran Laminer dan Turbulen

Selain kategori tersebut beberapa kondisi khusus seperti dalam pipa, pompa dan turbin juga menjadi perhatian didalam pembuatan CFD. Pengklasifikasian aliran fluida ini menjadi sangat penting dan menjadi dasar untuk memahami pergerakan fluida sebagai upaya untuk membuat sebuah prediksi aliran fluida dengan menggunakan komputer. Sehingga sangat memungkinkan apabila hasil simulasi aliran fluida dengan menggunakan CFD tidak sesuai dengan kenyataan.

Aliran fluida dapat dideskripsikan dengan banyak cara. Salah satu cara yang dapat memberikan gambaran secara jelas adalah dengan menjabarkan kecepatan fluida pada tiap-tiap titik didalam ruang dan waktu. Namun demikian, kecepatan fluida saja tidak cukup untuk mendeskripsikan suatu situasi aliran fluida, properti fluida seperti viskositas, kerapatan, tegangan geser dan tekanan juga harus diketahui untuk memberikan gambaran yang lengkap tentang suatu aliran fluida. Pada intinya CFD melakukan kalkulasi terhadap properti fluida tersebut dan apabila hal itu ingin dilakukan maka hubungan matematis yang mengatur interaksi antara properti fluida dengan kecepatan aliran harus ditentukan.

Untuk memprediksi aliran fluida pada kondisi tertentu, sebuah program CFD harus dapat menyelesaikan persamaan yang mengatur aliran fluida. Sehingga pemahaman tentang sifat-sifat dasar aliran yang harus dimodelkan dan pemahaman tentang persamaan yang mengatur aliran fluida sangat penting. Persamaan dasar/pengatur (*Governing Equation*) ini dibangun dari suatu model aliran fluida berdasarkan hukum kekekalan massa dan hukum kekekalan momentum (persamaan Navier-Stokes). Apabila properti lain seperti temperatur juga ingin diketahui maka persamaan dasar/pengatur lain yang berdasarkan hukum kekekalan energi harus ditentukan. Untuk kasus-kasus tertentu seperti pada aliran turbulen, persamaan lain yang memodelkan aliran turbulen juga harus ditentukan.

Persamaan pengatur aliran fluida adalah persamaan diferensial parsial. Komputer digital tidak dapat digunakan untuk menyelesaikan persamaan tersebut secara langsung. Oleh karena itu, persamaan diferensial parsial harus diubah menjadi suatu persamaan yang mengandung operasi-operasi matematika yang sederhana yaitu penambahan,

pengurangan, perkalian dan pembagian. Proses transformasi persamaan diferensial menjadi operasi matematika yang lebih sederhana disebut dengan proses diskritisasi. Pada proses diskritisasi persamaan diferensial parsial harus diterjemahkan menjadi analogi numerisnya sehingga dapat dikalkulasi oleh komputer. Secara visual, diskritisasi ditampilkan dalam bentuk grid yang memiliki luas atau volume yang terhingga. Grid memiliki titik-titik dalam ruang yang ditempati fluida dimana informasi mengenai propertinya dapat ditampilkan. Ada beberapa teknik diskritisasi yang sering digunakan dan masing-masing berdasarkan prinsip yang berbeda. Beberapa teknik diskritisasi tersebut misalnya adalah :

- Metode beda hingga (*Finite Difference Method*)
- Metode elemen hingga (*Finite Element Method*)
- Metode volume hingga (*Finite Volume Method*)

Ketika menyelesaikan persamaan diferensial parsial, kondisi batas (*boundary condition*) dan nilai awal (*initial point*) yang menentukan solusi akhirnya. Penentuan kondisi batas bagi persamaan diferensial parsial tergantung kepada persamaan itu sendiri dan cara persamaan tersebut didiskritisasi. Nilai-nilai seperti kecepatan, tekanan, dan variabel turbulensi harus ditentukan pada kondisi batas. Selain itu jenis kondisi batas seperti dinding (*wall*), inlet dan outlet juga harus ditentukan sebagai acuan untuk menyelesaikan persamaan diferensial parsial.

#### Karakteristik Grid

Dalam mensimulasikan suatu aliran fluida, jenis grid yang digunakan menjadi suatu hal yang sangat diperhatikan. Kompleksitas domain aliran, ketersediaan program solver dan numerical diffusion (suatu kesalahan ketersediaan diskritisasi yang dapat timbul apabila grid tidak sejajar dengan arah aliran) menjadi pertimbangan dalam penentuan jenis grid yang akan digunakan.

Secara umum grid dapat diklasifikasikan dari bentuk satuan terkecil penyusun grid (sub-domain) di seluruh domain aliran. Bentuk-bentuk sub-domain tersebut adalah :

- Quadrilateral, berbentuk segiempat dan digunakan pada domain dua dimensi.
- Trilateral, berbentuk segitiga dan digunakan pada domain dua dimensi.
- Tetrahedral, berbentuk limas dengan keseluruhan sisinya berbentuk segitiga dan digunakan pada domain tiga dimensi.

- Hexahedral, berentuk balok dan digunakan pada domain tiga dimensi.
- Hybrid, merupakan gabungan dari sub-domain quadrilateral dan trilateral.

Selain bentuknya, sifat-sifat grid juga menentukan jenis solver yang dapat digunakan untuk simulasi aliran fluida. Sifat-sifat tersebut adalah :

- Grid terstruktur, yaitu grid jenis quadrilateral atau hexahedral yang disusun dalam array  $I \times J$  (2D) atau  $I \times J \times K$  (3d). Domain aliran yang digunakan grid terstruktur dapat dibayangkan sebagai sebuah segiempat (2D) atau sebuah balok (3D) yang dapat ditekuk, diputar, dimiringkan dan dipilin sepanjang acuan  $I$  dan  $IJK$  tetap terjaga.
- Grid tidak terstruktur, yaitu jenis grid trilateral atau tetrahedral.



## BAB III

### SIMULASI NUMERIS

#### III.1. Spesifikasi LP Evaporator

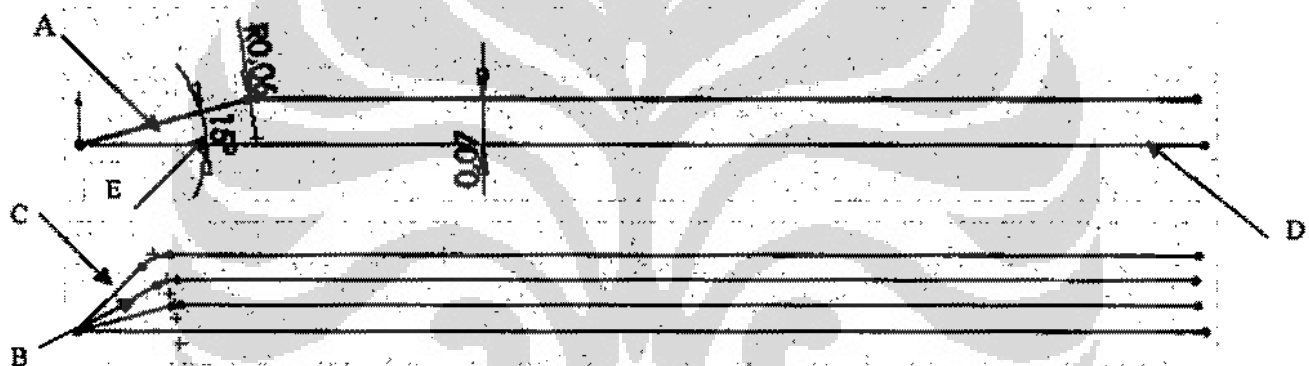
##### III.1.1. Parameter Geometri



Gambar 3.1. LP Evaporator

Untuk mempermudah dalam proses simulasi, maka geometri LP Evaporator dibagi menjadi tiga bagian, yaitu :

###### 1. Inlet Evaporator

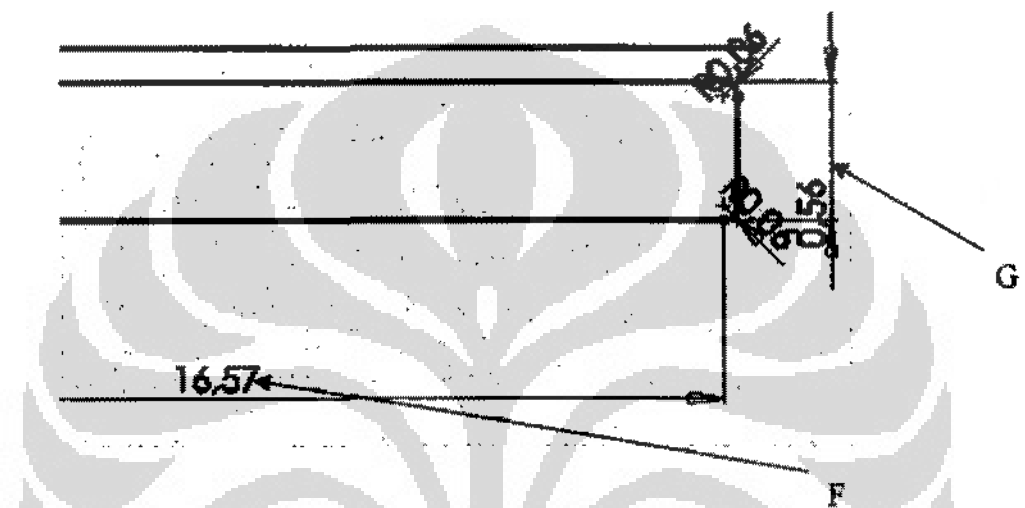


Gambar 3.2 Dimensi Inlet Evaporator

- Diameter header : 219,1 mm
- Tebal diameter header : 10 mm
- Diameter pipa : 31,8 mm
- Tebal diameter : 2,6 mm
- Panjang A : 155 mm
- Panjang B : 156,4 mm
- Panjang C : 164,6 mm
- Panjang D : 1700 mm
- Sudut E : 15°
- Radius elbow : 60 mm
- Jarak antar pipa : 70 mm

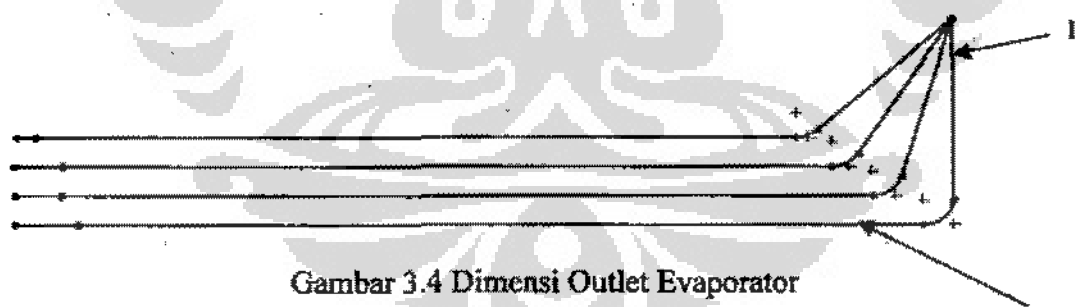
## 2. Pipa Spiral

- Diameter pipa : 31,8 mm
- Tebal diameter pipa : 2,6 mm
- Jarak antar pipa : 70 mm
- Panjang F : 16570 mm
- Panjang G : 560 mm
- Radius Elbow : 60 mm



Gambar 3.3. Dimensi Pipa Spiral

## 3. Outlet Evaporator



Gambar 3.4 Dimensi Outlet Evaporator

- Diameter pipa : 31,8 mm
- Tebal diameter pipa : 2,6 mm
- Jarak antar pipa : 70 mm
- Panjang H : 1700 mm
- Sudut I : 15°
- Radius elbow : 60 mm

### III.1.2. Parameter Proses / Operasional

- Bahan bakar turbin : Gas alam
- Luas Penampang masuk Gas buang
  - a. Sisi Inlet :  $0,342 \text{ m}^2$
  - b. Sisi Spiral :  $1,071 \text{ m}^2$
  - c. Sisi Outlet :  $0,308 \text{ m}^2$
- Debit aliran gas buang
  - a. Sisi Inlet :  $0,980 \text{ kg/s}$
  - b. Sisi Spiral :  $3,085 \text{ kg/s}$
  - c. Sisi Outlet :  $0,880 \text{ kg/s}$
- Temperatur gas buang masuk LP Evaporator :  $507 \text{ }^\circ\text{C}$
- Temperatur ambient :  $30 \text{ }^\circ\text{C}$
- Temperatur air masuk :  $160 \text{ }^\circ\text{C}$
- Tekanan air masuk : 10 bar
- Debit air tiap pipa :  $0,043 \text{ kg/s}$
- Material pipa : St 35.8/I (ASTM 240)

Tabel 1. Material Properties ASTM 240

| Properties                | Nilai                 |
|---------------------------|-----------------------|
| Yield Strength            | 170 psi               |
| Ultimate Tensile Strength | 70000 psi             |
| Density                   | $8027 \text{ g/cm}^3$ |

### III.2. Proses Simulasi

#### III.2.1. Simulasi EFD

Proses simulasi EFD bertujuan untuk mengetahui nilai tekanan dan temperatur terutama pada daerah elbow LP evaporator. Pada simulasi ini pipa LP evaporator dibagi menjadi 3 bagian/proses, yaitu :

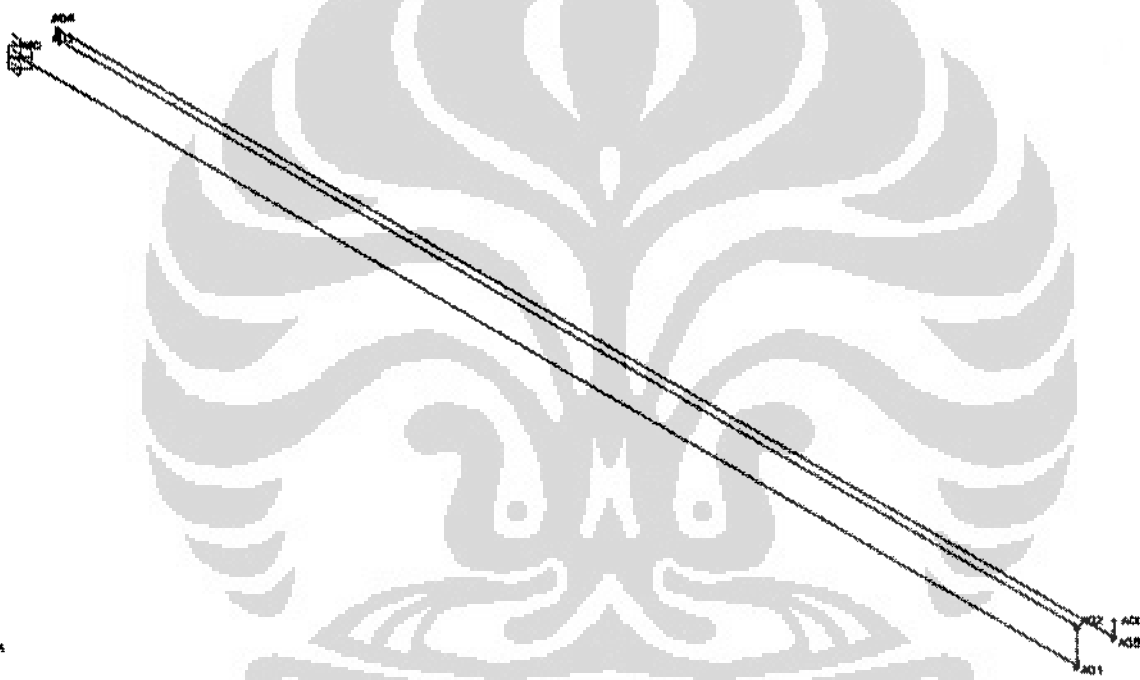
- A. Proses Simulasi Pada Sisi Inlet LP Evaporator
- B. Proses Simulasi Pada Sisi Spiral LP Evaporator

### C. Proses Simulasi Pada Sisi Outlet LP Evaporator

Proses simulasi dari ketiga proses diatas sama. Artinya temperatur keluaran dari simulasi A digunakan sebagai temperatur masukan simulasi B dan temperatur keluaran simulasi B digunakan sebagai temperatur masukan simulasi C. Parameter gas buang (debit, tekanan dan temperatur) dari ketiga simulasi diatas juga sama. Yang membedakan dari ketiga simulasi diatas hanyalah luas penampang masuk gas buang.

#### III.2.2. Simulasi AutoPIPE

Proses simulasi dengan AutoPIPE ini bertujuan untuk memeriksa tegangan-tegangan yang terjadi pada pipa LP evaporator, seperti tegangan kontinyu (*sustained loads*) dan tegangan akibat termal expansion.



Gambar 3.5 Pemodelan AutoPIPE

Proses simulasi EFD dan AutoPIPE dapat dilihat pada halaman lampiran.

## BAB IV

### ANALISA HASIL SIMULASI NUMERIS

#### IV.1. Hasil Simulasi EFD

##### IV.1.1 Hasil Simulasi Sisi Inlet



Gambar 4.1. Temperatur Sisi Inlet

Diambil dari program EFD

Dari simulasi yang dilakukan pada sisi inlet evaporator didapatkan parameter sebagai berikut :

a. Temperatur

- Pipa 1 ( $T_1$ ) : 445 K
- Pipa 2 ( $T_2$ ) : 442,5 K
- Pipa 3 ( $T_3$ ) : 442,2 K
- Pipa 4 ( $T_4$ ) : 442 K

b. Tekanan

- Pipa 1 ( $P_1$ ) : 1012200 Pa
- Pipa 2 ( $P_2$ ) : 1011910 Pa
- Pipa 3 ( $P_3$ ) : 1011790 Pa
- Pipa 4 ( $P_4$ ) : 1011760 Pa

##### IV.1.2. Hasil Simulasi Pipa Spiral



Gambar 4.2 Temperatur Pipa Spiral

Diambil dari program EFD

Dari simulasi yang dilakukan pada sisi pipa spiral didapatkan parameter sebagai berikut :

a. Temperatur

- Pipa 1 ( $T_1$ ) : 513 K
- Pipa 2 ( $T_2$ ) : 512 K
- Pipa 3 ( $T_3$ ) : 509,5 K
- Pipa 4 ( $T_4$ ) : 507,6 K

b. Tekanan

- Pipa 1 ( $P_1$ ) : 953000 Pa
- Pipa 2 ( $P_2$ ) : 950000 Pa
- Pipa 3 ( $P_3$ ) : 937000 Pa
- Pipa 4 ( $P_4$ ) : 916000 Pa

#### IV.1.3. Hasil Simulasi Sisi Outlet

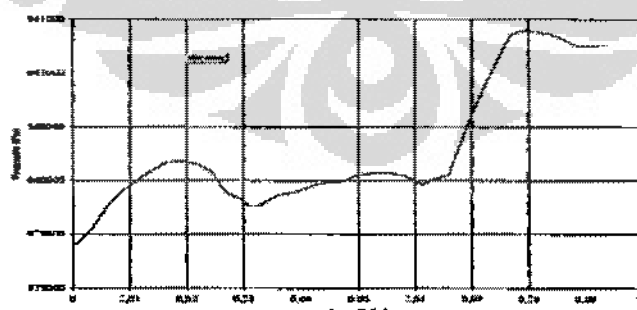


Gambar 4.3 Kecepatan Arah Z

Diambil dari program EFD

Dari simulasi yang dilakukan pada sisi outlet evaporator didapatkan parameter sebagai berikut :

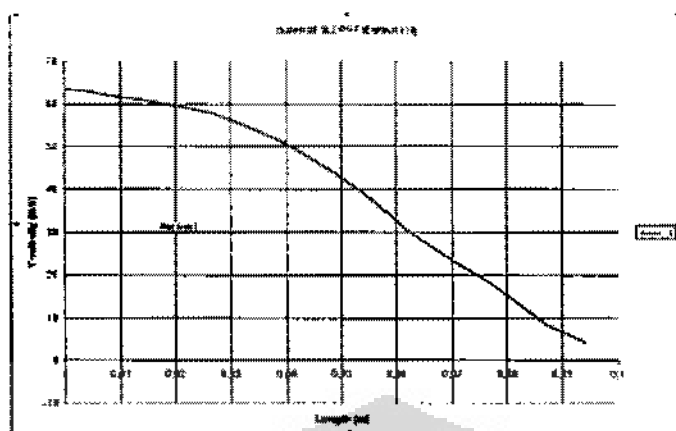
- a. Temperatur daerah elbow : 512,2 K
- b. Tekanan daerah elbow : 939400 – 941400 Pa



Gambar 4.4 Grafik Perubahan Tekanan Sepanjang Elbow

Diambil dari program EFD

c. Kecepatan daerah elbow : 64 – 7 (m/s)



Gambar 4.5 Grafik Perubahan Y-Kecepatan Sepanjang Elbow

Diamond dari program EFD

Dari hasil simulasi menggunakan EFD, diperoleh parameter-parameter yang menunjukkan karakteristik dari aliran dalam elbow lp evaporator. Parameter-parameter tersebut adalah :

1. Tekanan

Terjadinya penurunan tekanan (*pressure drop*) pada LP evaporator. Tekanan masuk masuk header inter LP evaporator sebesar 1013250 Pa dan tekanan keluar header outlet LP evaporator sebesar 937700 Pa. Jadi penurunan tekanan yang terjadi sebesar 75550 Pa.

2. Temperatur

Terjadinya kenaikan temperatur fluida sepanjang pipa LP evaporator. Hal ini terjadi karena proses perpindahan panas dari panas gas buang menuju air didalam pipa.

3. Kecepatan

Kecepatan fluida, khususnya pada daerah elbow, mengalami penurunan. Kecepatan fluida masuk daerah elbow sebesar 64 m/s dan keluar elbow sebesar 7 m/s. Penurunan ini diakibatkan karena hampir seluruh head kecepatan yang ada diubah menjadi head tekanan.

Untuk menunjukkan kekuatan material elbow dalam menahan temperatur operasi lp evaporator, maka diperlukan pemeriksaan terhadap kekuatan material dalam menahan

tegangan termal. Tegangan termal dapat diketahui dengan menggunakan software yang khusus untuk perpipaan, yaitu AutoPIPE.

#### IV.2. Hasil Simulasi AutoPIPE

##### 1. Analisa perpindahan (*displacement*) karena beban termal

Menurut Beer (1987), perpindahan (*displacement*) akibat beban termal dapat dihitung dengan persamaan :

$$\delta_T = \alpha \cdot \Delta T \cdot L$$

dimana,

$\delta_T$  : Perpindahan akibat beban termal

$\alpha$  : Koefisien pengembangan termal

$\Delta T$  : Perubahan temperatur

L : Panjang benda

sehingga,

$$\begin{aligned}\delta_T &= \alpha \cdot \Delta T \cdot L \\ &= 10,8 \cdot 10^{-6} \cdot (239-30) \cdot 0,0159 \\ &= 10,8 \cdot 10^{-6} \cdot 209 \cdot 0,0159 \\ &= 35,8 \cdot 10^{-6} \text{ m} \\ \delta_T &= 35,8 \cdot 10^{-3} \text{ mm} \\ &= 0,035 \text{ mm}\end{aligned}$$

Sedangkan dari hasil simulasi dengan AutoPIPE didapatkan bahwa displacement elbow pada temperatur 239 °C adalah sebesar 0 mm.

##### 2. Tegangan yang disebabkan oleh beban kontinyu (*sustained loads*)

Menurut persamaan (4), tegangan yang diakibatkan oleh beban kontinyu adalah;

$$S_L = \frac{P \cdot D_o}{4t} + \frac{0,75 I \cdot M_A}{Z} \leq 1,0 S_u$$

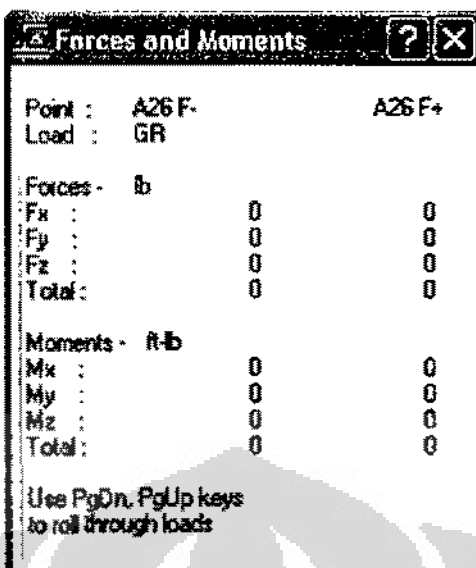
Dengan

P : 138,03 Psi

$D_o$  : 1,25 in

t : 0,10 in

$M_A$  : 0 in-lb



Gambar 4.6. Nilai Gaya dan Momen Sistem  
Diambil dari program AutoPIPE

$$\begin{aligned} Z &: \frac{I_p}{c} = \frac{\pi c^3}{2} \\ &= \frac{\pi \cdot (0,625)^3}{2} \\ &= 0,384 \text{ in}^3 \end{aligned}$$

$$i : \frac{0,9}{h^{2/3}}$$

Dimana

$$\begin{aligned} h &= \frac{3,8r}{r} \\ &= \frac{3,8 \cdot 0,1}{0,625} \\ &= 0,608 \end{aligned}$$

Sehingga

$$\begin{aligned} i &= \frac{0,9}{(0,608)^{2/3}} \\ &= 1,25 \end{aligned}$$

$$S_L = \frac{P.D_o}{4t} + \frac{0,75.i.M_A}{Z} \leq 1,0S_h$$

$$= \frac{(138).(1,25)}{4,0,1} + \frac{0,75.(1,25).(0)}{0,384}$$

$$= 431,25$$

$$= 431,25 \text{ Psi}$$

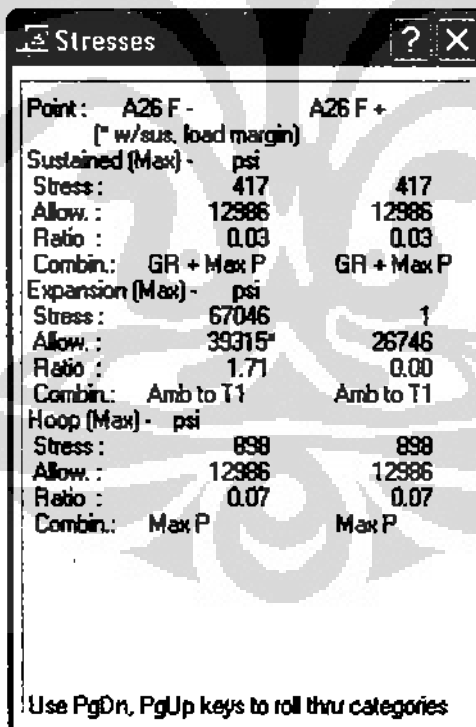
Sedangkan tegangan material yang diijinkan adalah sebesar 515 Mpa ( 75000 Psi)

Sehingga didapatkan persamaan;

$$S_L = \frac{P.D_o}{4t} + \frac{0,75.i.M_A}{Z} \leq 1,0S_h$$

$$431,25 \text{ Psi} \leq 75000 \text{ Psi}$$

Sedangkan tegangan akibat sustained loads didapatkan nilai  $S_L = 417$  Psi. Ini berarti tidak terjadi perbedaan yang cukup besar antara perhitungan manual dan perhitungan menggunakan AutoPIPE. Selisih sebesar 14 Psi dikarenakan pada perhitungan menggunakan AutoPIPE tidak diperhitungkan beban karena tekanan.



Gambar 4.7. Code Stress Hasil Perhitungan

Diambil dari program AutoPIPE

Jadi dari hasil diatas, diketahui bahwa material pipa tidak mengalami tegangan akibat beban kontinyu.

### 3. Tegangan akibat adanya termal ekspansion

Menurut persamaan (6), tegangan yang diakibatkan *thermal ekspansion* adalah;

$$\frac{iM_c}{Z} \leq S_A + f(S_h - S_L)$$

$$S_A = f(1,25 S_C + 0,25 S_h)$$

Dengan;

$$f = 1$$

$$S_C = 116,52 \text{ Mpa (17125,5 Psi)}$$

$$S_h = 75000 \text{ Psi}$$

$$\text{Jadi, } S_A = 1[1,25(17125,5) + 0,25(75000)]$$

$$= 21406,875 + 18750$$

$$= 40156,875 \text{ Psi}$$

$$M_c = 366 \text{ ft-lb} = 4392 \text{ in.lb}$$

| Forces and Moments                           |        |        |
|--|--------|--------|
| Point :                                      | A26 F- | A26 F+ |
| Load :                                       | T1     |        |
| Forces - lb                                  |        |        |
| Fx :   | 10724  | 0      |
| Fy :   | 10724  | 35853  |
| Fz :   | 0      | 0      |
| Total:                                       | 15165  | 35853  |
| Moments - ft-lb                              |        |        |
| Mx :   | 0      | 0      |
| My :   | 0      | 0      |
| Mz :   | 366    | 0      |
| Total:                                       | 366    | 0      |
| Use PgDn, PgUp keys<br>to roll through loads |        |        |

Gambar 4.8. Nilai Gaya dan Momen Akibat Termal

Diamond dari program AutoPIPE

Sehingga;

$$\frac{iM_c}{Z} \leq S_A + f(S_h - S_L)$$

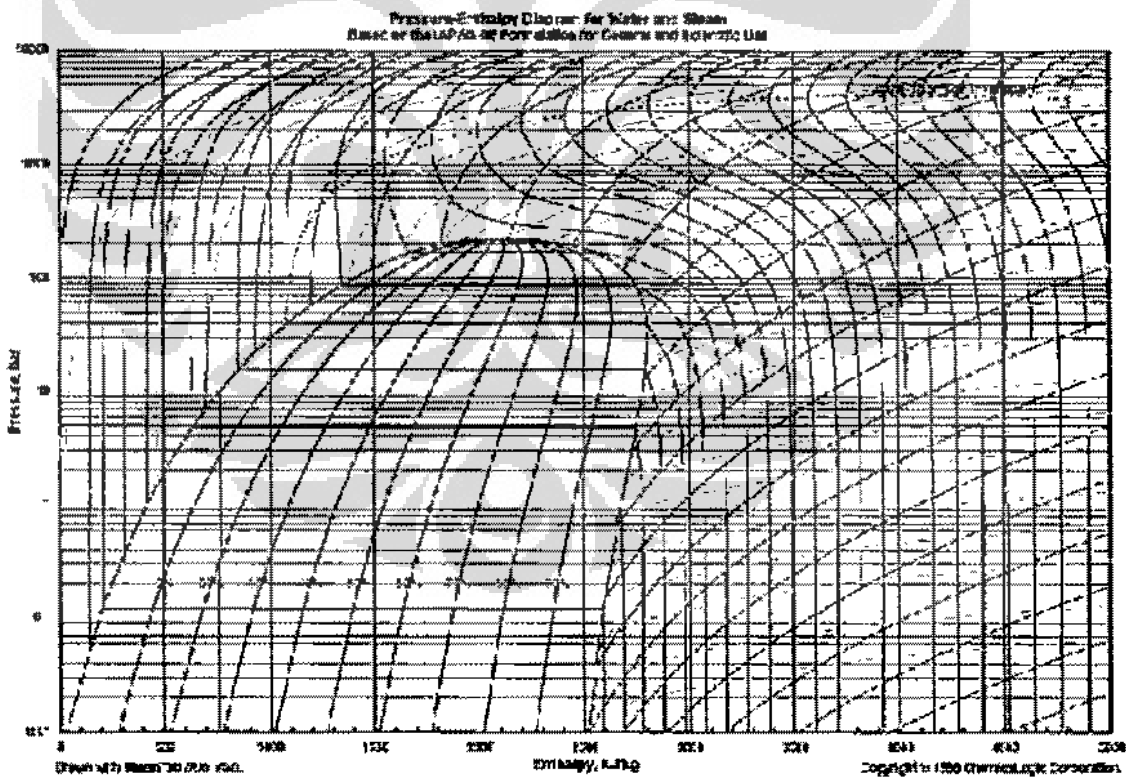
$$\frac{1,25.4392}{0,384} \dots 40156,875 + 1(75000 - 841,406)$$

$$14296,87 \text{ Psi} \leq 114314,6 \text{ Psi}$$

Jadi, dari hasil diatas diperoleh kesimpulan bahwa sistem perpipaan LP Evaporator tidak mengalami tegangan yang diakibatkan oleh pemanasan termal (*thermal expansion*). Hal ini dapat dibuktikan bahwa tegangan yang terjadi pada material yang dikarenakan beban termal masih dibawah tegangan yang diijinkan dari material tersebut.

#### IV.3. Analisis Kavitas

Dari hasil analisis diatas dapat disimpulkan bahwa sistem perpipaan pada lp evaporator tidak mengalami tegangan-tegangan yang melebihi batas dari kemampuan material. Artinya kebocoran yang terjadi tidak disebabkan karena faktor material pipa. Untuk itu dilakukan analisis pada terjadinya perubahan wujud dari air. Hal ini dikarenakan sesuai dengan fungsi evaporator adalah untuk mengubah wujud air menjadi uap. Langkah awal untuk mengetahui apakah terjadi perubahan fase air menjadi uap, maka dilakukan pengecekan pada diagram Mollier sebagai berikut :



Gambar 4.9. Diagram Mollier

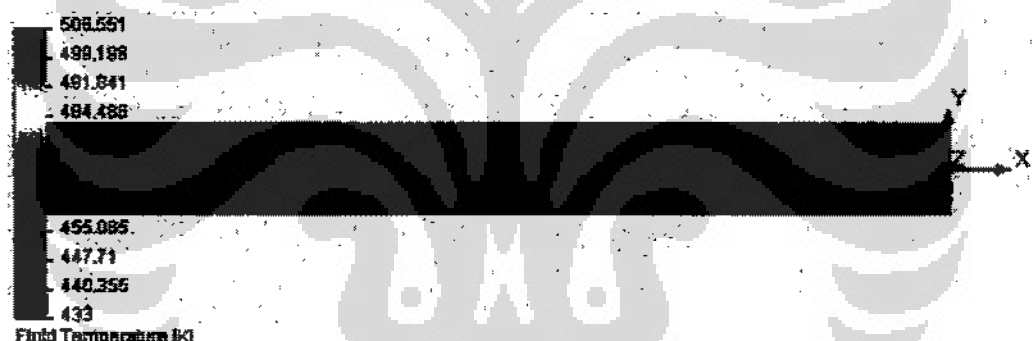
Diamond dari handbook pelatihan pengoperasian HRSG oleh PLN

Dari diagram Mollier terlihat bahwa pada tekanan 10 bar dan temperatur 176 °C ( $h_f = 748 \text{ kJ/kg}$ ), mulai terjadi perubahan fasa. Adanya perubahan fasa ini, diduga menjadi dasar terjadinya peristiwa kavitas yang menyebabkan terjadinya kebocoran pada elbow lp evaporator.

Selain menggunakan diagram Mollier, fenomena kavitas dapat dilihat dengan menggunakan simulasi EFD. Dengan memasukkan flow karakteristik kavitas pada general setting di software EFD, maka EFD akan melakukan simulasi aliran multifase yang menunjukkan adanya fenomena kavitas. Parameter-parameter yang diamati pada aliran multifase adalah :

- Temperatur fluida kerja

Dari hasil simulasi terlihat bahwa terjadi kenaikan temperatur terutama pada bagian dinding akibat perpindahan panas dari dinding pipa menuju fluida kerja dalam pipa.



Gambar 4.10. Distribusi Temperatur Fluida

Diamond dari program EFD

- Densitas fluida

Densitas fluida kerja menurun pada sisi dinding pipa. Hal ini dikarenakan temperatur dinding yang tinggi akan menurunkan kerapatan fluida kerja. Ini artinya terjadi perubahan fasa dari fasa cair menjadi fasa uap.

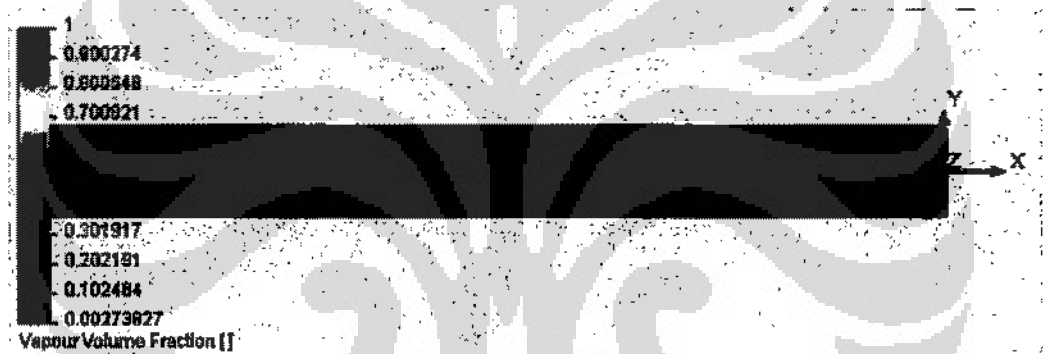


Gambar 4.11. Distribusi Densitas Fluida Kerja

Diambil dari program EFD

- Fraksi volume uap

Terbentuknya fraksi uap ini semakin mempertegas terjadinya perubahan fasa dari fasa cair menjadi fasa uap. Hal ini sebagai indikator terjadinya peristiwa cavitasi pada pipa evaporator.

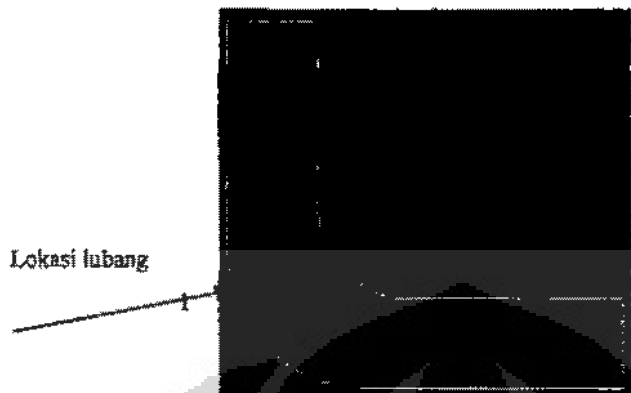


Gambar 4.12. Distribusi Volume Fraksi Uap

Diambil dari program EFD

Kavitas adalah peristiwa terbentuknya gelembung-gelembung uap didalam cairan yang dipompa akibat turunnya tekanan cairan sampai di bawah tekanan uap jenuh cairan pada suhu operasi pompa. Dari data sebelumnya didapatkan bahwa tekanan fluida mengalami penurunan sepanjang pipa. Penurunan tekanan ini mengakibatkan terbentuknya gelembung uap. Gelembung uap ini akan terbawa oleh aliran fluida sampai akhirnya berada pada daerah yang mempunyai tekanan lebih besar, dan akhirnya pecah. Tekanan sepanjang pipa evaporator mengalami penurunan, kecuali pada daerah elbow. Pada daerah elbow ini (titik 1) tekanan fluida mengalami kenaikan. Sehingga gelembung-gelembung tersebut akan pecah dan akan menyebabkan shock pada dinding didekatnya. Cairan akan masuk secara tiba-tiba ke ruangan yang terbentuk akibat pecahnya

gelembung uap tadi sehingga mengakibatkan tumbukan. Satu gelembung memang hanya akan mengakibatkan bekas kecil pada dinding namun bila hal itu terjadi berulang-ulang maka bisa mengakibatkan terbentuknya lubang-lubang kecil pada dinding.



Gambar 4.13. Lokasi Kebocoran

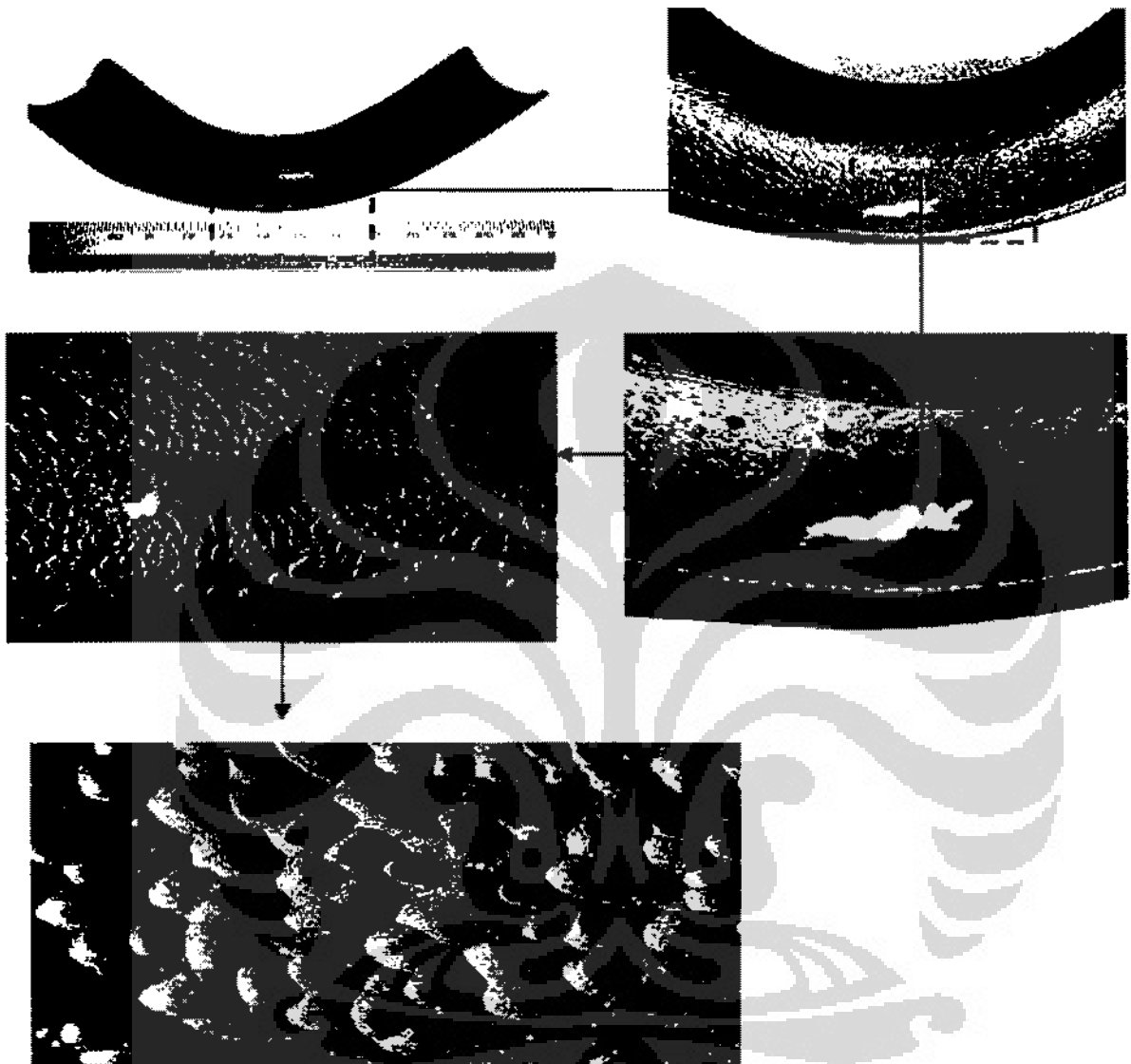
Kavitas juga dapat dipertimbangkan dengan menggunakan indeks kavitas seperti yang ditampilkan pada gambar 2.11. Indeks kavitas yang diperoleh kemudian dimasukkan kedalam cavitation guide curve,

$$\sigma = \frac{138 - 133}{147 - 138} \\ = 0,55$$

Dari gambar 2.11, diperoleh data bahwa terjadi moderate cavitation yang menyebabkan kebocoran pada elbow lp evaporator.

Hasil simulasi dengan EFD menunjukkan kesesuaian dengan analisa/pengujian mikro dan makro yang sudah dilakukan oleh PT. EMPU AGUNG SAKTI. Dari pengujian makroskopik menggunakan mikroskop stereo yang dilakukan oleh PT. EMPU AGUNG SAKTI menunjukkan bahwa kerusakan disisi dalam pipa berbentuk rumah atau sarang tawon (*honeycomb*), yang umumnya kerusakan tersebut disebabkan oleh kavitasi (*cavitation damage*). PT. EMPU AGUNG SAKTI juga menyimpulkan bahwa faktor erosi dari sisi luar pipa tidak signifikan.

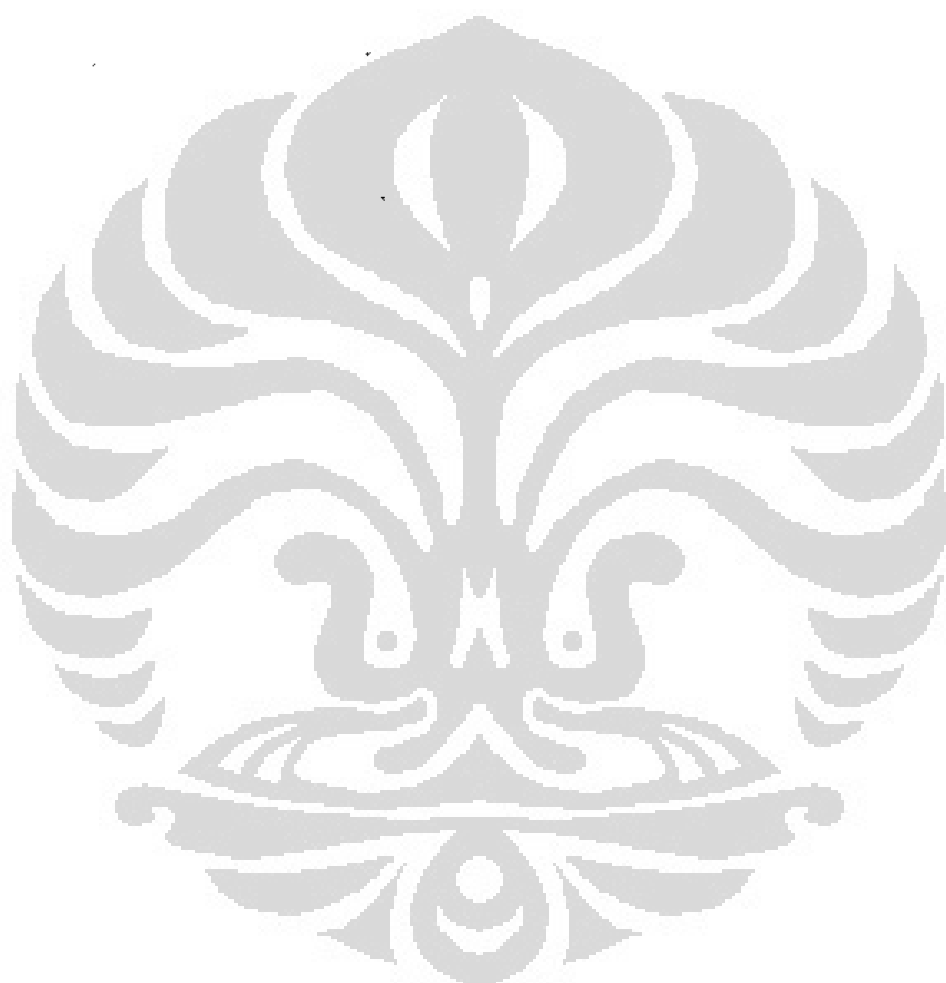
Berikut akan ditampilkan hasil pengujian makroskopik permukaan elbow tube pipa LP evaporator terutama disekitar daerah yang berlubang atau dibagian daerah yang mengalami penipisan :



Gambar 4.14. Permukaan Bagian Dalam Potongan Elbow Tube Yang Telah Dibelah  
Diambil dari Laporan Akhir PT. EMPU AGUNG SAKTI

Elbow tube diatas menunjukkan lubang kebocoran, permukaan dinding bagian dalamnya disekitar daerah lubang memperlihatkan tekstur berbentuk rumah atau sarang tawon (*honeycomb*). Hal ini menandakan bahwa jenis kerusakan yang terjadi pada dinding bagian dalam elbow tube tersebut termasuk *cavitation damage*. Dari gambar diatas juga terlihat dengan jelas bahwa penipisan dinding elbow tube yang disebabkan oleh *cavitation damage* tersebut umumnya terjadi di dinding bagian dalam tube dan terpusat di

sekitar daerah dinding pada bagian kurvatur luar yang mengalami perubahan arah belokan yang tajam. Sedangkan penipisan yang terjadi pada bagian permukaan luar elbow tube nampaknya tidak signifikan dan penipisan tersebut kemungkinan disebabkan oleh pengaruh korosi dan/atau oksidasi akibat flue gas.



## BAB V

### KESIMPULAN & SARAN

#### V.I. Kesimpulan

- Analisa terhadap tegangan kontinyu (*sustained loads*) dan tegangan akibat thermal expansion pada pipa LP evaporator, didapatkan kesimpulan bahwa tegangan yang terjadi masih berada dibawah tegangan material yang diijinkan. Hal ini berarti material pipa yang telah didesain telah sesuai dengan kondisi operasi.
- Simulasi aliran multifase dengan EFD menunjukkan terjadinya fraksi uap yang merupakan indikasi terjadinya kavitas.
- Pengecekan dengan kavitas indeks juga memperkuat indikasi terjadinya kavitas pada elbow LP evaporator
- Hasil simulasi aliran multifase dengan EFD sesuai dengan studi/analisa yang telah dilakukan oleh PT. EMPU AGUNG SAKTI, yaitu terjadinya kavitas pada pipa LP evaporator.

#### V.2. Saran

- Meningkatkan atau meng-upgrade material elbow tube outlet header LP Evaporator dari baja karbon rendah (spesifikasi St 35.8/I) menjadi baja paduan rendah berbasis Cr-Mo. Baja Cr – Mo ini memiliki komposisi kimia yang diharapkan dapat meningkatkan ketahanan terhadap cavitation damage.

## **BAB VI**

### **DAFTAR PUSTAKA**

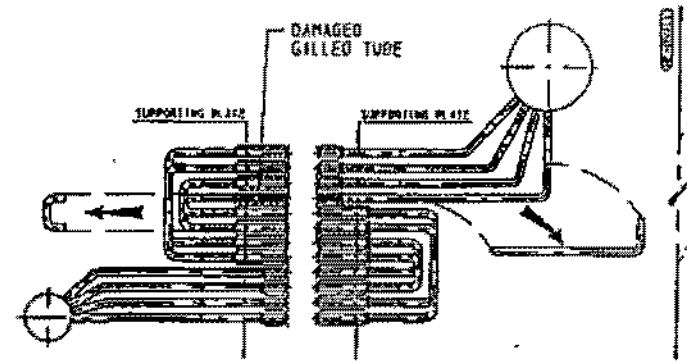
1. Basavaraju, C., and Sun, William S., "Stress Analysis of Piping System", Lexicon.
2. Beer, Ferdinand. P., "Mechanics of Materials", McGraw Hill Book Company Inc., New York, 1988.
3. Cengel, Yunus. A., and Boles, Michael. A, "Thermodynamics An Engineering Approach", McGraw -Hill, Inc.,United States of America, 1994.
4. General Electric, "Manual Book Combine Cycle Power Plant", Austrian, 1995.
5. <http://www.google.co.id/cavitation index/>
6. <http://www.google.co.id/COADE Pipe Stress Analysis Seminar Notes/>
7. <http://www.google.co.id/mechanical properties 240/>
8. Incopera, Frank. P., and DeWitt, David P., "Fundamental of Heat and Mass Transfer", John Willey & Sons, New York, 1996.
9. Iremonger, M. J., "Dasar Analisis Tegangan", Terjemahan S Sardjy, Universitas Indonesia, Jakarta, 1990.
10. Kreith, F., "Prinsip-Prinsip Perpindahan Panas", Terjemahan A. Prijono, Erlangga, Jakarta, 1997.
11. PT. EMPU AGUNG SAKTI, "Laporan Akhir Analisa Kerusakan Elbow Tube LP Evaporator HRSG UP Muara Karang", Jakarta, 2008.
12. Nugroho, Anggun., "Analisis Distribusi Tekanan Fluida Cair Yang Melalui Elbow 90 ° Dengan variasi Jari-Jari Kelengkungan Dan Kapasitas Aliran Fluida", Tugas Akhir Jurusan Mesin FT UNS, Semarang, 2006.
13. Versteeg, H.K., and Malalasekera, W., "An Introduction to Computational Fluid Dynamics And The Finite Volume Method", London, 1995.



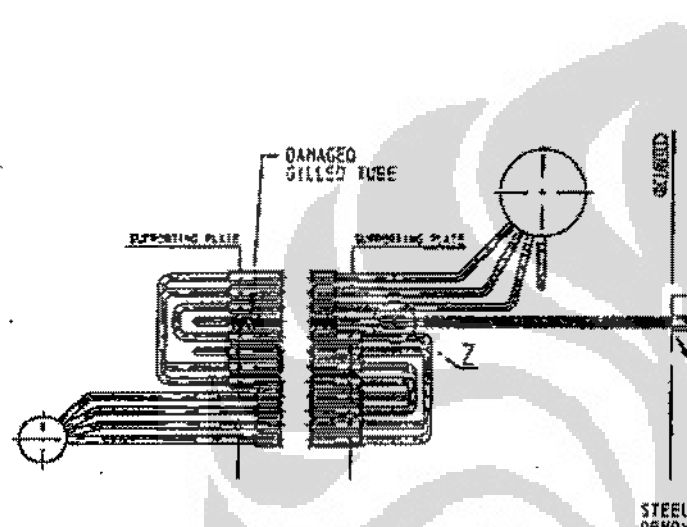
**Lampiran A-1**

**Parameter Geometri**

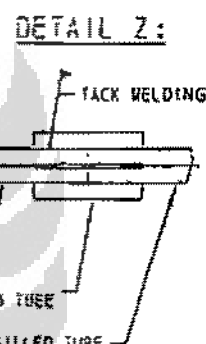
# INSTRUCTION OF HRSG TUBE REPLACEMENT



- 1.1 OPEN THE CASTING
- 2.1 REMOVE THE TUBE BENDS FROM THE DAMAGED GILLED TUBE
- 3.1 INSERTION OF THE NEW GILLED TUBE INTO THE LOAD CARRYING TUBE

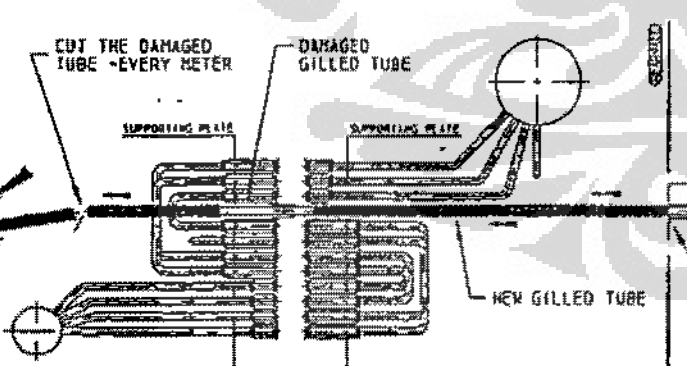


- 4.1 THE NEW GILLED TUBE WILL BE PLACED INTO THE CORRECT POSITION AT THE REARWALL BY MEANS OF MOBILE CRANE
- 5.1 WELD THE NEW TUBE TO THE EXISTING DAMAGED ONE



STEEL ~100x15, F44, 3xON THE CIRCUMFERENCE  
REMOVE AFTER INSTALLATION OF THE NEW GILLED TUBE

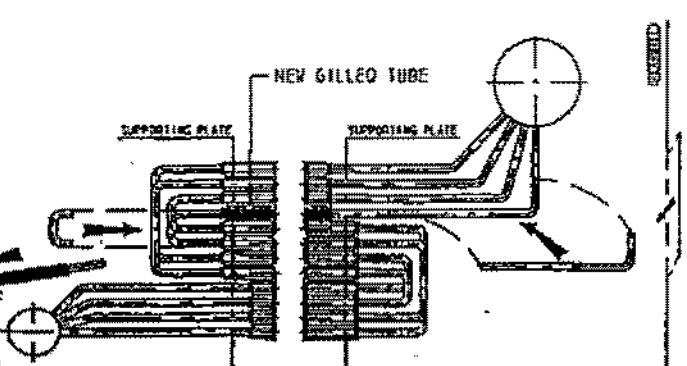
NEW GILLED TUBE



- 6.1 INSTALLATION OF THE NEW GILLED TUBE
- 7.1 CUT THE DAMAGED TUBE EVERY METER ON THE FRONTWALL

LOAD CARRYING TUBE TUBE DN=150

FIXED ON THE CASTING



- 8.1 WELD THE TUBE BENDS TO THE NEW GILLED TUBE
- 9.1 CLOSE THE CASTING



Operating Manual  
HEAT RECOVERY STEAM GENERATOR  
MUARA KARANG CCPP II

Volume :  
Section :3.0  
Page :2/6  
Status :31.Oct. 1995

**3.0 Design and operating data:**

**3.1 HRSG-design data:**

**3.1.1 Manufactures Number:**

**HRSG 1**

|                                     |      |
|-------------------------------------|------|
| High pressure water a. steam system | 3034 |
| Low pressure water a. steam system  | 3037 |

**HRSG 2**

|                                     |      |
|-------------------------------------|------|
| High pressure water a. steam system | 3035 |
| Low pressure water a. steam system  | 3038 |

**HRSG 3**

|                                     |      |
|-------------------------------------|------|
| High pressure water a. steam system | 3036 |
| Low pressure water a. steam system  | 3039 |

**3.1.2 Dimensions of HRSG:**

|                                     |          |
|-------------------------------------|----------|
| Width (seen from GT side)           | 7050 mm  |
| Depth (seen from GT side)           | 19200 mm |
| Height of rectangular cross section | 13440 mm |
| Top of the stack                    | 45000 mm |

**3.1.3 Heat transfer surfaces:**

|                                     |                      |
|-------------------------------------|----------------------|
| Low pressure water a. steam system  | 34620 m <sup>2</sup> |
| High pressure water a. steam system | 52256 m <sup>2</sup> |
| Total heating surface               | 86876 m <sup>2</sup> |



**Operating Manual**  
**HEAT RECOVERY STEAM GENERATOR**  
**MUARA KARANG CCPP II**

|           |             |
|-----------|-------------|
| Volume :  |             |
| Section : | 3.0         |
| Page :    | 3/6         |
| Status :  | 31.Oct.1995 |

### 3.1.4 Volumes:

|  |        |                |
|--|--------|----------------|
| Low pressure water and steam system (total)  | 94,80  | m <sup>3</sup> |
| Low pressure Economizer                      | 9,05   | m <sup>3</sup> |
| Deaerator                                    | 8,89   | m <sup>3</sup> |
| Low pressure drum                            | 42,50  | m <sup>3</sup> |
| Low pressure evaporator                      | 11,960 | m <sup>3</sup> |
| Low pressure superheater                     | 6,40   | m <sup>3</sup> |
| Low pressure connection lines                | 16,00  | m <sup>3</sup> |
|  |        |                |
| High pressure water and steam system (total) | 80,90  | m <sup>3</sup> |
| High pressure economizer                     | 10,78  | m <sup>3</sup> |
| High pressure drum                           | 24,50  | m <sup>3</sup> |
| High pressure evaporator                     | 13,41  | m <sup>3</sup> |
| High pressure superheater I & II             | 7,21   | m <sup>3</sup> |
| High pressure connection lines               | 25,0   | m <sup>3</sup> |
|  |        |                |
| Total volume of HRSG                         | 175,70 | m <sup>3</sup> |

### 3.1.5. High pressure system:

|                                |         | Superheater | Evaporator | Economizer |
|--------------------------------|---------|-------------|------------|------------|
| Design pressure                | bar (g) | SH2<br>110  | SH1<br>110 | 111        |
| Design temperatur              | °C      | 525         | 490        | 319        |
| Calculated pressure drop       | bar (g) | 1,0         | 0,7        | 1,5        |
| Exhaust gas temperature inlet  | °C      | 541,3       | 523        | 468        |
| Exhaust gas temperature outlet | °C      | 523         | 468        | 313        |
| Transfer water temperature     | °C      |             |            | 157,6      |

|                               |     |
|-------------------------------|-----|
| Total water circulation ratio | 4,5 |
| Losses (radiation) %          | 0,2 |



Operating Manual  
HEAT RECOVERY STEAM GENERATOR  
MUARA KARANG CCPP II

Volume :  
Section :3.0  
Page :4/6  
Status :31.Oct.1995

### 3.1.6. Low pressure system:

|                                |         | Superheater | Evaporator | Economizer |
|--------------------------------|---------|-------------|------------|------------|
| Design pressure                | bar (g) | 10,0        | 10,0       | 33,0       |
| Design temperatur              | °C      | 318         | 183        | 214        |
| Calculated pressure drop       | bar (g) | 0,2         | 1,5        | 1,5        |
| Exhaust gas temperature inlet  | °C      | 313         | 234        | 170        |
| Exhaust gas temperature outlet | °C      | 305         | 170        | 104,5      |
| Condensate temp.               | °C      |             |            | 42,3       |
| Total water circulation ratio. |         | 5,0         |            |            |
| Losses (radiation) %           |         | 0,2         |            |            |



**Operating Manual**  
**HEAT RECOVERY STEAM GENERATOR**  
**MUARA KARANG CCPP II**

|           |              |
|-----------|--------------|
| Volume :  | :3.0         |
| Section : | :5/6         |
| Page :    | :31.Oct.1995 |
| Status    |              |

### 3.2 HRSG-operating data:

#### 3.2.1 Natural gas operation

##### High pressure system:

|                                      |         |
|--------------------------------------|---------|
| Superheater outlet steam flow        | t/h     |
| Superheater steam outlet pressure    | bar (g) |
| Superheater steam outlet temperature | °C      |
| Steam drum pressure                  | bar (g) |
| Steam drum temperature               | °C      |
| Transfer water temperature           | °C      |
| Continuous blow down                 | kg/h    |

##### **Load condition (MCR)**

|  | 25 % | 50 %  | 75 %        | 100 % |
|--|------|-------|-------------|-------|
|  | 42,7 | 97,0  | 135,5       | 171,2 |
|  | 40,0 | 46,7  | 69,2        | 87,28 |
|  | 336  | 425   | 512,7       | 518,4 |
|  | 40,7 | 47,8  | 71,3        | 89,8  |
|  | 251  | 261,2 | 287         | 303,2 |
|  | 157  | 157,9 | 157,7       | 160   |
|  |      |       | approx. 854 |       |

##### Low pressure system:

|                                      |         |
|--------------------------------------|---------|
| Superheater outlet steam flow        | t/h     |
| Superheater steam outlet pressure    | bar (g) |
| Superheater steam outlet temperature | °C      |
| Drum pressure                        | bar (g) |
| Drum temperature                     | °C      |
| Condensate flow to deaerator         | kg/s    |
| Condensate inlet temperature         | °C      |
| Gas side pressure drop               | mbar    |

##### **25 %      50 %      75 %      100 %**

|  | 25 % | 50 %  | 75 %  | 100 % |
|--|------|-------|-------|-------|
|  | 25,9 | 35,2  | 32,0  | 42,4  |
|  | 5,6  | 5,6   | 5,6   | 5,81  |
|  | 230  | 257,3 | 285   | 297,5 |
|  | 5,8  | 5,9   | 5,8   | 6,2   |
|  | 157  | 157,9 | 157,7 | 160   |
|  |      | 36,71 | 46,54 | 59,33 |
|  |      |       |       |       |

The operation design data are based on the following conditions:

|                        |      |
|------------------------|------|
| GT-Exhaust flow        | t/h  |
| GT-Exhaust temperature | °C   |
| Ambient temperature    | °C   |
| Ambient rel. humidity  | %    |
| Atmospheric pressure   | mbar |

##### **25 %      50 %      75 %      100 %**

|  | 25 %   | 50 %   | 75 %   | 100 % |
|--|--------|--------|--------|-------|
|  | 1151,0 | 1152,5 | 1403,5 |       |
|  | 434    | 528    | 541,3  |       |
|  | 27     | 27     | 27     |       |
|  | 83     | 83     | 83     |       |
|  | 1013   | 1013   | 1013   |       |



Operating Manual  
HEAT RECOVERY STEAM GENERATOR  
MUARA KARANG CCPP II

Volume :  
Section : 3.0  
Page : 6/6  
Status : 31.Oct.1995

### 3.2.2 Distillate oil operation

|                                   |         | Load condition (MCR) |       |             |       |
|-----------------------------------|---------|----------------------|-------|-------------|-------|
|                                   |         | 25 %                 | 50 %  | 75 %        | 100 % |
| <b>High pressure system:</b>      |         |                      |       |             |       |
| Superheater outlet steam flow     | t/h     | 43,2                 | 99,0  | 137,9       | 171,8 |
| Superheater steam outlet pressure | bar (g) | 40                   | 47,5  | 70,6        | 88,17 |
| Superheater steam temperature     | °C      | 335                  | 425   | 513,8       | 518,7 |
| Drum pressure                     | bar (g) | 40,7                 | 48,9  | 72,7        | 91,1  |
| Drum temperature                  | °C      | 251                  | 262,6 | 288,4       | 304,2 |
| Transfer water temperature        | °C      | 157                  | 159,4 | 159,1       | 158   |
| Continous blow down               | kg/h    |                      |       | approx. 854 |       |

|                               |         | 25 % | 50 %  | 75 %  | 100 % |
|-------------------------------|---------|------|-------|-------|-------|
| <b>Low pressure system:</b>   |         |      |       |       |       |
| Superheater outlet steam flow | t/h     | 15,1 | 20,3  | 14,1  | 15,7  |
| SH. steam outlet pressure     | bar (g) | 5,6  | 6,0   | 6,0   | 5,8   |
| SH. steam outlet temperature  | °C      | 248  | 267,8 | 297,2 | 314,7 |
| Drum pressure                 | bar (g) | 5,7  | 6,1   | 6,0   | 5,9   |
| Drum temperature              | °C      | 157  | 159,4 | 159,1 | 158   |
| Condensate flow to deaerator  | kg/s    |      | 55,16 | 57,21 | 52,06 |
| Condensate inlet temperature  | °C      | 125  |       |       |       |
| Gas side pressure drop        | mbar    | 28   |       |       |       |

The operation design datas are based to following conditions

|                        |      | 25 % | 50 %   | 75 %   | 100 %  |
|------------------------|------|------|--------|--------|--------|
| GT-Exhaust flow        | t/h  |      | 1153,2 | 1155,4 | 1407,3 |
| GT-Exhaust temperature | °C   |      | 437    | 530    | 541,8  |
| Ambient temperature    | °C   |      | 27     | 27     | 27     |
| Ambient rel. humidity  | %    |      | 83     | 83     | 83     |
| Atmospheric pressure   | mbar |      | 1013   | 1013   | 1013   |

## Comparison of Mechanical and Chemical Properties between American, DIN and BS specifications



| Specification                        | Grade      | Standard or Method | Mechanical Properties |         | Properties |           |       |
|--------------------------------------|------------|--------------------|-----------------------|---------|------------|-----------|-------|
|                                      |            |                    | Yield                 | Tensile | Tensile    | Yield     |       |
| ASTM A312-TP 304                     | DIN 1740   | SEW<br>GERMANY     | >577                  | >737    | >2000      | >500      | >21.0 |
| X 5 DIN 190 (1.4301) 1               |            | S<br>GERMANY       | >577                  | >737    | >2000      | 51.0-75.0 | >18.0 |
| BS 3605-304-S 18                     |            | EPR<br>W. GERMANY  | >577                  | >737    | >2000      | 50.1-70.4 | >18.0 |
| ASTM A312-TP 304 (1.4301-TP 304)     |            | W. GERMANY         | >577                  | >737    | >2000      | 50.1-70.4 | >21.0 |
| BS 3605-304-S 25                     |            |                    |                       |         |            | 50.1-70.4 | >24.0 |
| ASTM A312-TP 304 H                   | DIN 1740   | SEW<br>GERMANY     | >577                  | >737    | >2000      | >500      | >21.0 |
| X 5 DIN 190 (1.4301) 1               |            | S<br>GERMANY       | >577                  | >737    | >2000      | 51.0-75.0 | >18.0 |
| ASTM A312-TP 304 L                   |            | SEW<br>GERMANY     | >577                  | >737    | >2000      | 50.0      | >17.0 |
| X 5 DIN 190 (1.4301) 1               |            | S<br>GERMANY       | >577                  | >737    | >2000      | 51.0-75.0 | >18.0 |
| BS 3605-304-L 14                     |            | EPR<br>W. GERMANY  | >577                  | >737    | >2000      | 50.1-70.4 | >18.0 |
| ASTM A312-TP 304 L (1.4301-TP 304 L) |            | W. GERMANY         | >577                  | >737    | >2000      | 50.1-70.4 | >17.0 |
| BS 3605-304-L 22                     |            |                    |                       |         |            | 50.1-70.4 | >22.0 |
| ASTM A312-TP 316                     | W. GERMANY | SEW<br>GERMANY     | >577                  | >737    | >2000      | >500      | >21.0 |
| X 18 DIN 190 (1.4401) 1              |            | S<br>GERMANY       | >577                  | >737    | >2000      | 51.0-75.0 | >20.0 |
| ASTM A312-TP 316 (A 240-TP 316 S)    |            | EPR<br>W. GERMANY  | >577                  | >737    | >2000      | 50.1-70.4 | >21.0 |
| BS 3605-316-S 26                     |            | W. GERMANY         | >577                  | >737    | >2000      | 50.1-72.5 | >21.0 |
| ASTM A312-TP 316L                    | DIN 1740   | SEW<br>GERMANY     | >577                  | >737    | >2000      | >500      | >21.0 |
| X 18 DIN 190 (1.4401) 1              |            | S<br>GERMANY       | >577                  | >737    | >2000      | 51.0-75.0 | >21.0 |
| BS 3605-316-L 18                     |            | EPR<br>W. GERMANY  | >577                  | >737    | >2000      | 50.1-72.5 | >20.0 |
| ASTM A312-TP 316L (A 240-TP 316 L)   |            | W. GERMANY         | >577                  | >737    | >2000      | 50.1-70.4 | >21.0 |
| BS 3605-316-L 22                     |            |                    |                       |         |            | 50.1-72.5 | >22.0 |
| ASTM A312-TP 316H                    | DIN 1740   | SEW<br>GERMANY     | >577                  | >737    | >2000      | >500      | >21.0 |
| X 18 DIN 190 (1.4401) 1              |            | S<br>GERMANY       | >577                  | >737    | >2000      | 51.0-75.0 | >21.0 |
| ASTM A312-TP 316L                    |            | SEW<br>GERMANY     | >577                  | >737    | >2000      | 50.0      | >21.0 |
| X 2 DIN 190 (1.4401) 1               |            | S<br>GERMANY       | >577                  | >737    | >2000      | 51.0-75.0 | >21.0 |
| BS 3605-316-L 14                     |            | EPR<br>W. GERMANY  | >577                  | >737    | >2000      | 50.1-70.4 | >21.0 |
| ASTM A312-TP 316L (A 240-TP 316 L)   |            | W. GERMANY         | >577                  | >737    | >2000      | 50.1-70.4 | >21.0 |
| BS 3605-316-L 22                     |            |                    |                       |         |            | 50.1-70.4 | >21.0 |
| ASTM A312-TP 321                     | DIN 1740   | SEW<br>GERMANY     | >577                  | >737    | >2000      | >500      | >21.0 |
| 10 DIN 190 (1.4501) 1                |            | S<br>GERMANY       | >577                  | >737    | >2000      | 50.0-75.0 | >21.0 |
| BS 3605-321-S 14                     |            | EPR<br>W. GERMANY  | >577                  | >737    | >2000      | 50.1-72.5 | >21.0 |
| ASTM A312-TP 321(A 240-TP 321)       |            | W. GERMANY         | >577                  | >737    | >2000      | 50.1-72.5 | >21.0 |
| BS 3605-321-S 22                     |            |                    |                       |         |            | 50.1-72.5 | >22.0 |
| ASTM A312-TP 321 H                   | DIN 1740   | SEW<br>GERMANY     | >577                  | >737    | >2000      | >500      | >21.0 |
| X 10 DIN 190 (1.4501) 1              |            | S<br>GERMANY       | >577                  | >737    | >2000      | 50.0-75.0 | >21.0 |
| ASTM A312-TP 321                     |            | SEW<br>GERMANY     | >577                  | >737    | >2000      | 50.0-75.0 | >21.0 |
| 10 DIN 190 (1.4501) 1                |            | S<br>GERMANY       | >577                  | >737    | >2000      | 50.1-72.5 | >20.0 |
| BS 3605-321-S 14                     |            | EPR<br>W. GERMANY  | >577                  | >737    | >2000      | 50.1-72.5 | >20.0 |
| ASTM A312-TP 321(A 240-TP 321)       |            | W. GERMANY         | >577                  | >737    | >2000      | 50.1-72.5 | >21.0 |
| BS 3605-321-S 17                     |            |                    |                       |         |            | 50.1-72.5 | >22.0 |
| ASTM A312-TP 327 H                   | DIN 1740   | SEW<br>GERMANY     | >577                  | >737    | >2000      | >500      | >21.0 |
| X 10 DIN 190 (1.4501) 1              |            | S<br>GERMANY       | >577                  | >737    | >2000      | 50.0-75.0 | >21.0 |
| ASTM A312-TP 327                     |            | SEW<br>GERMANY     | >577                  | >737    | >2000      | 50.0-75.0 | >21.0 |
| 10 DIN 190 (1.4501) 1                |            | S<br>GERMANY       | >577                  | >737    | >2000      | 50.1-72.5 | >20.0 |
| BS 3605-327-S 14                     |            | EPR<br>W. GERMANY  | >577                  | >737    | >2000      | 50.1-72.5 | >20.0 |
| ASTM A312-TP 327(A 240-TP 327)       |            | W. GERMANY         | >577                  | >737    | >2000      | 50.1-72.5 | >21.0 |
| BS 3605-327-S 17                     |            |                    |                       |         |            | 50.1-72.5 | >22.0 |
| ASTM A312-TP 327 H                   | DIN 1740   | SEW<br>GERMANY     | >577                  | >737    | >2000      | >500      | >21.0 |
| X 10 DIN 190 (1.4501) 1              |            | S<br>GERMANY       | >577                  | >737    | >2000      | 50.0-75.0 | >21.0 |
| ASTM A312-TP 327                     |            | SEW<br>GERMANY     | >577                  | >737    | >2000      | 50.0-75.0 | >21.0 |
| 10 DIN 190 (1.4501) 1                |            | S<br>GERMANY       | >577                  | >737    | >2000      | 50.1-72.5 | >20.0 |
| BS 3605-327-S 14                     |            | EPR<br>W. GERMANY  | >577                  | >737    | >2000      | 50.1-72.5 | >20.0 |
| ASTM A312-TP 327(A 240-TP 327)       |            | W. GERMANY         | >577                  | >737    | >2000      | 50.1-72.5 | >21.0 |
| BS 3605-327-S 17                     |            |                    |                       |         |            | 50.1-72.5 | >22.0 |

† For small diameter tubes and for thin walls where manganese is required a carbon content of 0.40 percent is necessary in grades TP 304 L and TP 316 L.

Small diameters are: 0.507 or 1.27 mm and below. Light wall thickness are: 0.647 or 1.24 mm and below for average walls and 0.647 or 1.13 mm for minimum walls.

‡ In the above table the "Yield" figure is determined by ASTM standards by 0.2 % proof stress calculation, and for BS standards by 0.1% yield stress.

§ Number between brackets refers to the corresponding German standard.

¶ For worktest-tolerances 1.4401 (A TP 316 H and TP 316 HF and 1.4401 (A TP 316 L) following tolerances surface-tolerances are acceptable: 1.4436 and 1.4435.

Only Mo- and Ni-contents (Mo = 2.50-3.00 %, Ni = 12.50-15.00 %) are tested.

TABLE 1 – SATURATION LINE (TEMPERATURE) – continued

| Temp.<br>°C | Abs.Press.<br>bar | Specific Enthalpy<br>kJ/kg |        |             | Specific Entropy<br>kJ/kg °C |             |        | Specific Volume<br>dm <sup>3</sup> /kg |                |             | Temp.<br>°C |
|-------------|-------------------|----------------------------|--------|-------------|------------------------------|-------------|--------|--|----------------|-------------|-------------|
|             |                   | $t_f$                      | $P_f$  | $\dot{h}_f$ | $\dot{h}_{fg}$               | $\dot{h}_g$ | $t_f$  | $\dot{s}_f$                            | $\dot{s}_{fg}$ | $\dot{s}_g$ |             |
| 150.0       | 4.760             | 632.1                      | 2113.2 | 2745.4      | 1.8416                       | 4.9941      | 6.8358 | 1.0908                                 | 391.36         | 392.45      | 150.0       |
| 151.0       | 4.889             | 636.5                      | 2110.1 | 2746.5      | 1.8518                       | 4.9750      | 6.8258 | 1.0919                                 | 381.59         | 382.69      | 151.0       |
| 152.0       | 5.021             | 640.8                      | 2106.9 | 2747.7      | 1.8619                       | 4.9558      | 6.8178 | 1.0930                                 | 372.12         | 373.22      | 152.0       |
| 153.0       | 5.155             | 645.1                      | 2103.8 | 2748.9      | 1.8721                       | 4.9368      | 6.8099 | 1.0941                                 | 362.93         | 364.02      | 153.0       |
| 154.0       | 5.293             | 649.4                      | 2100.6 | 2750.0      | 1.8822                       | 4.9178      | 6.8000 | 1.0953                                 | 354.01         | 355.10      | 154.0       |
| 155.0       | 5.433             | 653.8                      | 2097.4 | 2751.2      | 1.8923                       | 4.8988      | 6.7911 | 1.0964                                 | 345.35         | 346.44      | 155.0       |
| 156.0       | 5.577             | 658.1                      | 2094.2 | 2752.3      | 1.9023                       | 4.8800      | 6.7823 | 1.0976                                 | 336.94         | 338.03      | 156.0       |
| 157.0       | 5.723             | 662.4                      | 2091.0 | 2753.4      | 1.9124                       | 4.8611      | 6.7735 | 1.0987                                 | 328.77         | 329.87      | 157.0       |
| 158.0       | 5.872             | 666.6                      | 2087.7 | 2754.5      | 1.9224                       | 4.8424      | 6.7648 | 1.0999                                 | 320.84         | 321.94      | 158.0       |
| 159.0       | 6.025             | 671.1                      | 2084.5 | 2755.6      | 1.9325                       | 4.8237      | 6.7561 | 1.1010                                 | 313.14         | 314.24      | 159.0       |
| 160.0       | 6.181             | 675.5                      | 2081.3 | 2756.7      | 1.9425                       | 4.8050      | 6.7475 | 1.1022                                 | 305.65         | 306.76      | 160.0       |
| 161.0       | 6.339             | 679.8                      | 2078.0 | 2757.8      | 1.9525                       | 4.7854      | 6.7389 | 1.1034                                 | 298.38         | 299.49      | 161.0       |
| 162.0       | 6.502             | 684.2                      | 2074.7 | 2758.9      | 1.9624                       | 4.7679      | 6.7303 | 1.1046                                 | 291.32         | 292.42      | 162.0       |
| 163.0       | 6.667             | 688.5                      | 2071.4 | 2759.9      | 1.9724                       | 4.7494      | 6.7218 | 1.1058                                 | 284.45         | 285.56      | 163.0       |
| 164.0       | 6.836             | 692.9                      | 2068.1 | 2761.0      | 1.9823                       | 4.7309      | 6.7133 | 1.1070                                 | 277.78         | 278.89      | 164.0       |
| 165.0       | 7.008             | 697.3                      | 2064.8 | 2762.0      | 1.9923                       | 4.7126      | 6.7048 | 1.1082                                 | 271.29         | 272.40      | 165.0       |
| 166.0       | 7.183             | 701.6                      | 2061.4 | 2763.1      | 2.0022                       | 4.6942      | 6.6964 | 1.1095                                 | 264.98         | 266.09      | 166.0       |
| 167.0       | 7.362             | 706.0                      | 2058.1 | 2764.1      | 2.0121                       | 4.6759      | 6.6880 | 1.1107                                 | 258.85         | 259.96      | 167.0       |
| 168.0       | 7.545             | 710.4                      | 2054.7 | 2765.1      | 2.0219                       | 4.6577      | 6.6796 | 1.1119                                 | 252.88         | 254.00      | 168.0       |
| 169.0       | 7.731             | 714.7                      | 2051.3 | 2766.1      | 2.0318                       | 4.6395      | 6.6713 | 1.1132                                 | 247.08         | 248.20      | 169.0       |
| 170.0       | 7.920             | 719.1                      | 2047.9 | 2767.1      | 2.0416                       | 4.6214      | 6.6630 | 1.1144                                 | 241.44         | 242.55      | 170.0       |
| 171.0       | 8.114             | 723.5                      | 2044.5 | 2768.0      | 2.0515                       | 4.6033      | 6.6546 | 1.1157                                 | 235.95         | 237.06      | 171.0       |
| 172.0       | 8.311             | 727.9                      | 2041.1 | 2769.0      | 2.0613                       | 4.5853      | 6.6465 | 1.1170                                 | 230.61         | 231.72      | 172.0       |
| 173.0       | 8.511             | 732.3                      | 2037.7 | 2769.9      | 2.0711                       | 4.5673      | 6.6384 | 1.1183                                 | 225.41         | 226.52      | 173.0       |
| 174.0       | 8.716             | 736.7                      | 2034.2 | 2770.9      | 2.0809                       | 4.5493      | 6.6302 | 1.1196                                 | 220.35         | 221.47      | 174.0       |
| 175.0       | 8.924             | 741.1                      | 2030.7 | 2771.8      | 2.0906                       | 4.5314      | 6.6221 | 1.1209                                 | 215.42         | 216.54      | 175.0       |
| 176.0       | 9.137             | 745.5                      | 2027.3 | 2772.7      | 2.1004                       | 4.5136      | 6.6140 | 1.1222                                 | 210.63         | 211.75      | 176.0       |
| 177.0       | 9.350             | 749.9                      | 2023.7 | 2773.6      | 2.1101                       | 4.4958      | 6.6059 | 1.1235                                 | 205.96         | 207.08      | 177.0       |
| 178.0       | 9.574             | 754.3                      | 2020.2 | 2774.5      | 2.1199                       | 4.4780      | 6.5979 | 1.1248                                 | 201.41         | 202.54      | 178.0       |
| 179.0       | 9.798             | 758.7                      | 2016.7 | 2775.4      | 2.1296                       | 4.4603      | 6.5899 | 1.1262                                 | 196.98         | 198.11      | 179.0       |
| 180.0       | 10.027            | 763.1                      | 2013.1 | 2776.3      | 2.1393                       | 4.4426      | 6.5819 | 1.1275                                 | 192.67         | 193.80      | 180.0       |
| 181.0       | 10.259            | 767.5                      | 2009.6 | 2777.1      | 2.1490                       | 4.4250      | 6.5739 | 1.1289                                 | 188.47         | 189.60      | 181.0       |
| 182.0       | 10.498            | 772.0                      | 2006.0 | 2778.0      | 2.1587                       | 4.4074      | 6.5650 | 1.1302                                 | 184.38         | 185.51      | 182.0       |
| 183.0       | 10.738            | 776.4                      | 2002.4 | 2778.8      | 2.1683                       | 4.3898      | 6.5561 | 1.1316                                 | 180.39         | 181.53      | 183.0       |
| 184.0       | 10.981            | 780.8                      | 1998.8 | 2779.6      | 2.1780                       | 4.3723      | 6.5501 | 1.1330                                 | 176.51         | 177.64      | 184.0       |
| 185.0       | 11.213            | 785.3                      | 1995.2 | 2780.4      | 2.1876                       | 4.3548      | 6.5424 | 1.1344                                 | 172.72         | 173.86      | 185.0       |
| 186.0       | 11.448            | 789.7                      | 1991.5 | 2781.2      | 2.1972                       | 4.3374      | 6.5346 | 1.1358                                 | 169.03         | 170.17      | 186.0       |
| 187.0       | 11.747            | 794.2                      | 1987.8 | 2782.0      | 2.2068                       | 4.3200      | 6.5268 | 1.1372                                 | 165.43         | 166.57      | 187.0       |
| 188.0       | 12.010            | 798.6                      | 1984.2 | 2782.8      | 2.2164                       | 4.3026      | 6.5191 | 1.1386                                 | 161.93         | 163.07      | 188.0       |
| 189.0       | 12.278            | 803.1                      | 1980.5 | 2783.5      | 2.2260                       | 4.2853      | 6.5113 | 1.1401                                 | 158.51         | 159.65      | 189.0       |
| 190.0       | 12.551            | 807.5                      | 1976.7 | 2784.3      | 2.2356                       | 4.2680      | 6.5036 | 1.1415                                 | 155.17         | 156.32      | 190.0       |
| 191.0       | 12.829            | 812.0                      | 1973.0 | 2785.0      | 2.2451                       | 4.2508      | 6.4959 | 1.1429                                 | 151.92         | 153.07      | 191.0       |
| 192.0       | 13.111            | 816.4                      | 1969.3 | 2785.7      | 2.2547                       | 4.2338      | 6.4883 | 1.1444                                 | 148.75         | 149.90      | 192.0       |
| 193.0       | 13.398            | 820.9                      | 1965.5 | 2786.4      | 2.2642                       | 4.2164      | 6.4806 | 1.1459                                 | 145.66         | 146.80      | 193.0       |
| 194.0       | 13.690            | 825.4                      | 1961.7 | 2787.1      | 2.2738                       | 4.1993      | 6.4730 | 1.1474                                 | 142.64         | 143.79      | 194.0       |
| 195.0       | 13.987            | 829.9                      | 1957.9 | 2787.8      | 2.2833                       | 4.1821      | 6.4654 | 1.1489                                 | 139.69         | 140.84      | 195.0       |
| 196.0       | 14.289            | 834.4                      | 1954.1 | 2788.4      | 2.2928                       | 4.1651      | 6.4578 | 1.1504                                 | 136.82         | 137.97      | 196.0       |
| 197.0       | 14.596            | 839.9                      | 1950.2 | 2789.1      | 2.3023                       | 4.1480      | 6.4503 | 1.1519                                 | 134.02         | 135.17      | 197.0       |
| 198.0       | 14.903            | 844.4                      | 1946.4 | 2789.7      | 2.3117                       | 4.1310      | 6.4428 | 1.1534                                 | 131.28         | 132.44      | 198.0       |
| 199.0       | 15.226            | 847.9                      | 1942.5 | 2790.3      | 2.3212                       | 4.1140      | 6.4352 | 1.1549                                 | 128.61         | 129.77      | 199.0       |
| 200.0       | 15.549            | 852.4                      | 1938.6 | 2790.9      | 2.3307                       | 4.0971      | 6.4278 | 1.1565                                 | 126.00         | 127.16      | 200.0       |
| 201.0       | 15.877            | 856.9                      | 1934.6 | 2791.5      | 2.3401                       | 4.0802      | 6.4203 | 1.1580                                 | 123.48         | 124.62      | 201.0       |
| 202.0       | 16.210            | 861.4                      | 1930.7 | 2792.1      | 2.3495                       | 4.0633      | 6.4128 | 1.1595                                 | 120.97         | 122.13      | 202.0       |
| 203.0       | 16.549            | 865.9                      | 1926.7 | 2792.7      | 2.3590                       | 4.0464      | 6.4054 | 1.1612                                 | 118.55         | 119.71      | 203.0       |
| 204.0       | 16.883            | 870.5                      | 1922.8 | 2793.2      | 2.3684                       | 4.0296      | 6.3980 | 1.1628                                 | 116.16         | 117.34      | 204.0       |
| 205.0       | 17.243            | 875.0                      | 1918.8 | 2793.8      | 2.3778                       | 4.0128      | 6.3905 | 1.1644                                 | 113.86         | 115.00      | 205.0       |
| 206.0       | 17.598            | 879.5                      | 1914.7 | 2794.3      | 2.3872                       | 3.9951      | 6.3832 | 1.1660                                 | 111.60         | 112.77      | 206.0       |
| 207.0       | 17.959            | 884.1                      | 1910.7 | 2794.8      | 2.3966                       | 3.9793      | 6.3759 | 1.1676                                 | 109.39         | 110.56      | 207.0       |
| 208.0       | 18.326            | 888.6                      | 1906.6 | 2795.3      | 2.4059                       | 3.9626      | 6.3666 | 1.1693                                 | 107.23         | 108.40      | 208.0       |
| 209.0       | 18.699            | 893.2                      | 1902.6 | 2795.7      | 2.4153                       | 3.9459      | 6.3512 | 1.1709                                 | 105.13         | 106.30      | 209.0       |
| 210.0       | 19.077            | 897.7                      | 1998.5 | 2796.2      | 2.4247                       | 3.9293      | 6.3520 | 1.1725                                 | 103.07         | 104.24      | 210.0       |

**Lampiran A-2**

**Proses Simulasi EFD Dan AutoPIPE**

## LAMPIRAN PROSES SIMULASI

### A. Proses Simulasi

#### A.1. Simulasi EFD

- A. Proses Simulasi Pada Sisi Inlet LP Evaporator
- B. Proses Simulasi Pada Sisi Spiral LP Evaporator
- C. Proses Simulasi Pada Sisi Outlet LP Evaporator

Proses simulasi dari ketiga proses diatas sama. Artinya temperatur keluaran dari simulasi A digunakan sebagai temperatur masukan simulasi B dan temperatur keluaran simulasi B digunakan sebagai temperatur masukan simulasi C. Parameter gas buang (debit, tekanan dan temperatur) dari ketiga simulasi diatas juga sama. Yang membedakan dari ketiga simulasi diatas hanyalah luas penampang masuk gas buang.

##### A.1.1. Pembuatan Geometri



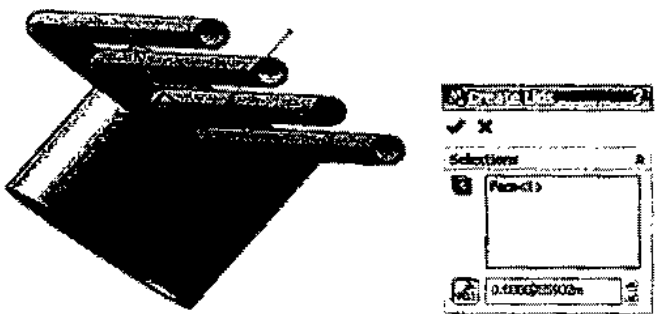
Gambar 1 Inlet LP Evaporator

Dambil dari program EFD

Parameter geometri dapat dilihat pada subbab parameter geometri

##### A.1.2. Pembuatan Lid

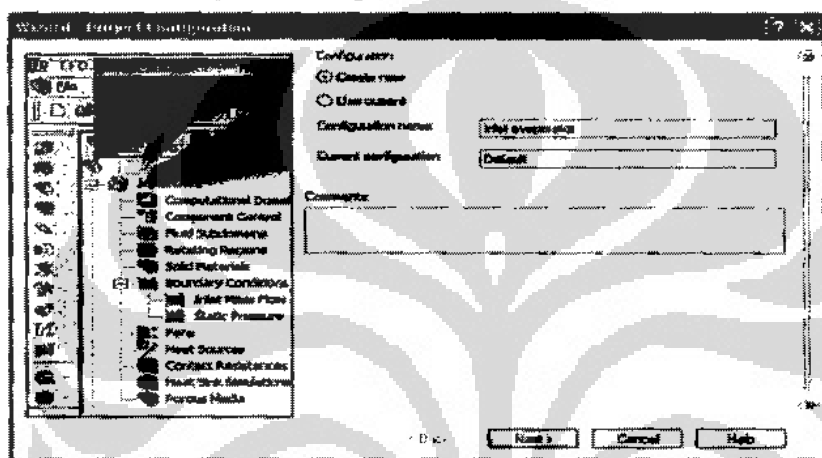
Lid berfungsi sebagai penutup setiap bagian model geometri yang berlubang. Jadi model geometri harus tidak terdapat bagian yang terbuka, sehingga inlet dan outlet yang terbuka harus tertutup dengan lid.



Gambar 2. Pembuatan Lid

Diambil dari program EFD

#### A.1.3. Pembuatan Project Configuration

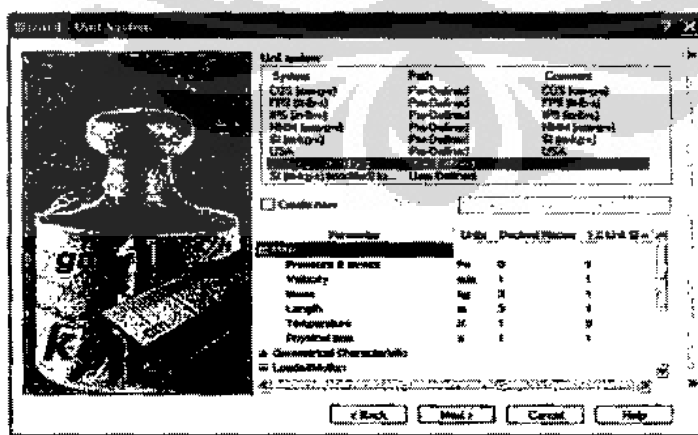


Gambar 3. Pembuatan Project Configuration

Diambil dari program EFD

Pembuatan project configuration ini berfungsi untuk memberikan nama terhadap simulasi yang akan kita lakukan. Untuk simulasi ini penulis memberi nama “inlet evaporator”.

#### A.1.4. Pendefinisian Satuan

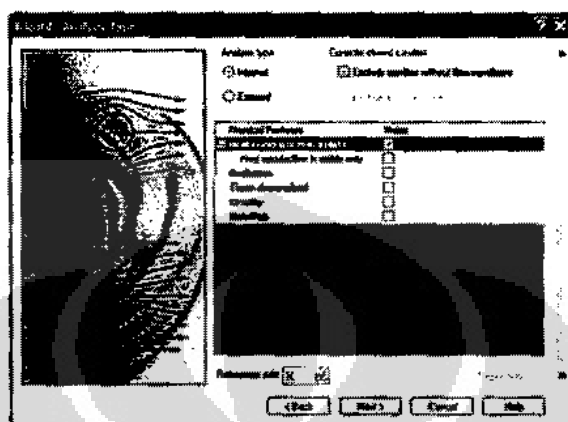


Gambar 4. Pendefinisian Satuan

Diambil dari program EFD

Pemilihan satuan disesuaikan dengan satuan dari data-data yang telah kita dapatkan. Sehingga kita tidak mengalami kesulitan ataupun harus mengkonversikan ke satuan yang lain. Pada simulasi ini penulis memilih satuan SI.

#### A.1.5. Pendefinisian Tipe Analisis

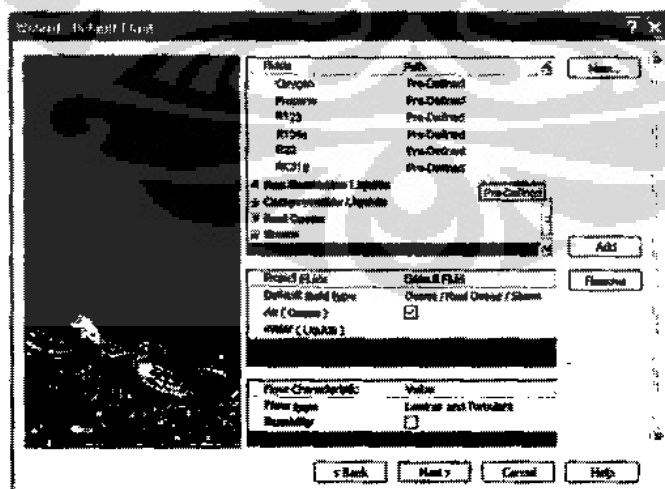


Gambar 5. Pendefinisian Tipe Analisis

Diambil dari program EFD

Ada 2 tipe analisis , yaitu internal dan eksternal. Pada simulasi ini penulis memilih menggunakan tipe internal. Hal ini dikarenakan pipa LP Evaporator berada dalam ruangan yang didalamnya mengalir gas buang yang memanaskan air didalam pipa. Sedangkan didalam pipa LP evaporator mengalir air.

#### A.1.6. Pendefinisian Fluida Kerja



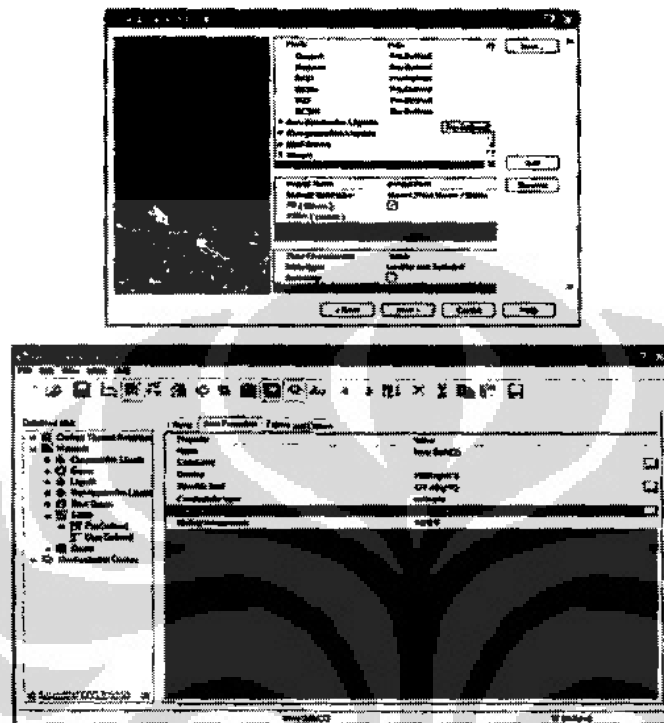
Gambar 6. Pendefinisian Fluida Kerja

Diambil dari program EFD

Pada proses simulasi ini digunakan dua buah fluida kerja,yaitu :

1. Air yang mengalir didalam pipa LP Evaporator
2. Gas buang yang berfungsi untuk memanaskan air.

#### A.1.7. Pendefinisan Material Pipa



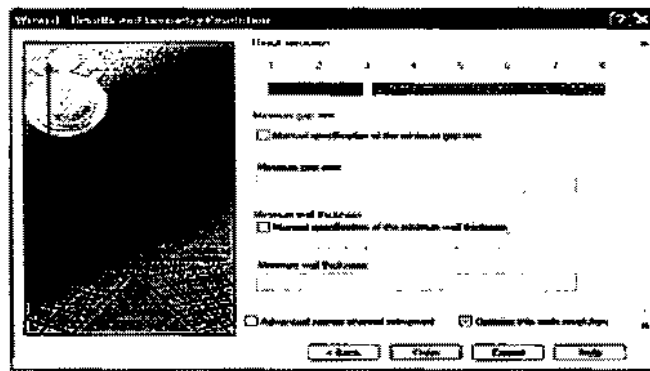
Gambar 7. Pendefinisan Material Pipa

Diambil dari program EFD

Material yang digunakan untuk pipa LP evaporator adalah St 35.8/I dengan karakteristik sebagai berikut :

|                       |                          |
|-----------------------|--------------------------|
| - Density             | : 8025 kg/m <sup>3</sup> |
| - Spesific heat       | : 477 J/(kg.K)           |
| -Thermal conductivity | : 15 W/(m.K)             |
| - Melting temperature | : 1670 K                 |

#### A.1.8. Pendefinisan Mesh



Gambar 8. Pendefinisian Mesh

Diambil dari program EFD

Resolusi meshing yang digunakan pada ketiga jenis pipa berbeda-beda. Hal ini disesuaikan dengan model geometri tiap-tiap jenis pipa. Maka penggunaan mesh resolution tiap-tiap jenis pipa adalah sebagai berikut ;

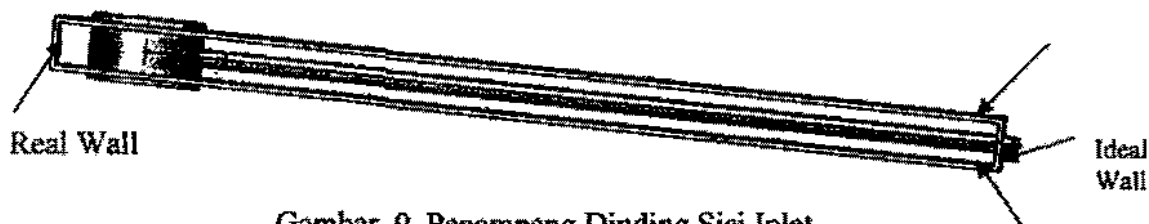
- Pipa inlet evaporator : Mesh resolution 3
- Pipa spiral : Mesh resolution 1
- Pipa outlet evaporator : Mesh resolution 4

sehingga untuk resolusi yang lebih tinggi komputer tidak mampu untuk mensimulasikan model geometri tersebut.

#### A.1.9. Pendefinisian Kondisi Batas

##### a. Sisi Inlet LP Evaporator

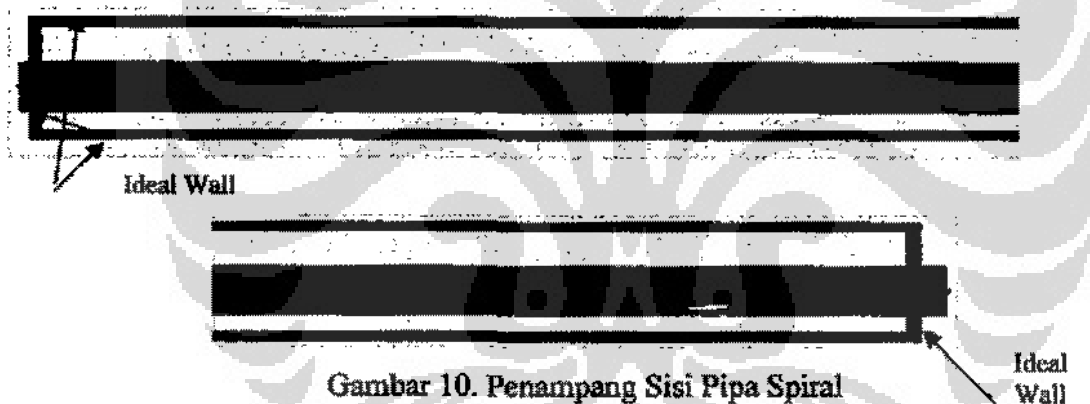
- Air masuk
  - Tekanan : 1013250 Pa
  - Temperatur : 433 K
- Flow air keluar : 0,172 kg/s
- Luas penampang aliran : 0,342 m<sup>2</sup>
- Flow gas buang keluar : 0,980 kg/s
- Flow gas buang keluar
  - Tekanan : 17473 Pa
  - Temperatur : 507 K
- Dinding sisi kiri header : Real wall
- Dinding ketiga sisi lain : ideal wall



Gambar 9. Penampang Dinding Sisi Inlet

b. Sisi Pipa Spiral

- Parameter air masuk merupakan hasil dari simulasi sisi inlet
- Flow air keluar : 0,043 kg/s
- Luas penampang aliran : 1,071 m<sup>2</sup>
- Flow gas buang keluar : 3,085 kg/s
- Flow gas buang masuk
  - Tekanan : 17473 Pa
  - Temperatur : 507 K
- Dinding keempat sisi : Ideal wall



Gambar 10. Penampang Sisi Pipa Spiral

c. Sisi Outlet Header

- Parameter air masuk merupakan hasil dari simulasi sisi spiral
- Flow air keluar : 0,043 kg/s
- Luas penampang aliran : 0,308 m<sup>2</sup>
- Flow gas buang : 0,880 kg/s
- Flow gas buang masuk
  - Tekanan : 17473 Pa
  - Temperatur : 507 K
- Dinding sisi kanan header : Real wall

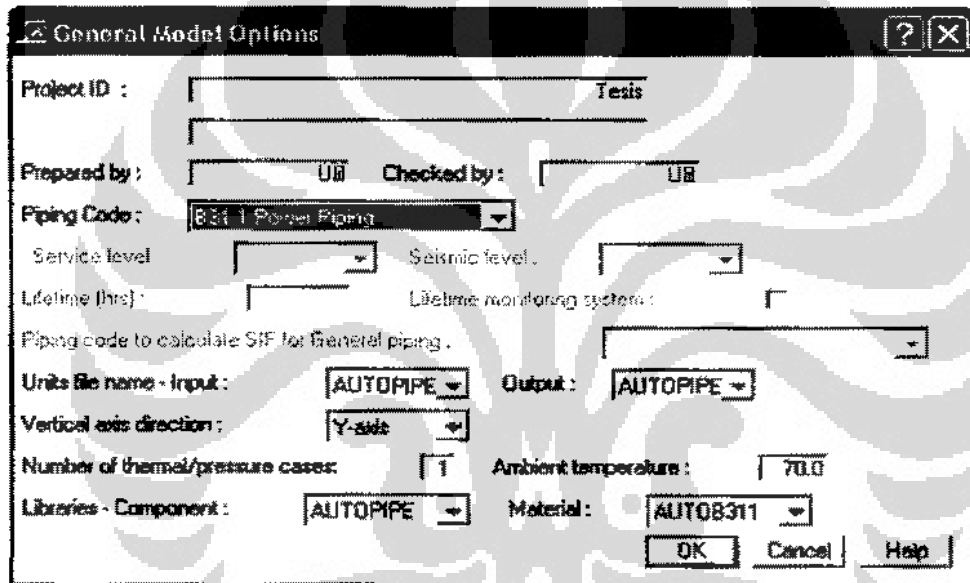
\* Dinding ketiga sisi lain : Ideal wall



Gambar 11. Penampang Sisi Outlet

## A.2. Simulasi AutoPIPE

### A.2.1. Pendefinisan General Model Options



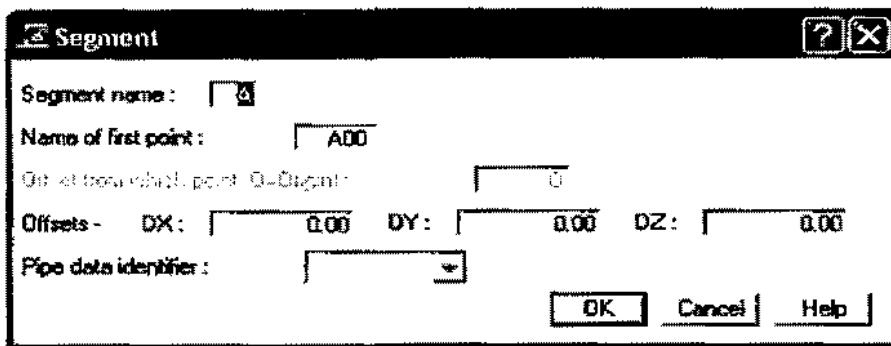
Gambar 12. Pendefinisan General Model Options

Diambil dari program AutoPIPE

Ada beberapa hal yang harus diperhatikan pada bagian ini, yaitu ;

- a. Piping Code : B31.1 Power Piping
- b. Satuan : SI
- c. Ambient Temperatur : 30 °C

### A.2.2. Pendefinisan Segment



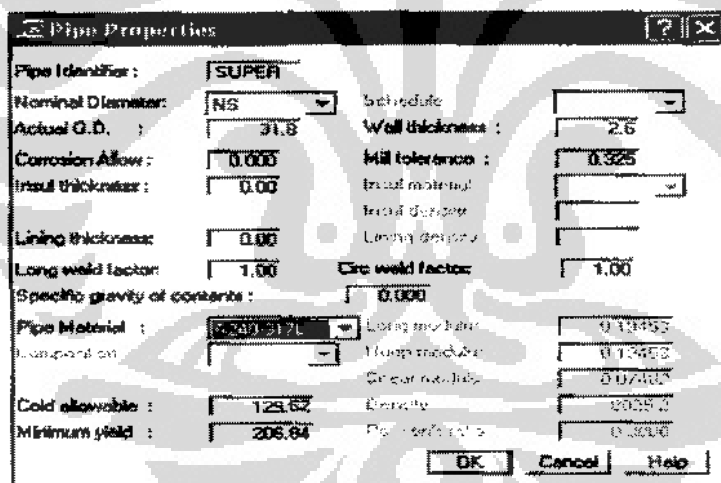
Gambar 13. Pendefinisan Segment

Diambil dari program AutoPIPE

Pada awal pendefinisan awal ini digunakan nama segment A dengan koordinat sebagai berikut :

- Koordinat DX : 0.0
- Koordinat DY : 0.0
- Koordinat DZ : 0.0

### A.2.3. Pendefinisan Properties Pipa



Gambar 14. Pendefinisan Properties Pipa

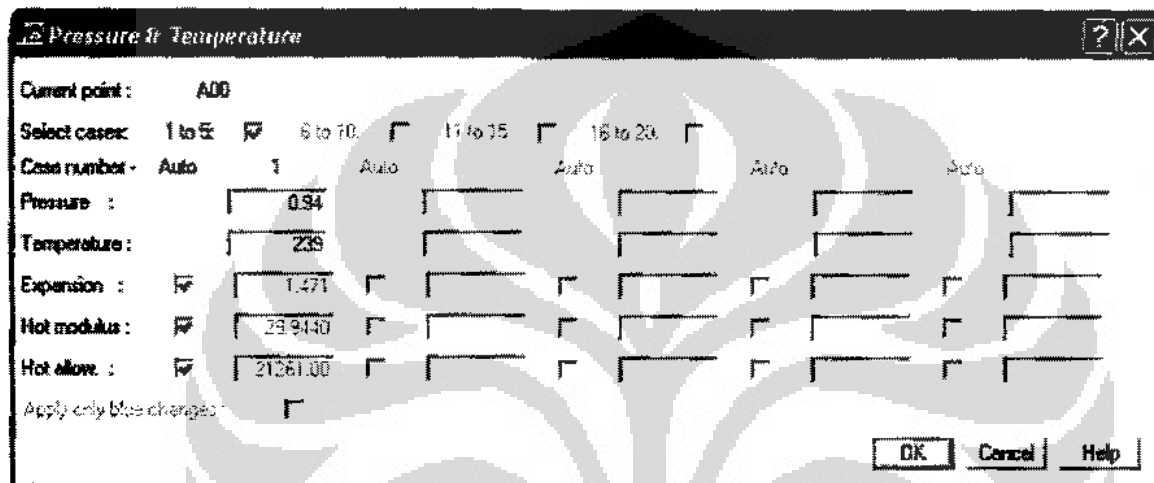
Diambil dari program AutoPIPE

Pada bagian ini kita harus memasukkan nilai dari dimensi pipa yang akan kita desain. Jadi setiap kali kita ingin mengganti dimensi dari pipa, maka kita harus memasukkan kembali nilai dari dimensinya dengan memberikan nama identitas pipa (*Pipe Identifier*) yang berbeda dengan dengan nama pipa sebelumnya. Selain memasukkan nilai dimensi dari pipa, kita juga harus mendefinisikan material dari pipa tersebut. Pada simulasi ini

digunakan jenis pipa A 240-317L yang memiliki properties sama dengan St 35.8/I.  
Parameter-parameter yang dimasukkan adalah :

- a. Diameter pipa : 31,8 mm
- b. Tebal pipa : 2,6 mm
- c. Material pipa : A 240-317L
  - Cold allowable : 129,62
  - Minimum yield : 206,84

#### A.2.4. Pendefinisan Tekanan dan Temperatur



Gambar 15. Pendefinisan Tekanan dan Temperatur

Diamond dari program AutoPIPE

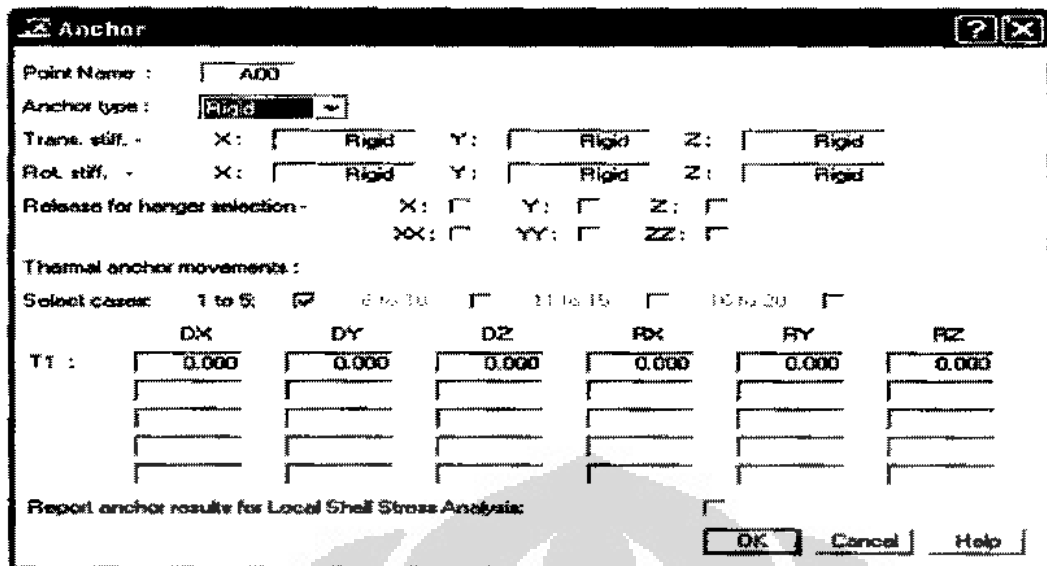
Temperatur dan tekanan ditentukan sebesar ;

- a. Temperatur : 239 °C
- b. Tekanan : 0,94 MPa

Nilai ini merupakan nilai dari operasi lp evaporator.

#### A.2.5. Pendefinisan Anchor

Pemberian anchor pada bagian ini dikarenakan pipa penukar kalor dalam kondisi dilas pada header inlet evaporator. Selain pada titik awal, pemberian anchor juga dilakukan pada titik akhir yang menyatu dengan header outlet LP evaporator.



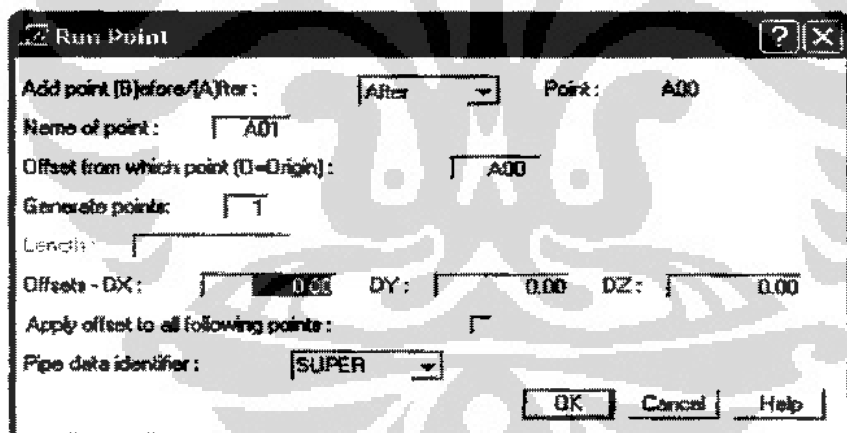
Gambar 16. Pendefinisiian Anchor

Diambil dari program AutoPIPE

#### A.2.6. Pembuatan Model LP Evaporator

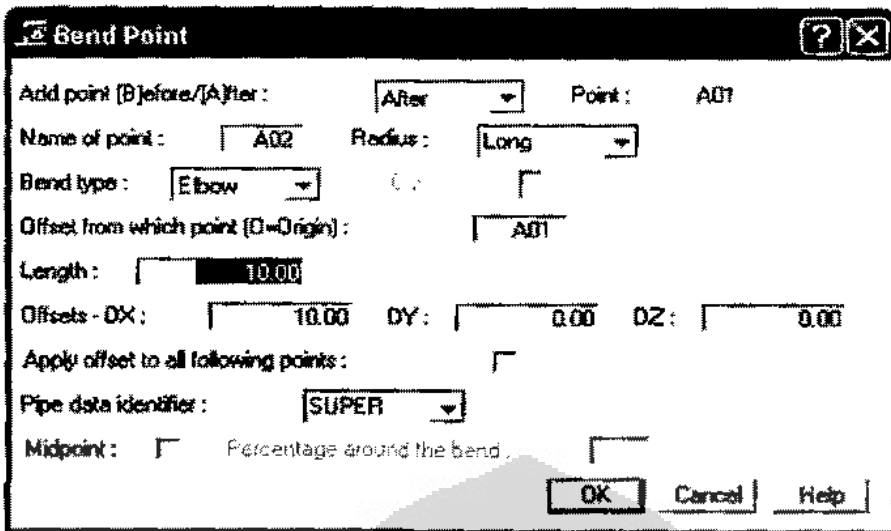
Pada dasarnya pembuatan model evaporator ini hanya terdapat dua perintah yaitu;

- a. Run point, digunakan untuk menggambar model lurus.
- b. Bend point, digunakan untuk menggambar model belokan.



Gambar 17. Penggunaan Run Point

Diambil dari program AutoPIPE



Gambar 1.8. Penggunaan Bend Point

Diambil dari program AutoPIPE

#### A.2.7. Pembebaan model

##### 1. Pipa A

- Panjang pipa = 17,1 m
- Luas =  $\pi r^2$   
=  $\pi (r_{\text{out}} - r_{\text{in}})$   
=  $\pi (0,0159^2 - 0,0013^2)$   
=  $7,84 \times 10^{-4}$  m<sup>2</sup>
- Volume = luas x panjang  
=  $17,1 \times 7,84 \times 10^{-4}$   
= 0,01359 m<sup>3</sup>
- Massa = density x volume  
=  $7860 \times 0,01359$   
= 106,1 kg
- Berat = massa x gaya gravitasi  
=  $106,1 \times 9,8$  (kg x m/s<sup>2</sup>)  
= 1039,78 N

##### 2. Pipa B

- Panjang pipa = 0,560 m
- Luas =  $7,84 \times 10^{-4}$  m<sup>2</sup>

|          |                        |       |
|----------|------------------------|-------|
| • Volume | $= 4,4 \times 10^{-4}$ | $m^3$ |
| • Massa  | $= 3,458$              | kg    |
| • Berat  | $= 3,458 \times 9,8$   |       |
|          | $= 33,888$             | N     |

### 3. Pipa C

|                |                         |       |
|----------------|-------------------------|-------|
| • Panjang pipa | $= 16,5$                | m     |
| • Luas         | $= 7,84 \times 10^{-4}$ | $m^2$ |
| • Volume       | $= 0,013$               | $m^3$ |
| • Massa        | $= 102,8$               | kg    |
| • Berat        | $= 102,8 \times 9,8$    |       |
|                | $= 1007,44$             | N     |

### 4. Pipa D

|                |                         |       |
|----------------|-------------------------|-------|
| • Panjang pipa | $= 0,140$               | m     |
| • Luas         | $= 7,84 \times 10^{-4}$ | $m^2$ |
| • Volume       | $= 1,1 \times 10^{-4}$  | $m^3$ |
| • Massa        | $= 0,845$               | kg    |
| • Berat        | $= 0,845 \times 9,8$    |       |
|                | $= 8,281$               | N     |

### 5. Pipa E

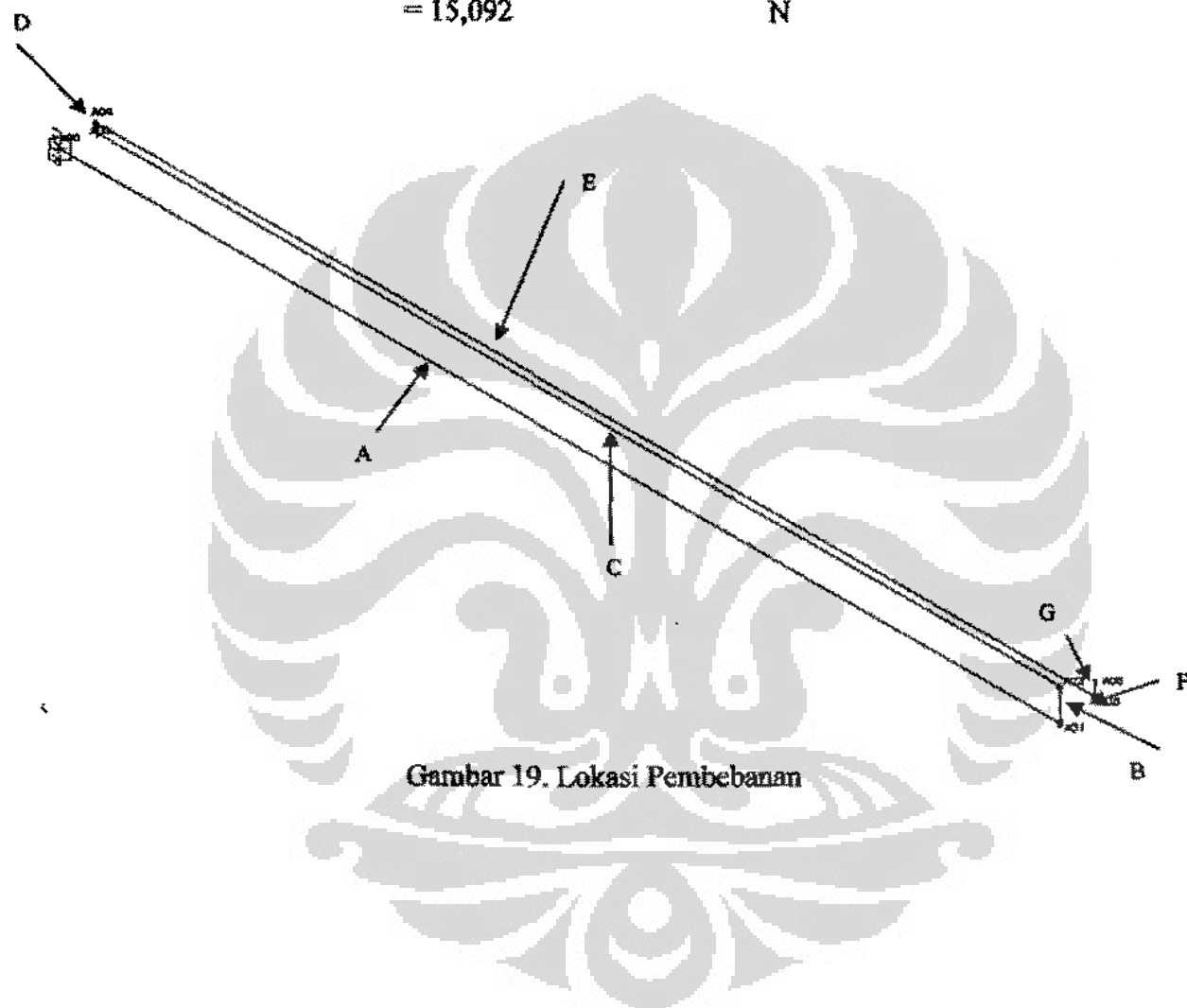
|                |                         |       |
|----------------|-------------------------|-------|
| • Panjang pipa | $= 17,1$                | m     |
| • Luas         | $= 7,84 \times 10^{-4}$ | $m^2$ |
| • Volume       | $= 0,01359$             | $m^3$ |
| • Massa        | $= 106,1$               | kg    |
| • Berat        | $= 1039,78$             | N     |

### 6. Pipa F (Elbow)

|                |                          |       |
|----------------|--------------------------|-------|
| • Panjang pipa | $= 0,0942$               | m     |
| • Luas         | $= 7,84 \times 10^{-4}$  | $m^2$ |
| • Volume       | $= 7,385 \times 10^{-5}$ | $m^3$ |
| • Massa        | $= 0,580$                | kg    |
| • Berat        | $= 5,688$                | N     |

## 7. Pipa G

- Panjang pipa =  $0,249$  m
- Luas =  $7,84 \times 10^{-4}$   $\text{m}^2$
- Volume =  $1,96 \times 10^{-4}$   $\text{m}^3$
- Massa =  $1,54$  kg
- Berat =  $1,54 \times 9,8$   
=  $15,092$  N





## **Lampiran A-3**

### **Validasi**

## Validasi Simulasi

### 1. Validasi temperatur air masuk header

- Flow gas buang : 0,88 kg/s
- Temperatur masuk gas buang : 507 K
- Temperatur keluar gas buang : 492 K
- Panas jenis gas buang : 1,03 kJ/kg.K
- Flow air : 0,172 kg/s
- Panas jenis air : 1,98 kJ/kg.K

Berdasarkan persamaan keseimbangan energi menurut Kreith (1997):

$$\dot{m}c_{ph}(T_{in} - T_{out}) = \dot{m}c_{ph}(T_{cout} - T_{cn}) \quad (1)$$
$$0,98 \times 1,03 \times (507 - 492) = 0,172 \times 1,98 \times (T_{cout} - 433)$$
$$15,1 = 0,35 \times (T_{cout} - 433)$$
$$43,2 = T_{cout} - 433$$
$$T_{cout} = 476 \text{ K}$$

### 2. Validasi temperatur sisi spiral

$$\dot{m}c_{ph}(T_{in} - T_{out}) = \dot{m}c_{ph}(T_{cout} - T_{cn})$$
$$3,08 \times 1,03 \times (507 - 500) = 0,172 \times 1,98 \times (T_{cout} - 445)$$
$$22 = 0,35 \times (T_{cout} - 445)$$
$$63 = T_{cout} - 445$$
$$T_{cout} = 507 \text{ K}$$

### 3. Validasi sisi outlet header

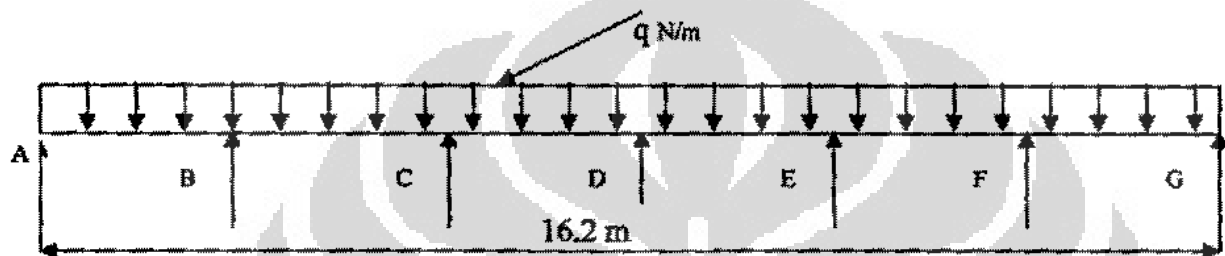
$$\dot{m}c_{ph}(T_{in} - T_{out}) = \dot{m}c_{ph}(T_{cout} - T_{cn})$$
$$0,88 \times 1,03 \times (507 - 504) = 0,172 \times 1,98 \times (T_{cout} - 512)$$
$$2,7 = 0,35 \times (T_{cout} - 512)$$
$$7,7 = (T_{cout} - 512)$$
$$T_{cout} = 519 \text{ K}$$

#### 4. Validasi penurunan tekanan lp evaporator

- Tekanan masuk (inlet header) : 1013250 Pa
- Tekanan keluar (outlet header) : 937700 Pa
- Penurunan tekanan lp evaporator : 75550 Pa (0,82 bar)

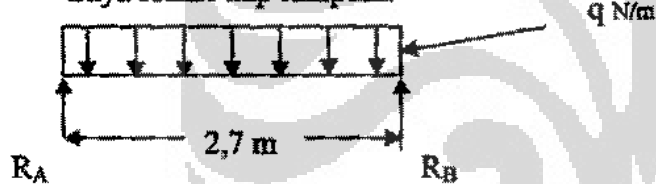
#### II. Validasi AutoPIPE

1. Untuk menghitung reaksi tiap tumpuan (support) pada pipa lp evaporator, maka pipa lp evaporator dipotong pada pipa bagian atas yang ditumpu (*support*). Sehingga didapatkan gambar seperti dibawah ini



Gambar 1. Susunan Tumpuan Lp Evaporator

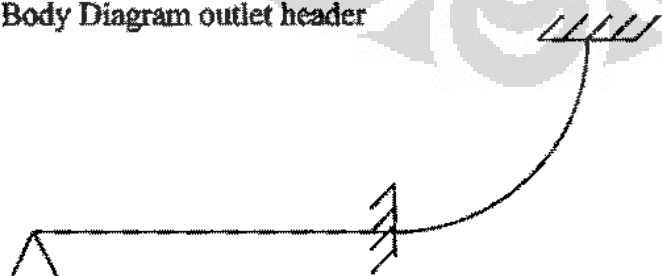
- Gaya reaksi tiap tumpuan



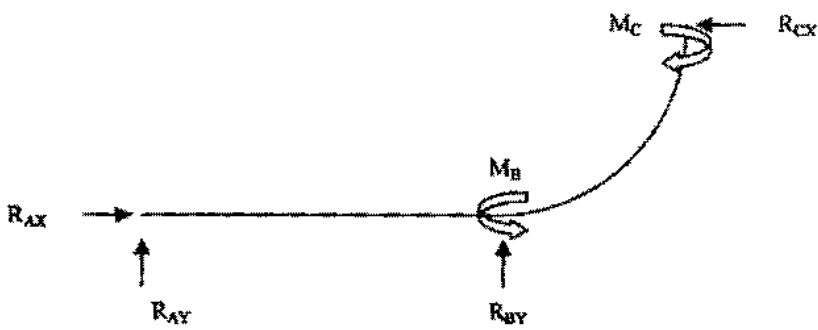
Diketahui bahwa beban terdistribusi merata adalah  $q = 18,77 \text{ N/m}$ . Sehingga diperoleh reaksi tumpuan pada titik A dan B sebagai berikut:

$$\begin{aligned} R_A &= R_B = (q \cdot L)/2 \\ &= (18,77 \times 2,7)/2 \\ &= 25,33 \text{ N} \end{aligned}$$

#### 2. Free Body Diagram outlet header



Gambar 2. Tumpuan Pada Bagian Outlet Header



Gambar 3. Free Body Diagram

### 3. Analisa perpindahan (*displacement*) karena beban termal

$$\delta_T = \alpha \cdot \Delta T \cdot L$$

dimana,

$\delta_T$  : Perpindahan akibat beban termal

$\alpha$  : Koefisien pengembangan termal

$\Delta T$  : Perubahan temperatur

$L$  : Panjang benda

sehingga,

$$\delta_T = \alpha \cdot \Delta T \cdot L$$

$$= 10,8 \cdot 10^{-6} \cdot (239-30) \cdot 0,0159$$

$$= 10,8 \cdot 10^{-6} \cdot 209 \cdot 0,0159$$

$$= 35,8 \cdot 10^{-6} \text{ m}$$

$$\delta_T = 35,8 \cdot 10^{-3} \text{ mm}$$

$$= 0,035 \text{ mm}$$

Sedangkan dari hasil simulasi dengan AutoPIPE didapatkan bahwa displacement elbow pada temperatur 239 °C adalah sebesar 0 mm.

### 4. Analisis Tegangan Longitudinal/Tegangan Kontinyu

#### A. Tegangan Longitudinal

$F_{AX}$  = Internal axial force

$$= P \cdot A_i$$

$$= 138,03 \times \left( \frac{\pi d_i^2}{4} \right)$$

$$= 138,03 \times \frac{\pi \cdot 1,15^2}{4}$$

$$= 143,29 \text{ lb}$$

$$S_L = \frac{Pd_o}{4f}$$

$$= \frac{138,03 \times 1,25}{4 \times 0,1}$$

$$= 431,34 \text{ Psi}$$

### B. Tegangan Kontinyu

$$S_L = \frac{P \cdot D_o}{4t} + \frac{0,75 \cdot I \cdot M_A}{Z} \leq 1,0 S_u$$

$$= \frac{(138) \cdot (1,25)}{4 \cdot 0,1} + \frac{0,75 \cdot (1,25) \cdot (0)}{0,384}$$

$$= 431,25$$

$$= 431,25 \text{ Psi}$$

### C. Tegangan Kontinyu AutoPIPE

| Stresses          |   |
|-------------------|---|
| Point:            | A26 F - A26 F +<br>[ w/sus. load margin ] |
| Sustained (Max) - | psi                                       |
| Stress:           | 417                                       |
| Allow.:           | 12986                                     |
| Ratio:            | 0.03                                      |
| Combin.:          | GR + Max P                                |
| Expansion (Max) - | psi                                       |
| Stress:           | 67046                                     |
| Allow.:           | 39315                                     |
| Ratio:            | 1.71                                      |
| Combin.:          | Amb to T1                                 |
| Hoop (Max) -      | psi                                       |
| Stress:           | 898                                       |
| Allow.:           | 12986                                     |
| Ratio:            | 0.07                                      |
| Combin.:          | Max P                                     |

Use PgDn, PgUp keys to roll thru categories:

Gambar 4. Code Stress Hasil Perhitungan

Dari hasil simulasi menggunakan AutoPIPE, didapatkan nilai tegangan kontinyu sebesar 41 psi.

Tabel A Hasil Perbandingan Perhitungan Tegangan Kontinyu

| Parameter               | Nilai      |
|-------------------------|------------|
| Tegangan Kontinyu       | 431,25 psi |
| Tegangan Longitudinal   | 431,24 psi |
| Tegangan Hasil AutoPIPE | 417 psi    |

## 5. Analisis Tegangan Hoop

- Gaya Hoop

$$F_H = P \cdot d_o \cdot l \\ = 138,03 \times 1,15 \times 3,7 \\ = 587,32 \text{ lb}$$

- Tegangan Hoop

$$S_H = \frac{P \cdot d_o \cdot l}{2 \cdot t \cdot I} \\ = \frac{P \cdot d_o}{2 \cdot t} \\ = \frac{138,03 \times 1,25}{2 \times 0,1} \\ = 862,68 \text{ Psi}$$

Tabel B Perbandingan hasil Perhitungan Manual dan AutoPIPE

| Parameter               | Nilai      |
|-------------------------|------------|
| Tegangan Hoop           | 862,68 psi |
| Tegangan Hasil AutoPIPE | 898 psi    |

## 6. Tegangan Geser

$$\tau_{max} = \frac{V \cdot Q}{A_m} \\ = \frac{5,72 \times 1,33}{\pi(1,25^2 - 1,15^2)} \\ = 4$$

$$= \frac{7,61}{0,188}$$

$$= 40,47 \text{ Psi}$$

## 7. Pengecekan Terhadap Keluluhan Material

$$\tau_{okt} = \frac{1}{3\sqrt{(S_{yield} - 0)^2 + (0 - 0)^2 + (0 - S_{yield})^2}}^{1/2}$$

$$= \frac{2^{1/2} S_{yield}}{3}$$

$$= \frac{2^{1/2} \cdot 170}{3}$$

$$= 80 \text{ psi}$$

A-4

Hasil Pengujian Mikro dan Makro

Yang dilakukan oleh PT. EMPU AGUNG SAKTI

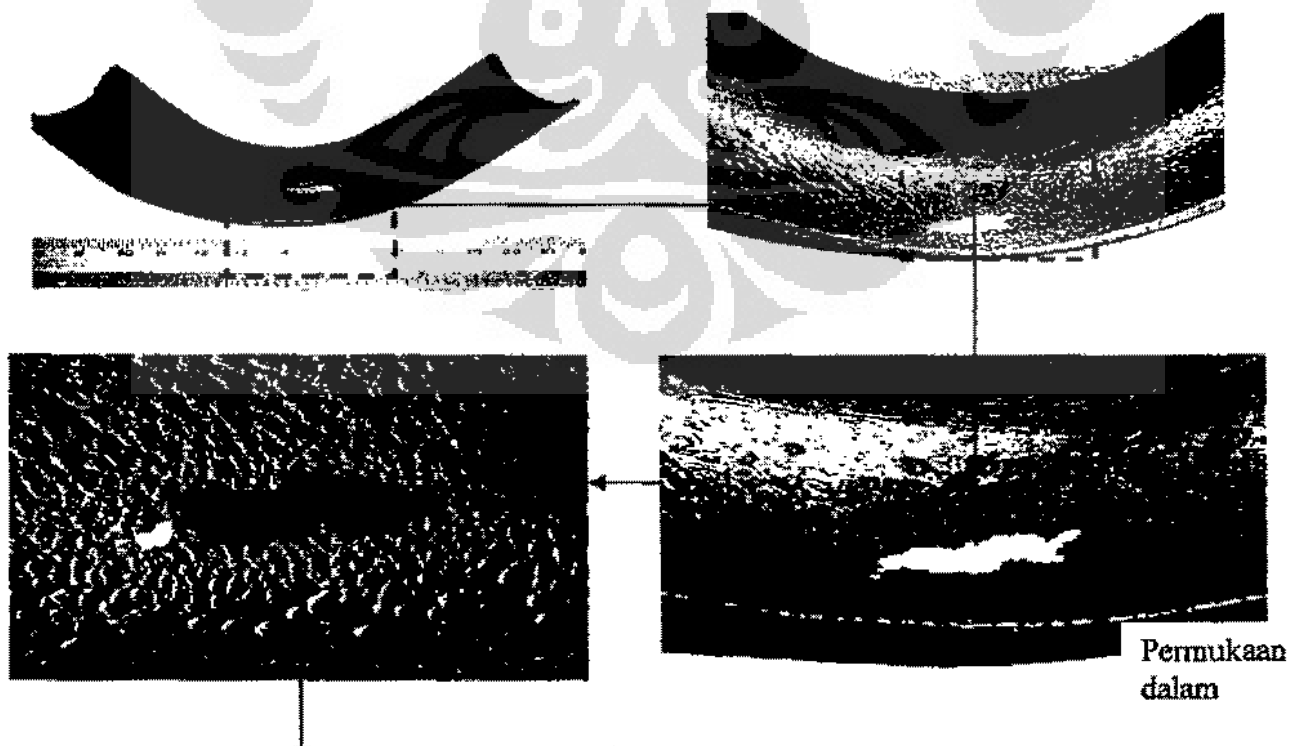
## Hasil Pengujian Mikro dan Makro

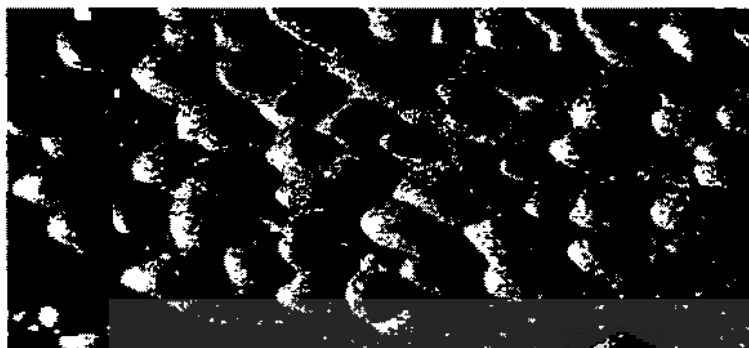
### a. Pengujian Makroskopik



Gambar 1. Potongan Elbow Tube Yang Telah Dibelah Menjadi Dua Bagian.  
Diambil dari Laporan Akhir PT. EMPU AGUNG SAKTI

Sebelum belahan elbow tube seperti yang ditunjukkan pada Gambar 4.14. dipotong untuk dibuat sejumlah benda uji maka terlebih dahulu belahan elbow tube tersebut diuji permukaannya secara makroskopik baik dibagian permukaan dalam maupun dipermukaan luarnya dengan menggunakan mikroskop stereo. Hasil pengujian makroskopik permukaan elbow tube tersebut terutama disekitar daerah yang berlubang atau dibagian daerah yang mengalami penipisan ditunjukkan pada gambar dibawah ini.





**Gambar 2. Permukaan Bagian Dalam dan Bagian Luar Potongan Elbow Tube Yang Telah Dibelah**

Diamond dari Laporan Akhir PT. EMPU AGUNG SAKTI

Elbow tube diatas menunjukkan lubang kebocoran, permukaan dinding bagian dalamnya disekitar daerah lubang memperlihatkan tekstur berbentuk rumah atau sarang tawon (*honeycomb*). Hal ini menandakan bahwa jenis kerusakan yang terjadi pada dinding bagian dalam elbow tube tersebut termasuk *cavitation damage*. Dari gambar diatas juga terlihat dengan jelas bahwa penipisan dinding elbow tube yang disebabkan oleh *cavitation damage* tersebut umumnya terjadi di dinding bagian dalam tube dan terpusat di sekitar daerah dinding pada bagian kurvatur luar yang mengalami perubahan arah belokan yang tajam. Sedangkan penipisan yang terjadi pada bagian permukaan luar elbow tube nampaknya tidak signifikan dan penipisan tersebut kemungkinan disebabkan oleh pengaruh korosi dan/atau oksidasi akibat flue gas.

#### b. Hasil Analisa Komposisi Kimia

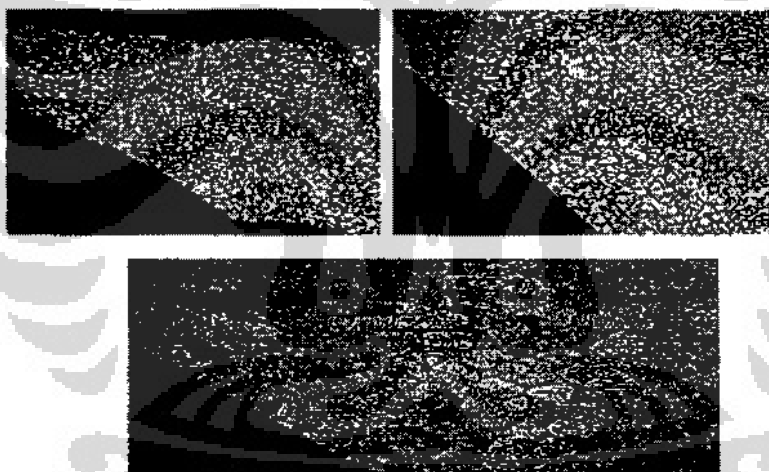
Tabel 1. Hasil analisa komposisi kimia material elbow tube dibandingkan dengan spesifikasi material menurut standar DIN

| Elemen | % Berat |                           |
|--------|---------|---------------------------|
|        | Sample  | Spesifikasi DIN St 35.8/I |
| Fe     | Balance | Balance                   |
| C      | 0.11    | $\leq 0.17$               |
| Si     | 0.24    | $\leq 0.35$               |
| Mn     | 0.48    | $\leq 0.40 - 0.80$        |
| P      | 0.022   | $\leq 0.045$              |
| S      | 0.012   | $\leq 0.045$              |
| Cr     | 0.0027  |                           |

Analisa komposisi kimia dilakukan menggunakan Spark Emission Spectrometer dan hasil yang didapat diberikan pada Tabel 2. Dari Tabel 2 terlihat bahwa material elbow tube yang diuji termasuk jenis baja karbon rendah yang memiliki kesesuaian dengan spesifikasi DIN St35.8/I. Ini berarti bahwa material yang digunakan untuk elbow tube outlet header LP Evaporator adalah sesuai dengan spesifikasi yang disebutkan dalam operating manual.

### c. Pengujian Struktur Mikro Material Elbow Tube

Setelah dilakukan pengujian makroskopik pada subbab sebelumnya, belahan elbow tube selanjutnya dipotong disekitar bagian dinding tube yang mengalami *cavitation damage* baik pada arah melintang maupun pada arah memanjang. Potongan benda uji tersebut selanjutnya dipersiapkan untuk pengujian struktur mikro dengan melakukan proses mounting, gerinda, pemolesan dan pengetsaan. Foto struktur mikro dari setiap benda uji diambil menggunakan mikroskop optik pada berbagai pembesaran 200x .



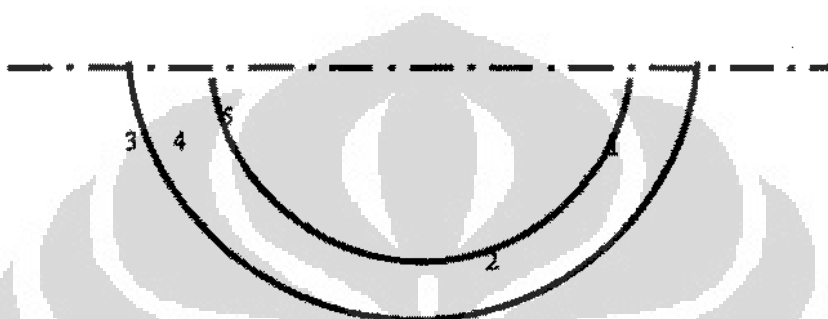
Gambar 4.16. Struktur Mikro Material Elbow

Diambil dari Laporan Akhir PT. EMPU AGUNG SAKTI

Pada gambar diatas diperlihatkan struktur mikro material elbow tube pada arah melintang. Struktur mikronya terdiri dari fasa ferit sebagai matrik dan fasa perlit sebagai fasa kedua. Dari struktur mikro yang diperoleh menunjukkan bahwa material elbow tube tersebut termasuk baja karbon rendah dengan kadar karbonnya kurang dari 0,2%, yaitu sesuai dengan hasil analisa komposisi kimia seperti pada Tabel 2. Kondisi struktur mikronya diperkirakan masih cukup baik dimana pola struktur ferit dan perlit masih jelas,

walau sudah terbentuk sejumlah grafit. Belum terjadinya perubahan pola struktur mikro disebabkan karena elbow tube tersebut dioperasikan pada suhu yang relatif rendah yaitu dibawah 2000 C. Dari gambar diatas juga terlihat bahwa kerak atau deposit hanya terbentuk didinding bagian luar elbow tube, sementara didinding bagian dalamnya hampir tidak terbentuk kerak (deposit). Disamping itu pada gambar diatas juga terlihat bentuk permukaan dinding bagian dalam elbow tube yang naik turun akibat cavitation damage tersebut.

#### d. Hasil Uji Kekerasan (Hardness Test)



Tabel 2. Hasil Uji Kekerasan (*hardness test*) Material Elbow Tube LP Evaporator

| Lokasi Uji                 | Kode Benda Uji                |                               |                               |                               |                               |
|----------------------------|-------------------------------|-------------------------------|-------------------------------|-------------------------------|-------------------------------|
|                            | 1A                            | 2A                            | 3A                            | 4A                            | 1B                            |
| 1                          | 210                           | 214                           | 214                           | 195                           | 185                           |
| 2                          | 210                           | 210                           | 195                           | 188                           | 202                           |
| 3                          | 192                           | 195                           | 199                           | 181                           | 172                           |
| 4                          | 187                           | 185                           | 181                           | 175                           | 192                           |
| 5                          | 175                           | 175                           | 181                           | 175                           | 197                           |
| Rata-rata                  | 195 HV                        | 196 HV                        | 194 HV                        | 183 HV                        | 190 HV                        |
|                            | 185 HB                        | 185,5 HB                      | 184,5 HB                      | 174,5 HB                      | 181 HB                        |
| Perkiraan nilai Kuat Tarik | 63.8<br>(kg/mm <sup>2</sup> ) | 64.0<br>(kg/mm <sup>2</sup> ) | 63.6<br>(kg/mm <sup>2</sup> ) | 60.2<br>(kg/mm <sup>2</sup> ) | 62.4<br>(kg/mm <sup>2</sup> ) |

Pengujian kekerasan dengan metode Vickers telah dilakukan pada penampang melintang material elbow tube 1, 2, 3, 4 dan 5 dan hasilnya diberikan pada Tabel 3. Dari Tabel 3 terlihat bahwa nilai kekerasan rata-rata untuk kelima material elbow tube tersebut hampir sama dan ini pula menandakan bahwa kelima material elbow tube tersebut dibuat dari jenis material yang sama yaitu dari jenis baja karbon rendah dengan spesifikasi St 35.8/l seperti yang ditunjukkan pada Tabel 2. Namun demikian nilai

kekerasan yang ditunjukkan pada Tabel 3 tersebut relatif tinggi sehingga nilai kuat tariknya juga relatif tinggi. Tingginya nilai kekerasan atau kuat tarik ini kemungkinan besar disebabkan oleh efek strain hardening yang terjadi pada material elbow tube akibat proses *cold bending*.

#### e. Hasil Uji Tarik (*Tensile Test*)

Tabel 3. Hasil Uji Tarik Material Elbow Tube LP Evaporator

| No/Kode<br>Benda uji | Dimensi (mm) |       | Ao<br>(mm <sup>2</sup> ) | Fy<br>(kN) | Fm<br>(kN) | $\sigma_y$<br>(kgf/mm <sup>2</sup> ) | $\sigma_u$<br>(kgf/mm <sup>2</sup> ) | $\Sigma$<br>(%) |
|----------------------|--------------|-------|--------------------------|------------|------------|--------------------------------------|--------------------------------------|-----------------|
|                      | Lebar        | Tebal |                          |            |            |                                      |                                      |                 |
| 1A                   | 18.98        | 3.02  | 57.32                    | 18.75      | 26.0       | 33.38                                | 46.28                                | 36              |
| 2A                   | 19.01        | 2.85  | 54.18                    | 19.00      | 25.5       | 35.80                                | 48.00                                | 36              |

Keterangan :

Ao = Luas penampang

$\sigma_y$  = Kuat luluhan

Fy = Beban luluhan

$\sigma_u$  = Kuat tarik

Fm = Beban maksimum

$\Sigma$  = Elongasi (Keuletan)

Benda uji tarik sesuai dengan standar dibuat menggunakan potongan elbow tube yang lurus. Pengujian dilakukan menggunakan mesin uji tarik Universal Testing Machine dan hasil yang diperoleh meliputi nilai kuat tarik (*tensile strength*), kuat luluhan (*yield strength*) dan elongasi diberikan pada Tabel 4. Nilai kuat tarik yang diperoleh dari uji tarik ini ternyata lebih rendah dibandingkan dengan perkiraan nilai kuat tarik yang diperoleh dari hasil uji kekerasan seperti pada Tabel 3. Hal ini disebabkan karena benda uji untuk uji tarik diambil dari bagian elbow tube yang lurus dimana pada bagian tube yang lurus tersebut tidak terjadi efek *strain hardening*. Namun demikian nilai kuat tarik yang diperoleh dari uji tarik (Tabel 4) ternyata masih lebih tinggi dibandingkan dengan persyaratan minimum untuk baja karbon rendah menurut spesifikasi DIN St35.8/I. Dengan demikian material yang digunakan untuk elbow tube outlet header LP Evaporator sudah sesuai dengan spesifikasi material menurut operating manual. Namun demikian untuk aplikasi pada lingkungan aliran fluida yang terdiri dari dua fasa (campuran air dan uap) yang berpotensi menimbulkan *cavitation damage*, pemakaian baja karbon rendah dengan spesifikasi St35.8/I tersebut diperkirakan kurang memadai.

#### f. Hasil Analisa Kerak (Deposit) Pada Permukaan Elbow Tube

Analisa kerak atau deposit yang terbentuk baik dipermukaan luar maupun dipermukaan dalam elbow tube dilakukan dengan menggunakan metode EDS (*Energy*

*Dispersive X-Ray Spectroscopy*). Sample yang dianalisis diambil dari bagian elbow tube yang bocor atau pada bagian yang mengalami penipisan akibat cavitation damage. Analisa EDS ini dimaksudkan untuk menentukan unsur-unsur yang terkandung didalam kerak (deposit) yang terbentuk, sehingga kemudian dapat digunakan untuk mengidentifikasi jenis korosi yang mungkin terjadi pada permukaan elbow tube tersebut. Dari sample telah dipotong dari elbow tube untuk analisa dengan EDS tersebut menunjukkan bahwa unsur-unsur yang terkandung didalam kerak (deposit) yang terbentuk pada permukaan luar elbow tube terdiri dari : iron (Fe), oksigen (O), karbon (C), silicon (Si) dan sulfur (S). Unsur Fe, O dan C yang dominan merupakan produk/senyawa oksida  $\text{Fe}_2\text{O}_3/\text{FeO}$  yang terjadi pada suhu tinggi dan ikatan  $\text{Fe}_3\text{C}$  pada baja. Disamping terjadi oksidasi akibat suhu tinggi, adanya unsur S didalam kerak mengindikasikan bahwa permukaan luar elbow tube telah mengalami korosi, walau tingkatan korosi yang terbentuk diperkirakan masih awal dan tidak signifikan. Hal ini juga didukung dari hasil uji struktur mikro dimana sejumlah permukaan luar elbow tube telah memperlihatkan pitting corrosion walau tingkatannya relatif masih dangkal dan belum terlalu signifikan. Sedangkan pada dinding bagian dalam elbow tube yang mengalami penipisan akibat cavitation damage, kerak yang terbentuk relatif sangat tipis dan memperlihatkan kandungan unsur-unsur utama seperti Fe, O dan C, disamping ada beberapa unsur lain seperti Si, Na dan Al. Unsur Fe, O dan C berasal dari senyawa oksida  $\text{Fe}_2\text{O}_3/\text{FeO}$  yang terjadi pada suhu tinggi pada permukaan dalam elbow tube yang dibuat dari baja, dan unsur C berasal dari ikatan  $\text{Fe}_3\text{C}$  didalam baja. Sedangkan unsur-unsur Si, Na dan Al diperkirakan membentuk senyawa berupa endapan tipis yang dipengaruhi oleh kualitas air yang digunakan pada HRSG. Hal ini menunjukkan bahwa dinding bagian dalam elbow tube tidak mengalami korosi yang berarti.